

วงจรรองกำลังแฉกที่พชานานสำหรับระบบ 3 เฟส 4 สายที่ใช้รีเคอร์ซีฟดีเอฟทีและควบคุมกระแสแบบวิธีทำซ้ำ



นาย ประจวบ บุญศรีรัมย์

สถาบันวิทยบริการ

จุฬาลงกรณ์มหาวิทยาลัย

วิทยานิพนธ์นี้เป็นส่วนหนึ่งของการศึกษาตามหลักสูตรปริญญาวิศวกรรมศาสตรมหาบัณฑิต

สาขาวิชาวิศวกรรมไฟฟ้า ภาควิชาวิศวกรรมไฟฟ้า

คณะวิศวกรรมศาสตร์ จุฬาลงกรณ์มหาวิทยาลัย

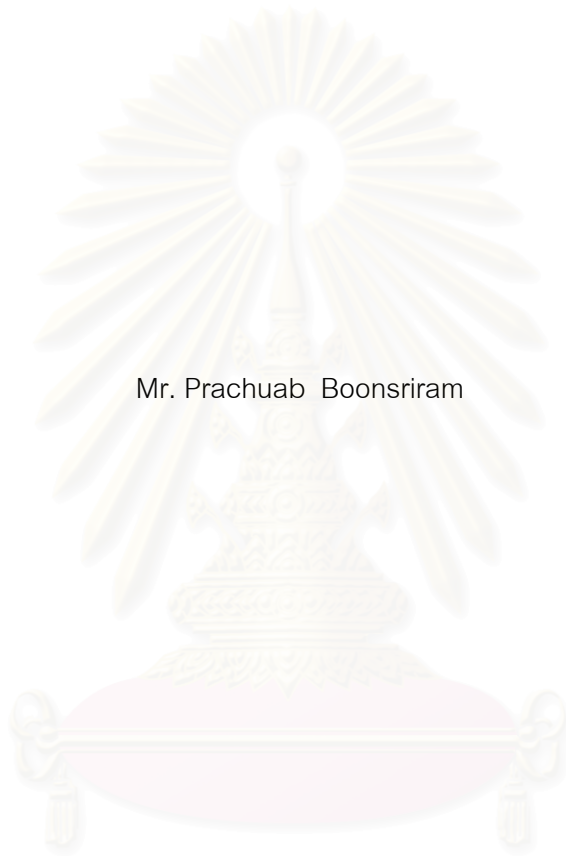
ปีการศึกษา 2545

ISBN 974-17-2570-1

ลิขสิทธิ์ของจุฬาลงกรณ์มหาวิทยาลัย

A PARALLEL 3 PHASE 4 WIRE ACTIVE FILTER USING RECURSIVE DFT
AND REPETITIVE CURRENT CONTROL

Mr. Prachuab Boonsriram



A Thesis Submitted in Partial Fulfillment of the Requirements
for the Degree of Master of Engineering in Electrical Engineering

Department of Electrical Engineering

Faculty of Engineering

Chulalongkorn University

Academic Year 2002

ISBN 974-17-2570-1

ประจวบ บุญศรีรัมย์ : วงจรกรองกำลังแอกทีฟขนานสำหรับระบบ 3 เฟส 4 สายที่ใช้รีเคอร์ซีฟ ดีเอพีทีและการควบคุมกระแสแบบวิธีทำซ้ำ. (A PARALLEL 3 PHASE 4 WIRE ACTIVE FILTER USING RECURSIVE DFT AND REPETITIVE CURRENT CONTROL) อ. ที่
 ปริญญา : อ.ดร. สมบูรณ์ แสงวงศ์วานิชย์, 112หน้า. ISBN 974-17-2570-1.

วิทยานิพนธ์นี้ได้นำเสนอวงจรกรองแอกทีฟแบบขนานสำหรับระบบ 3 เฟส 4 สายเพื่อลด ปริมาณกระแสฮาร์มอนิกในสายเฟสและสายนิวทรัล โดยได้ปรับปรุงการตรวจจับกระแสฮาร์มอนิกด้วย วิธีรีเคอร์ซีฟดีเอพีทีให้สามารถใช้ได้กับวงจรที่เป็นแบบ 3 เฟส 4 สายและพัฒนาวธีการสร้างกระแส ชดเชยฮาร์มอนิกด้วยการควบคุมแบบวิธีทำซ้ำ ซึ่งข้อดีของการนำการควบคุมกระแสโดยวิธีนี้มาใช้กับ วงจรกรองแอกทีฟคือสามารถสร้างกระแสชดเชยที่มีหลายความถี่ได้อย่างถูกต้อง นอกจากนี้ผู้วิจัยยัง ได้วิเคราะห์เสถียรภาพของวงจรกรองแอกทีฟและศึกษาคุณสมบัติการกำจัดฮาร์มอนิกด้วยวิธีการที่ นำเสนอ ผลการจำลองการทำงานและผลการทดสอบวงจรโดยรวมแสดงให้เห็นถึงสมรรถนะของ วงจรกรองที่นำเสนอ

สถาบันวิทยบริการ
 จุฬาลงกรณ์มหาวิทยาลัย

ภาควิชา.วิศวกรรมไฟฟ้า..... ลายมือชื่อนิสิต.....
 สาขาวิชา.วิศวกรรมไฟฟ้า..... ลายมือชื่ออาจารย์ที่ปรึกษา.....
 ปีการศึกษา 2545..... ลายมือชื่ออาจารย์ที่ปรึกษาร่วม.....

4270407621 : MAJOR POWER ELECTRONICS

KEY WORD: ACTIVE FILTER / RECURSIVE DFT / REPETITIVE CONTROL / 3 PHASE 4 WIRE / HARMONIC

PRACHUAB BOONSIRIRAM : A PARALLEL 3 PHASE 4 WIRE ACTIVE FILTER USING
RECURSIVE DFT AND REPETITIVE CURRENT CONTROL THESIS ADVISOR :
Dr.SOMBOON SANGWONGWANICH, 113 pp. ISBN 974-17-2570-1.

This thesis presents a 3 phase 4 wire parallel active filter which can be used to eliminate the harmonic currents in the phase and neutral conductors. The proposed active filter detects the harmonic currents using a newly modified recursive DFT algorithm applicable to a 3 phase 4 wire system. A new current control method based on the repetitive control is also introduced so that the active filter can produce harmonic currents of multiple frequencies accurately. Stability of the active filter and their harmonic elimination performance are then studied, and the feasibility of the proposed active filter is confirmed by simulation and experimental results.



สถาบันวิทยบริการ
จุฬาลงกรณ์มหาวิทยาลัย

Department..ELECTRICAL ENGINEERING.....Student's signature.....

Field of study..ELECTRICAL ENGINEERING...Advisor's signature.....

Academic year.....2002.....Co-advisor's signature.....

กิตติกรรมประกาศ

วิทยานิพนธ์ฉบับนี้สำเร็จลุล่วงไปได้ ด้วยความช่วยเหลือและเอาใจใส่อย่าง
ยิ่งของอาจารย์ ดร.สมบูรณ์ แสงวงศ์วานิชย์ อาจารย์ที่ปรึกษาวิทยานิพนธ์ ผู้ที่ให้คำแนะนำ
ความรู้ตลอดจนความช่วยเหลือด้านต่าง ๆ ที่เป็นประโยชน์ต่อการทำวิจัยตลอดมา และรุ่นพี่รุ่นน้อง
รวมถึงเพื่อนร่วมรุ่นในห้องปฏิบัติการอิเล็กทรอนิกส์กำลังที่ให้ความช่วยเหลือ คำแนะนำ และ
กำลังใจที่ดีในการทำวิทยานิพนธ์ รวมทั้งท่านอาจารย์ทั้งหลายที่ให้ความรู้ตั้งแต่อดีต
จนกระทั่งปัจจุบันตลอดจนเงินทุนวิจัยจากห้องปฏิบัติการวิจัยอิเล็กทรอนิกส์กำลังและอุปกรณ์ใน
การทำวิทยานิพนธ์จากบริษัท เอ. พี. วาย. เอ็นจิเนียริง จำกัด

สุดท้ายนี้ข้าพเจ้าขอกราบขอบพระคุณบิดามารดาของข้าพเจ้า ตลอดจนญาติพี่น้อง ผู้ซึ่งให้
โอกาสทางการศึกษา ให้การสนับสนุนในทุกๆด้าน และให้กำลังใจด้วยดีเสมอมา



สถาบันวิทยบริการ
จุฬาลงกรณ์มหาวิทยาลัย

สารบัญ

	หน้า
บทคัดย่อภาษาไทย.....	ง
บทคัดย่อภาษาอังกฤษ.....	จ
กิตติกรรมประกาศ.....	ฉ
สารบัญเรื่อง.....	ช
สารบัญตาราง.....	ญ
สารบัญภาพ	ฎ
บทที่	
1 บทนำ.....	1
1.1 ความเป็นมาและความสำคัญของปัญหา.....	1
1.2 วัตถุประสงค์ของการวิจัย.....	3
1.3 ขอบเขตของการวิจัย	3
1.4 ขั้นตอนและวิธีการดำเนินการ.....	4
1.5 ประโยชน์ที่คาดว่าจะได้รับ.....	5
2 ทฤษฎีการกำจัดสารรมอนิกด้วยวงจรกรองแอกทีฟ.....	6
2.1 ตำแหน่งการตรวจจับกระแสสารรมอนิก	6
2.1.1 การตรวจจับกระแสด้านโหลด.....	6
2.1.2 การตรวจจับกระแสด้านแหล่งจ่าย.....	7
2.2 ทฤษฎีการตรวจจับกระแสสารรมอนิกแบบต่างๆ.....	9
2.2.1 การตรวจจับกระแสสารรมอนิกโดยใช้ทฤษฎีกำลังงานรีแอกทีฟขณะใดๆ.....	10
2.2.2 การตรวจจับกระแสสารรมอนิกโดยใช้วิธีวงจรกรองบนแกนหมุน.....	14
2.2.2.1 การตรวจจับกระแสสารรมอนิกทุกอันดับ.....	14
2.2.2.2 การตรวจจับกระแสสารรมอนิกเฉพาะอันดับ.....	16
2.3 การคำนวณหาค่ากระแสสารรมอนิกแบบรีเคอร์ซีฟดีไอพีที่สำหรับระบบ 3 เฟส 4 สาย.....	21
2.3.1 การคำนวณหาสารรมอนิกในกระแสเฟสด้วยวิธีรีเคอร์ซีฟดีไอพีที่.....	21
2.3.2 การคำนวณหาสารรมอนิกในสายนิวทรัล.....	22
2.4 กระแสชดเชยสารรมอนิก.....	24
2.4.1 การชดเชยแบบกำจัดสารรมอนิกทั้งหมด.....	24
2.4.2 การชดเชยแบบกำจัดสารรมอนิกเฉพาะบางอันดับ.....	24

	หน้า
3 การควบคุมแบบวิธีทำซ้ำและเสถียรภาพของการควบคุม.....	26
3.1 การสร้างและควบคุมกระแสชดเชย.....	26
3.2 ตัวควบคุมแบบทำซ้ำ.....	28
3.2 ผลการจำลองการทำงาน.....	34
4 การออกแบบตัวควบคุม PI สำหรับควบคุมระดับแรงดันบัสไฟตรง.....	37
4.1 การควบคุมระดับแรงดันบัสไฟตรง.....	37
4.2 การออกแบบส่วนควบคุมระดับแรงดันกึ่งกลางบัส.....	41
5. โครงสร้างฮาร์ดแวร์และซอฟต์แวร์ของระบบ.....	45
5.1 ฮาร์ดแวร์ของระบบ.....	46
4.2.1 ส่วนของระบบกำลัง.....	46
4.2.2 ส่วนของวงจรอินเวอร์เตอร์.....	46
4.2.3 ส่วนการตรวจจับสัญญาณต่างๆ และส่วนควบคุม.....	47
4.2.3.1 ภาคการตรวจจับสัญญาณต่างๆ.....	47
4.2.3.2 ภาคการควบคุม.....	48
5.2 ซอฟต์แวร์ของระบบ.....	49
6 ผลการทดสอบการทำงานของระบบ.....	53
6.1 กรณีโหลดสมดุล.....	52
6.1.1 กรณีกำจัดฮาร์มอนิกเฉพาะอันดับ 5 ซีคอนซ์ลป.....	54
6.1.2 กรณีกำจัดฮาร์มอนิกเฉพาะอันดับ 7 ซีคอนซ์ลป.....	56
6.1.3 กรณีกำจัดฮาร์มอนิกเฉพาะอันดับ 11 ซีคอนซ์ลป.....	58
6.1.4 กรณีกำจัดฮาร์มอนิกเฉพาะอันดับ 13 ซีคอนซ์ลป.....	60
6.1.5 กรณีกำจัดฮาร์มอนิกเฉพาะอันดับ 17 ซีคอนซ์ลป.....	62
6.1.6 กรณีกำจัดฮาร์มอนิกเฉพาะอันดับ 19 ซีคอนซ์ลป.....	64
6.1.7 กรณีกำจัดฮาร์มอนิกในสายเฟสหมดทุกอันดับ.....	66
6.2 กรณีโหลดไม่สมดุล.....	68
6.2.1 กรณีกำจัดฮาร์มอนิกซีคอนซ์ลปหรือลป.....	68
6.2.1.1 กำจัดเฉพาะฮาร์มอนิกอันดับ 5 ซีคอนซ์ลปและลปในสายเฟส....	69
6.2.1.2 กำจัดเฉพาะฮาร์มอนิกอันดับ 7 ซีคอนซ์ลปและลปในสายเฟส....	71
6.2.1.3 กำจัดเฉพาะฮาร์มอนิกอันดับ 11 ซีคอนซ์ลปและลปในสายเฟส..	71

6.2.1.4	กำจัดเฉพาะฮาร์มอนิกอันดับ 13 ที่ควนชัยบวกและลบในสายเฟส..	75
6.2.1.5	กำจัดเฉพาะฮาร์มอนิกอันดับ 17 ที่ควนชัยบวกและลบในสายเฟส..	77
6.2.1.5	กำจัดเฉพาะฮาร์มอนิกอันดับ 19 ที่ควนชัยบวกและลบในสายเฟส..	79
6.2.2	กรณีกำจัดฮาร์มอนิกที่ควนชัยศูนย์.....	81
6.2.2.1	กำจัดเฉพาะฮาร์มอนิกอันดับ 3ในสายเฟสและสายนิวทรัล.....	81
6.2.2.2	กำจัดเฉพาะฮาร์มอนิกอันดับ 9ในสายเฟสและสายนิวทรัล.....	83
6.2.2.3	กำจัดเฉพาะฮาร์มอนิกอันดับ 15ในสายเฟสและสายนิวทรัล.....	85
7	บทสรุปและข้อเสนอแนะ.....	82
	รายการอ้างอิง.....	83
	ภาคผนวก.....	84
	ประวัติผู้เขียนวิทยานิพนธ์.....	89

สารบัญตาราง

ตารางที่	หน้า
1.1 มาตรฐานข้อกำหนดฮาร์โมนิก IEC 1000-3-2	4
7.1 เปรียบเทียบปริมาณฮาร์โมนิกกรณีโหลดสมดุลและกำจัดฮาร์โมนิกหมดทุกอันดับ.....	87
7.2 เปรียบเทียบปริมาณฮาร์โมนิกกรณีโหลดสมดุลและกำจัดฮาร์โมนิกเฉพาะอันดับ.....	88
7.3 เปรียบเทียบปริมาณฮาร์โมนิกกรณีโหลดไม่สมดุลและกำจัดฮาร์โมนิกเฉพาะอันดับใน สายเฟส.....	88
7.4 เปรียบเทียบปริมาณฮาร์โมนิกกรณีโหลดไม่สมดุลและกำจัดฮาร์โมนิกเฉพาะอันดับใน สายเฟสและสายนิวทรัล.....	88



สถาบันวิทยบริการ
จุฬาลงกรณ์มหาวิทยาลัย

บทที่	หน้า
1.1 วงจรกรองแอกทีฟขนานแบบ 3 เฟส 3 สาย	1
1.2 วงจรกรองแอกทีฟขนานแบบ 3 เฟส 4 สาย	3
2.1 วงจรสมมูล 1 เฟสของวงจรกรองกำลังแอกทีฟที่ตรวจจับกระแสด้านโหลด	6
2.2 บล็อกไดอะแกรมของวงจรกรองกำลังแอกทีฟที่ตรวจจับกระแสด้านโหลด	7
2.3 วงจรสมมูล 1 เฟสของวงจรกรองกำลังแอกทีฟที่ตรวจจับกระแสด้านแหล่งจ่าย	8
2.4 บล็อกไดอะแกรมของวงจรกรองกำลังแอกทีฟที่ตรวจจับกระแสด้านแหล่งจ่าย	8
2.5 ความสัมพันธ์ของแกนอ้างอิง u, v, w กับแกนอ้างอิง (α, β)	10
2.6 แผนภาพแสดงการตรวจจับกระแสฮาร์มอนิกโดยอาศัยทฤษฎีกำลังงานรีแอกทีฟขณะใดๆ	13
2.7 เวกเตอร์กระแสและแกนอ้างอิงซึ่งหมุนไปด้วยความถี่ 50 Hz	14
2.8 แผนภาพแสดงการตรวจจับกระแสฮาร์มอนิกทุกอันดับโดยใช้วิธีวงจรกรองบนแกนหมุน	15
2.9 เวกเตอร์กระแสและแกนอ้างอิง ซึ่งหมุนไปด้วยความถี่ $h\omega$	16
2.10 แผนภาพแสดงการตรวจจับกระแสฮาร์มอนิกอันดับที่ h โดยใช้วงจรกรองบนแกนหมุน	17
2.11 ลักษณะของสัญญาณอ้างอิงสำหรับการทำ DFT แบบที่ใช้ในวิทยานิพนธ์	19
2.12 การทำ Recursive DFT บนแกนหมุน	20
2.13 บล็อกไดอะแกรมการคำนวณกระแสฮาร์มอนิกในสายเฟส	21
2.14 การหมุนแกนเพื่อคำนวณกระแสฮาร์มอนิกในสายเฟส	22
2.15 การหมุนแกนเพื่อคำนวณค่าฮาร์มอนิกในสายนิวทรัล	23
2.16 บล็อกไดอะแกรมการคำนวณกระแสฮาร์มอนิกในสายนิวทรัล	23
2.17 การคำนวณกระแสฮาร์มอนิกสำหรับระบบ 3 เฟส 4 สาย	24
2.18 การคำนวณกระแสฮาร์มอนิกแบบกึ่งจัด	24
2.19 การตรวจจับฮาร์มอนิกสำหรับการชดเชยเฉพาะบางอันดับ	25
3.1 การเชื่อมต่อวงจรกรองกำลังแอกทีฟเข้ากับระบบไฟฟ้า 3 เฟส	27
3.2 แผนภาพแสดงวงรอบการควบคุมกระแส	27
3.3 บล็อกไดอะแกรมแสดงการควบคุมกระแสวิธีทำซ้ำ	28
3.4 ระบบควบคุมแบบทำซ้ำ	28
3.5 ระบบควบคุมสมมูลของระบบควบคุมแบบทำซ้ำ	30
3.6 ผลตอบสนองเชิงความถี่ของ $1 + P(z)$	31
3.7 ผลตอบสนองเชิงขนาดและเฟสของวงจรกรองผ่านต่ำแบบ Linear Phase FIR	33
3.8 แผนภาพโพลของ $Q(z)$ และ $1 + P(z)$ เพื่อตรวจสอบเสถียรภาพของการควบคุมแบบทำซ้ำ	33

บทที่	หน้า
3.9 กระแสไหลลัดเฟส w ที่ต้องการกำจัดฮาร์มอนิก.....	34
3.10 กระแสจากแหล่งจ่าย.....	34
3.11 วงรอบการควบคุมกระแสเมื่อเพิ่มค่าอัตราขยาย $K = 60$	35
3.12 รูปคลื่นกระแสจากแหล่งจ่ายเมื่อ $K = 60$	35
4.1 บล็อกไดอะแกรมของส่วนควบคุมระดับแรงดันบัลไฟตรง	38
4.2 บล็อกไดอะแกรมของส่วนควบคุมแรงดันบัลไฟตรงที่ใช้ในการออกแบบ	38
4.3 บล็อกไดอะแกรมของส่วนควบคุมระดับแรงดันบัลไฟตรงหลังจากประมาณเป็น ระบบเชิงเส้น	39
4.4 ช่วงปลอดภัยเชิงอัตราขยายและช่วงปลอดภัยเชิงเฟสของระบบควบคุมแรงดันบัลไฟตรง	41
4.5 การไหลของกระแสซีเควนซ์ศูนย์เพื่อควบคุมแรงดันจุดกึ่งกลางบัล	42
4.6 บล็อกไดอะแกรมของการควบคุมแรงดันจุดกึ่งกลางบัล	42
4.7 ช่วงปลอดภัยเชิงอัตราขยายและช่วงปลอดภัยเชิงเฟสของระบบควบคุมแรงดันบัลไฟตรง	44
5.1 โครงสร้างของวงจรรอกกำลังแอกทีฟแบบขนาน 3 เฟส 4 สาย.....	45
5.2 โครงสร้างของวงจรอินเวอร์เตอร์และส่วนวงจรควบคุมของวงจรรอกแอกทีฟ	46
5.3 ส่วนตรวจจับสัญญาณกระแส	47
5.4 วงจรตรวจจับแรงดันบัลไฟตรงและแรงดันจุดกึ่งกลางบัล	48
5.5 วงจรตรวจจับแรงดันไฟสลับ	48
5.6 ภาพรวมการตรวจจับ การควบคุมและการทำงานของระบบ.....	50
5.7 บล็อกไดอะแกรมของซอฟต์แวร์ส่วนแปลงแกนของแรงดัน	51
5.8 บล็อกไดอะแกรมของซอฟต์แวร์ส่วนคำนวณกระแสฮาร์มอนิก	51
5.9 บล็อกไดอะแกรมของซอฟต์แวร์ส่วนควบคุมแรงดันไฟตรง	51
5.10 บล็อกไดอะแกรมของซอฟต์แวร์ส่วนควบคุมกระแสและคำนวณแรงดันกำลัง	52
6.1 กระแสไหลลัด (บน) กระแสของวงจรรอก (กลาง) และกระแสของแหล่งจ่าย (ล่าง) ในกรณีกำจัดเฉพาะฮาร์มอนิกอันดับ 5 ซีเควนซ์ลบ เมื่ออัตราขยายค่าความผิดพลาด $K = 60$	54
6.2 สเปกตรัมของกระแสไหลลัด กระแสของวงจรรอกและกระแสจากแหล่งจ่ายกรณี กำจัดเฉพาะฮาร์มอนิกอันดับ 5 ซีเควนซ์ลบเมื่ออัตราขยายค่าความผิดพลาด $K = 60$	55

บทที่	หน้า
6.3 กระแสไหลด (บน) กระแสของวงจกรอง (กลาง) และกระแสของแหล่งจ่าย (ล่าง) ในกรณีกำจัดเฉพาะฮาร์มอนิกอันดับ 7 ซีเควนซ์บวกเมื่ออัตราขยายค่าความผิดพลาด $K = 60$	56
6.4 สเปกตรัมของกระแสไหลด กระแสของวงจกรองแอกทีฟและกระแสจากแหล่งจ่าย กรณีกำจัดเฉพาะฮาร์มอนิกอันดับ 7 ซีเควนซ์บวกและอัตราขยายค่าความผิดพลาด $K = 60$	57
6.5 กระแสไหลด (บน) กระแสของวงจกรอง (กลาง) และกระแสของแหล่งจ่าย (ล่าง) ในกรณีกำจัดเฉพาะฮาร์มอนิกอันดับ 11 ซีเควนซ์ลบเมื่ออัตราขยายค่าความผิดพลาด $K = 60$	58
6.6 สเปกตรัมของกระแสไหลด กระแสของวงจกรองแอกทีฟและกระแสจากแหล่งจ่าย กรณีกำจัดเฉพาะฮาร์มอนิกอันดับ 11 ซีเควนซ์ลบและอัตราขยายค่าความผิดพลาด $K = 60$	59
6.7 กระแสไหลด (บน) กระแสของวงจกรอง (กลาง) และกระแสของแหล่งจ่าย (ล่าง) ในกรณีกำจัดเฉพาะฮาร์มอนิกอันดับ13 ซีเควนซ์บวกเมื่ออัตราขยายค่าความผิดพลาด $K = 60$	60
6.8 สเปกตรัมของกระแสไหลด กระแสของวงจกรองแอกทีฟและกระแสจากแหล่งจ่าย กรณีกำจัดเฉพาะฮาร์มอนิกอันดับ 13 ซีเควนซ์บวกและอัตราขยายค่าความผิดพลาด $K = 60$	61
6.9 กระแสไหลด (บน) กระแสของวงจกรอง (กลาง) และกระแสของแหล่งจ่าย (ล่าง) ในกรณีกำจัดเฉพาะฮาร์มอนิกอันดับ17 ซีเควนซ์ลบเมื่ออัตราขยายค่าความผิดพลาด $K = 60$	62
6.10 สเปกตรัมของกระแสไหลด กระแสของวงจกรองแอกทีฟและกระแสจากแหล่งจ่าย กรณีกำจัดเฉพาะฮาร์มอนิกอันดับ 17 ซีเควนซ์ลบและอัตราขยายค่าความผิดพลาด $K = 60$	63
6.11 กระแสไหลด (บน) กระแสของวงจกรอง (กลาง) และกระแสของแหล่งจ่าย (ล่าง) ในกรณีกำจัดเฉพาะฮาร์มอนิกอันดับ19 ซีเควนซ์บวกเมื่ออัตราขยายค่าความผิดพลาด $K = 60$	64

บทที่	หน้า
6.12 สเปกตรัมของกระแสไหลลด กระแสของวงจกรองแอกทีฟและกระแสจากแหล่งจ่าย กรณีกำจัดฮาร์มอนิกอันดับ 19 ซีเคเวนซ์บวกลบและอัตราขยายค่าความผิดพลาด $K = 60$	65
6.13 กระแสไหลลด (บน) กระแสของวงจกรอง (กลาง) และกระแสของแหล่งจ่าย (ล่าง) ในกรณีกำจัดฮาร์มอนิกทุกอันดับในสายเฟสเมื่ออัตราขยายค่าความผิดพลาด $K = 60$	66
6.14 สเปกตรัมของกระแสไหลลด กระแสของวงจกรองแอกทีฟและกระแสจากแหล่งจ่าย กรณีกำจัดฮาร์มอนิกทุกอันดับในสายเฟสและอัตราขยายค่าความผิดพลาด $K = 60$	67
6.15 กระแสไหลลด (บน) กระแสของวงจกรอง (กลาง) และกระแสของแหล่งจ่าย (ล่าง) ในกรณีกำจัดฮาร์มอนิกอันดับ 5 อันดับบวกลบและลบในสายเฟส เมื่ออัตราขยาย- ค่าความผิดพลาด $K = 60$	69
6.16 สเปกตรัมของกระแสนิวทรัลทางด้านไหลลด ทางด้านแหล่งจ่ายและกระแสจาก แหล่งจ่ายกรณีกำจัดฮาร์มอนิกอันดับ 5 ซีเคเวนซ์บวกลบและลบเมื่ออัตราขยายค่า- ความผิดพลาด $K = 60$	70
6.17 กระแสไหลลด (บน) กระแสของวงจกรอง (กลาง) และกระแสของแหล่งจ่าย (ล่าง) ในกรณีกำจัดฮาร์มอนิกอันดับ 7 อันดับบวกลบและลบในสายเฟส เมื่ออัตราขยาย- ค่าความผิดพลาด $K = 60$	71
6.18 สเปกตรัมของกระแสนิวทรัลทางด้านไหลลด ทางด้านแหล่งจ่ายและกระแสจาก แหล่งจ่ายกรณีกำจัดฮาร์มอนิกอันดับ 7 ซีเคเวนซ์บวกลบและลบเมื่ออัตราขยาย- ค่าความผิดพลาด $K = 60$	72
6.19 กระแสไหลลด (บน) กระแสของวงจกรอง (กลาง) และกระแสของแหล่งจ่าย (ล่าง) ในกรณีกำจัดฮาร์มอนิกอันดับ 11 อันดับบวกลบและลบในสายเฟส เมื่ออัตราขยาย- ค่าความผิดพลาด $K = 60$	73
6.20 สเปกตรัมของกระแสนิวทรัลทางด้านไหลลด ทางด้านแหล่งจ่ายและกระแสจาก แหล่งจ่ายกรณีกำจัดฮาร์มอนิกอันดับ 11 ซีเคเวนซ์บวกลบและลบเมื่ออัตราขยาย- ค่าความผิดพลาด $K = 60$	74

บทที่	หน้า
6.21 กระแสไหลด (บน) กระแสของวงจกรอง (กลาง) และกระแสของแหล่งจ่าย (ล่าง) ในกรณีกำลังฮาร์โมนิกอันดับ 13 อันดับบวกและลบในสายเฟส เมื่ออัตราขยาย- ค่าความผิดพลาด $K = 60$	75
6.22 สเปกตรัมของกระแสนิวทรัลทางด้านไหลด ทางด้านแหล่งจ่ายและกระแสจาก แหล่งจ่ายกรณีกำลังฮาร์โมนิกอันดับ 13 ซีเควนซ์บวกและลบเมื่ออัตราขยาย- ค่าความผิดพลาด $K = 60$	76
6.23 กระแสไหลด (บน) กระแสของวงจกรอง (กลาง) และกระแสของแหล่งจ่าย (ล่าง) ในกรณีกำลังฮาร์โมนิกอันดับ 17 อันดับบวกและลบในสายเฟส เมื่ออัตราขยาย- ค่าความผิดพลาด $K = 60$	77
6.24 สเปกตรัมของกระแสนิวทรัลทางด้านไหลด ทางด้านแหล่งจ่ายและกระแสจาก แหล่งจ่ายกรณีกำลังฮาร์โมนิกอันดับ 17 ซีเควนซ์บวกและลบเมื่ออัตราขยาย- ค่าความผิดพลาด $K = 60$	78
6.25 กระแสไหลด (บน) กระแสของวงจกรอง (กลาง) และกระแสของแหล่งจ่าย (ล่าง) ในกรณีกำลังฮาร์โมนิกอันดับ 19 อันดับบวกและลบในสายเฟส เมื่ออัตราขยาย- ค่าความผิดพลาด $K = 60$	79
6.26 สเปกตรัมของกระแสนิวทรัลทางด้านไหลด ทางด้านแหล่งจ่ายและกระแสจาก แหล่งจ่ายกรณีกำลังฮาร์โมนิกอันดับ 19 ซีเควนซ์บวกและลบเมื่ออัตราขยาย- ค่าความผิดพลาด $K = 60$	80
6.27 กระแสไหลด (บน) กระแสของวงจกรอง (กลาง) และกระแสของแหล่งจ่าย (ล่าง) ในกรณีกำลังฮาร์โมนิกอันดับ 3 ในสายเฟสและในสายนิวทรัล เมื่ออัตราขยาย- ค่าความผิดพลาด $K = 60$	81
6.28 สเปกตรัมของกระแสนิวทรัลทางด้านไหลด ทางด้านแหล่งจ่ายและกระแสจาก แหล่งจ่ายกรณีกำลังฮาร์โมนิกอันดับ 3 ในสายเฟสและในสายนิวทรัล เมื่ออัตราขยาย- ค่าความผิดพลาด $K = 60$	82
6.29 กระแสไหลด (บน) กระแสของวงจกรอง (กลาง) และกระแสของแหล่งจ่าย (ล่าง) ในกรณีกำลังฮาร์โมนิกอันดับ 9 ในสายเฟสและในสายนิวทรัล เมื่ออัตราขยาย- ค่าความผิดพลาด $K = 60$	83
6.30 สเปกตรัมของกระแสนิวทรัลทางด้านไหลด ทางด้านแหล่งจ่ายและกระแสจาก	

สารบัญ (ต่อ)

ณ

บทที่

หน้า

แหล่งจ่ายกรณีกำลังฮาร์โมนิกอันดับ 9 ในสายเฟสและในสายนิวทรัล เมื่ออัตราขยาย- ค่าความผิดพลาด $K = 60$	84
6.31 กระแสโหลด (บน) กระแสของวงจรกรอง (กลาง) และกระแสของแหล่งจ่าย (ล่าง) ในกรณีกำลังฮาร์โมนิกอันดับ 15 ในสายเฟสและในสายนิวทรัล เมื่ออัตราขยาย- ค่าความผิดพลาด $K = 60$	85
6.32 สเปกตรัมของกระแสนิวทรัลทางด้านโหลด ทางด้านแหล่งจ่ายและกระแสจาก แหล่งจ่ายกรณีกำลังฮาร์โมนิกอันดับ 15 ในสายเฟสและในสายนิวทรัล เมื่ออัตราขยาย- ค่าความผิดพลาด $K = 60$	86
ก.1 วงจรสมมูล 1 เฟสของระบบเมื่อต่อวงจรกรองกระแสความถี่การสวิตช์	93
ก.2 ลักษณะสมบัติของวงจรกรองกระแสความถี่การสวิตช์	96

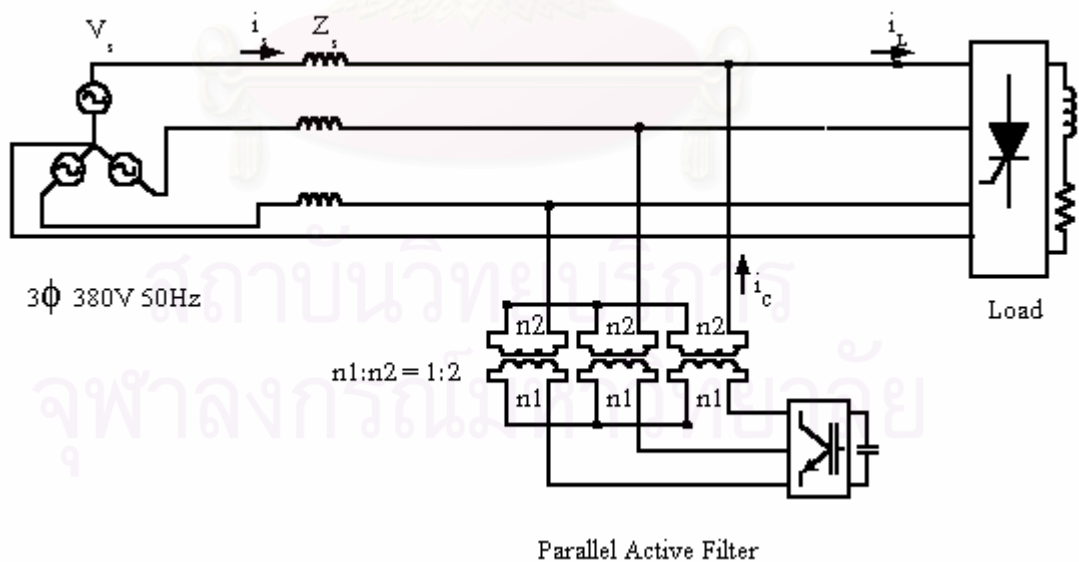
สถาบันวิทยบริการ
จุฬาลงกรณ์มหาวิทยาลัย

บทที่ 1

บทนำ

1.1 ความเป็นมาและความสำคัญของปัญหา

ปัญหาฮาร์มอนิกในระบบไฟฟ้ากำลังเป็นปัญหาที่เติบโตควบคู่ไปกับการพัฒนาของอุตสาหกรรม การแก้ปัญหาระบบฮาร์มอนิกที่นิยมใช้ก็คือการใช้วงจรกรองพาสซีฟต่อขนานกับโหลดซึ่งอาจก่อให้เกิดปัญหาได้เนื่องจากเกิดการเรโซแนนซ์กับระบบไฟฟ้ากำลังและมีข้อจำกัดอย่างอื่นด้วย(สรรรถิพงษ์ โหมยิตเกษม, 2540) ปัจจุบันได้มีการพัฒนาวิธีการแก้ปัญหาระบบฮาร์มอนิกอีกหลายวิธี เช่น การใช้วงจรกรองแอกทีฟต่อขนานหรืออนุกรมกับระบบไฟฟ้ากำลังหรือต่อเป็นแบบแอกทีฟผสมพาสซีฟหรือการต่อแบบไฮบริด ซึ่งวงจรกรองต่างๆเหล่านี้ส่วนใหญ่จะเป็นการแก้ปัญหาระบบไฟฟ้ากำลัง 3 เฟส 3 สาย โดยมีวงจรเป็นดังรูปที่ 1.1 อย่างไรก็ตามการใช้งานทางด้านอุตสาหกรรมหรือระบบจำหน่ายทั่วไปมักจะเป็นระบบ 3 เฟส 4 สายซึ่งมีฮาร์มอนิกอันดับสามปะปนอยู่ด้วย ก่อให้เกิดปัญหากระแสเกินในสายนิวทรัลหรือที่ขั้วต่อของหม้อแปลงระบบจำหน่ายเป็นผลให้เกิดการรบกวน การแก้ปัญหาระบบฮาร์มอนิกสำหรับระบบไฟฟ้ากำลัง 3 เฟส 4 สายไม่สามารถใช้วงจรกรองแอกทีฟแบบที่มี 3 สายโดยไม่มีสายต่อกับตัวนำนิวทรัลได้ เพราะว่ากระแสฮาร์มอนิกบางส่วนในสายเฟสจะไม่ถูกชดเชยและขนาดของกระแสฮาร์มอนิกในสายนิวทรัลก็ไม่ได้ลดลง(Thierry Thomas et al., 1996)



รูปที่ 1.1 วงจรกรองแอกทีฟขนานแบบ 3 เฟส 3 สาย

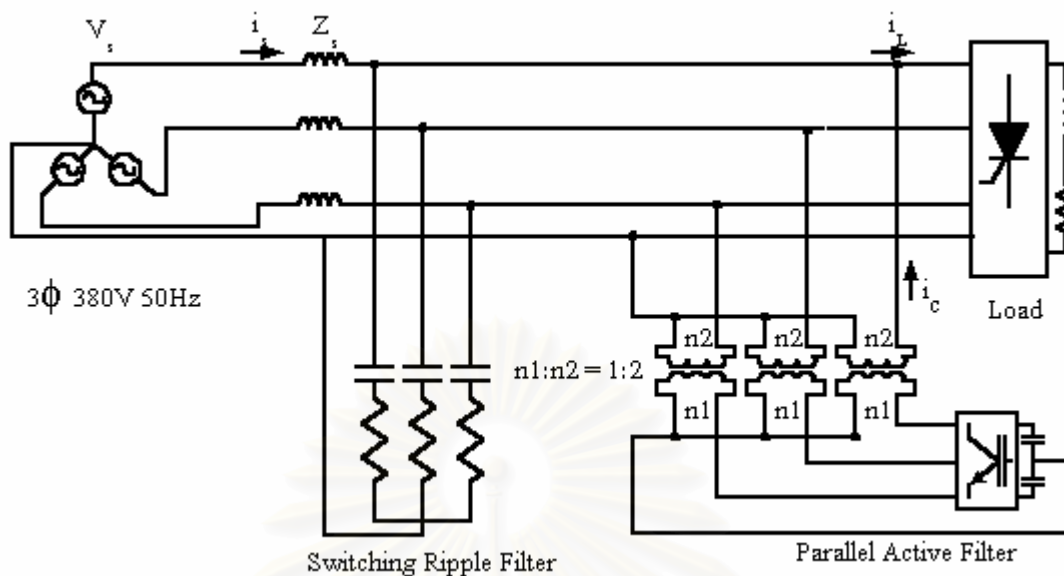
งานวิจัยเกี่ยวกับการแก้ปัญหาฮาร์โมนิกในสายนิวทรัลนั้น ได้มีการนำเสนอมาแล้วอย่างต่อเนื่อง ตัวอย่างเช่น

Conor A. Quinn et al. 1993 ได้นำเสนอการใช้วงจรกรองแอกทีฟแบบ 1 เฟส 4 ตัวโดย 3 ตัวต่อระหว่างเฟสกับสายนิวทรัลเพื่อชดเชยฮาร์โมนิกโดยแยกการควบคุมอิสระจากกันแล้วยังมีการนำผลรวมของกระแสฮาร์โมนิกที่ตรวจจับได้ในแต่ละเฟสมาเป็นกระแสคำสั่งของอินเวอร์เตอร์สำหรับชดเชยที่สายนิวทรัลด้วย การควบคุมกระแสในงานวิจัยนี้ใช้การควบคุมแบบฮิสเทอรีซิสการใช้อินเวอร์เตอร์ที่แยกอิสระจากกันหลายตัวทำให้กำลังรวมของอินเวอร์เตอร์มีขนาดใหญ่ ซึ่งถ้าหากนำไปใช้จริงก็จะมีต้นทุนสูง นอกจากนี้การที่มีการควบคุมกระแสจากวงจรกรองแอกทีฟทั้ง 4 สาย ก็อาจจะทำให้เกิดการขัดแย้งกันเองได้เนื่องจากค่าความผิดพลาดที่เกิดขึ้นจากการควบคุมกระแสแต่ละส่วน

Girish Kamath et al. 1994 ได้พัฒนางานวิจัยของ Conor A. Quinn เพื่อลดขนาดกำลังของวงจรกรองแอกทีฟ โดยใช้อินเวอร์เตอร์เพียง 2 ชุดเท่านั้นคือ อินเวอร์เตอร์ 3 เฟส เพื่อชดเชยกระแสฮาร์โมนิกซีแควนซ์บวกและซีแควนซ์ลบ ร่วมกับอินเวอร์เตอร์แบบ 1 เฟส ใช้สำหรับการชดเชยกระแสฮาร์โมนิกซีแควนซ์ศูนย์ อินเวอร์เตอร์ทั้ง 2 ตัวนี้เชื่อมโยงเข้ากับระบบกำลังโดยต่อผ่านหม้อแปลงแบบ zig-zag delta ขนาดกำลังของวงจรกรองจะลดลงได้เนื่องจากการแยกอินเวอร์เตอร์ที่จ่ายกระแสซีแควนซ์ศูนย์ออกมาต่างหาก อินเวอร์เตอร์ตัวนี้ต่อระหว่างจุดนิวทรัลของหม้อแปลงกับสายนิวทรัลของระบบทำให้สามารถใช้อินเวอร์เตอร์ที่มีพิกัดแรงดันต่ำแต่กระแสสูง งานวิจัยนี้จำเป็นต้องใช้อินเวอร์เตอร์ 2 ตัวซึ่งไม่เหมาะสมและไม่สะดวกในการนำไปใช้งานจริง

Prasad N. Enjeti et al. 1994 ได้นำเสนอการกำจัดกระแสฮาร์โมนิกในสายนิวทรัลโดยการตรวจจับกระแสฮาร์โมนิกโดยตรงจากสายนิวทรัลแล้วใช้สัญญาณที่ตรวจจับได้นี้เป็นกระแสคำสั่งโดยตรงสำหรับอินเวอร์เตอร์ การกำจัดฮาร์โมนิกในงานวิจัยนี้จะกำจัดเฉพาะฮาร์โมนิกในสายนิวทรัลเท่านั้นส่วนฮาร์โมนิกในสายเฟสก็ยังคงไม่ถูกกำจัดแต่อย่างใด

ดังนั้นในวิทยานิพนธ์นี้เราจะนำเสนอวงจรกรองแอกทีฟสำหรับระบบ 3 เฟส 4 สาย โดยใช้แบบที่สายนิวทรัลต่อกับจุดกึ่งกลางบัสไฟตรงและใช้การตรวจจับกระแสฮาร์โมนิกทางด้านโหลด 3 สาย โดยมีวงจรเป็นดังรูปที่ 1.2 การตรวจจับกระแสฮาร์โมนิกในสายเฟสนั้นจะใช้วิธีการตรวจจับแบบรีเคอร์ซีฟดีเอพีทีซึ่งมีข้อดีก็คือมีการคำนวณที่ง่ายและให้ผลการคำนวณรูปคลื่นเป็นขนาดและเฟสของฮาร์โมนิกที่เราต้องการกำจัด อย่างไรก็ตามการตรวจจับด้วยวิธีรีเคอร์ซีฟดีเอพีทีที่นำเสนอในอดีตนับว่าไม่สามารถนำมาใช้ตรวจจับกระแสฮาร์โมนิกในสายนิวทรัลได้โดยตรง เราจึงจำเป็นต้องพัฒนาวิธีการตรวจจับกระแสฮาร์โมนิกในสายนิวทรัลขึ้นมาโดยประยุกต์มาจากหลักการตรวจจับกระแสฮาร์โมนิกในสายเฟส



รูปที่ 1.2 วงจรกรองแอกทีฟขนานแบบ 3 เฟส 4 สาย

นอกจากนี้เนื่องจากอินเวอร์เตอร์ของวงจรกรองแอกทีฟต้องจ่ายกระแสฮาร์มอนิกซึ่งมีลักษณะเป็นสัญญาณรายคาบและมีหลายความถี่ปะปนกัน ดังนั้นในงานวิจัยนี้เราจะนำเสนอการควบคุมกระแสแบบวิธีทำซ้ำ (Repetitive Control) ซึ่งตัวควบคุมแบบนี้จะมีขั้วกระจายอยู่ที่ความถี่ฮาร์มอนิกต่างๆ จึงทำให้สามารถควบคุมกระแสที่เป็นสัญญาณรายคาบได้

ในท้ายสุดเราจะทดสอบคุณสมบัติของวงจรกรองแอกทีฟที่ได้พัฒนาขึ้น โดยทดสอบกับโหลดซึ่งประกอบด้วยวงจรเรียงกระแสสามเฟสและวงจรเรียงกระแสหนึ่งเฟสอย่างละหนึ่งชุด

1.2 วัตถุประสงค์ของการวิจัย

เพื่อศึกษาออกแบบและสร้างวงจรกรองแอกทีฟแบบขนานเพื่อใช้ในวงจรไฟฟ้ากำลังแบบ 3 เฟส 4 สาย โดยใช้วิธีตรวจจับกระแสแบบรีเคอร์ซีฟดีเอฟที่ทางด้านโหลดและควบคุมกระแสแบบวิธีทำซ้ำ

1.3 ขอบเขตของการวิจัย

พัฒนาและสร้างต้นแบบวงจรกรองแอกทีฟที่มีการตรวจจับสัญญาณแบบรีเคอร์ซีฟดีเอฟที่ใช้กับระบบไฟฟ้ากำลังสามเฟสสี่สาย 380 โวลต์ โดยมีโหลดเป็นวงจรเรียงกระแสสามเฟสขนาด 1.5 kVA และวงจรเรียงกระแสหนึ่งเฟสขนาด 0.25 kVA หนึ่งชุด โหลดแต่ละชุดจ่ายกระแสด้านออกคงตัว โดยวงจรกรองแอกทีฟสามารถที่จะกำจัดฮาร์มอนิกอันดับต่ำกว่า 19 ได้ตามต้องการ

และจะต้องทำให้กระแสฮาร์โมนิกในระบบกำลังในอันดับที่ต้องการกำจัดเป็นไปตามข้อกำหนดมาตรฐาน IEC 1000-3-2 Class A ซึ่งการที่เลือกใช้มาตรฐาน IEC 1000-3-2 เนื่องจากเป็นมาตรฐานที่มีการใช้อย่างแพร่หลายและใช้ได้ง่ายคือเราจะทราบค่ากระแสฮาร์โมนิกที่สอดคล้องตามมาตรฐานได้จากการเทียบสัดส่วนจากค่ากระแสฐาน 16 A ดังตารางที่ 1

ตารางที่ 1 มาตรฐานข้อกำหนดฮาร์โมนิก IEC 1000-3-2 Class A

Harmonic order N	Maximum permissible Harmonic current (A)
Odd harmonics	
3	2.30
5	1.14
7	0.77
9	0.40
11	0.33
13	0.21
$15 < n < 39$	0.15 (15/n)
Even harmonics	
2	1.08
4	0.43
6	0.30
$8 < n < 40$	0.23 (8/n)

1.4 ขั้นตอนและวิธีการดำเนินการ

1. ศึกษาคุณสมบัติของวงจรกรองแอกทีฟแบบต่าง ๆ
2. ศึกษาคุณสมบัติของการตรวจจับกระแสฮาร์โมนิกด้วยวิธีต่าง ๆ
3. ใช้คอมพิวเตอร์จำลองการทำงานของวงจรกรองแอกทีฟแบบขนานสำหรับระบบ 3 เฟส 4 สาย ที่มีการตรวจจับกระแสฮาร์โมนิกโดยวิธีรีเคอร์ซีฟดีเอฟทีและใช้การควบคุมกระแสแบบวิธีทำซ้ำเพื่อศึกษาและวิเคราะห์การทำงานโดยในด้านเสถียรภาพและผลตอบสถานะชั่วครู่
4. สร้างต้นแบบวงจรกรองแอกทีฟสำหรับระบบ 3 เฟส 4 สาย 380 โวลต์ที่ใช้การตรวจจับสัญญาณแบบรีเคอร์ซีฟดีเอฟทีและควบคุมกระแสแบบวิธีทำซ้ำ

5. ศึกษาและปรับปรุงฮาร์ดแวร์ของวงจรกรองแอกทีฟ
6. ทำการทดสอบวงจรทั้งหมดและทดลองใช้งาน
7. ประเมินผลและเขียนวิทยานิพนธ์

1.5 ประโยชน์ที่คาดว่าจะได้รับ

1. ได้เทคนิคใหม่ในการตรวจจับกระแสฮาร์มอนิกเพื่อใช้สำหรับระบบกำลัง 3 เฟส 4 สาย
2. ได้หลักการออกแบบการควบคุมกระแสแบบวิธีทำซ้ำ
3. ผลการศึกษาวิจัยและพัฒนาสามารถนำไปใช้ในอุตสาหกรรมได้



สถาบันวิทยบริการ
จุฬาลงกรณ์มหาวิทยาลัย

บทที่ 2

ทฤษฎีการกำจัดฮาร์มอนิกด้วยวงจรกรองแอกทีฟ

ในบทนี้เราจะกล่าวถึงรายละเอียดของหลักการและทฤษฎีที่ใช้ในการกำจัดกระแสฮาร์มอนิก ดังที่ได้กล่าวมาแล้วในบทที่ 1 คือวงจรกรองแอกทีฟในงานวิทยานิพนธ์นี้จะใช้ในการกำจัดกระแสฮาร์มอนิกในระบบไฟฟ้ากำลังที่เป็นแบบ 3 เฟส 4 สาย โดยการตรวจจับฮาร์มอนิกทางด้านโหลด ดังนั้นในบทนี้เราจึงแบ่งเนื้อหาออกเป็น 3 ส่วนคือ

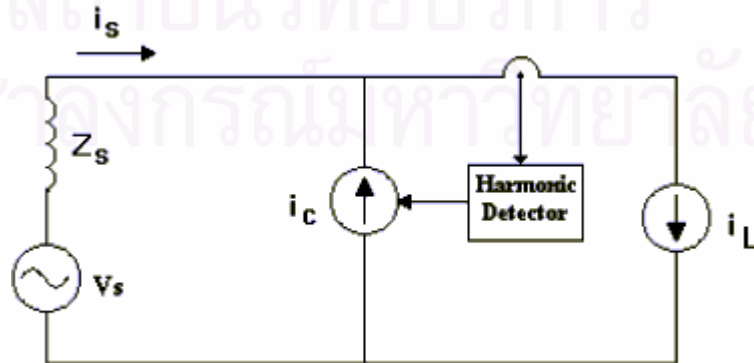
1. ตำแหน่งการตรวจจับกระแสฮาร์มอนิก
2. ทฤษฎีการตรวจจับกระแสฮาร์มอนิกแบบต่างๆ
3. การคำนวณหาค่ากระแสฮาร์มอนิกสำหรับระบบ 3 เฟส 4 สาย

2.1 ตำแหน่งการตรวจจับกระแสฮาร์มอนิก

วงจรกรองแอกทีฟโดยทั่วไป จะทำการตรวจจับกระแสเพื่อนำมาใช้ในการคำนวณหาค่าฮาร์มอนิกได้ในสองลักษณะคือ

2.1.1 การตรวจจับกระแสด้านโหลด

การตรวจจับกระแสในลักษณะนี้มีวงจรสมมูลดังแสดงในรูปที่ 2.1 ในกรณีที่โหลดมีลักษณะเป็นแหล่งจ่ายกระแสหรือมีอิมพีแดนซ์สูง การทำงานของวงจรกรองจะมีลักษณะเป็นแบบวงรอบเปิดดังแสดงตามรูปที่ 2.2 ซึ่งในกรณีเช่นนี้เราสามารถคำนวณหาองค์ประกอบฮาร์มอนิกที่ต้องการกำจัดจากกระแสโหลด และสามารถใช้เป็นคำสั่งกระแสชดเชยได้โดยตรง การตรวจจับในลักษณะนี้ทำให้วงจรกรองแอกทีฟประพฤติตัวเป็นแหล่งจ่ายกระแส (F. Z. Peng, 1992)



รูปที่ 2.1 วงจรสมมูล 1 เฟสของวงจรกรองแอกทีฟที่ตรวจจับกระแสด้านโหลด

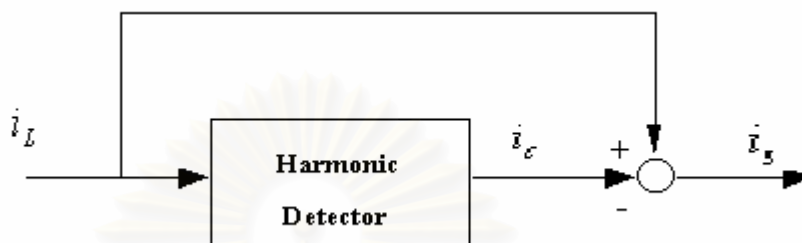
โดยที่ V_s คือ แรงดันแหล่งจ่าย

Z_s คือ อิมพีแดนซ์ของแหล่งจ่าย

i_s คือ กระแสแหล่งจ่าย

i_L คือ กระแสโหลด

i_c คือ กระแสชดเชยที่จ่ายโดยวงจรกรองแอกทีฟ



รูปที่ 2.2 บล็อกไดอะแกรมของวงจรกรองแอกทีฟที่ตรวจจับกระแสด้านโหลด

การตรวจจับกระแสฮาร์มอนิกทางด้านแหล่งโหลด มีข้อดีคือ ง่าย ไม่ซับซ้อนและให้คุณสมบัติการกรองที่ดีในกรณีที่การตรวจจับมีลักษณะที่เป็นอุดมคติ แต่ก็มีข้อเสียเช่นกันคือ ในทางปฏิบัติแล้วเราจะไม่สามารถกำจัดฮาร์มอนิกได้หมดเนื่องจากความไม่เป็นอุดมคติของอุปกรณ์ตรวจจับกระแส

2.1.2 การตรวจจับกระแสด้านแหล่งจ่าย

สำหรับการตรวจจับกระแสลักษณะนี้ วงจรกรองแอกทีฟจะอาศัยการป้อนกลับเพื่อควบคุมกระแสฮาร์มอนิกด้านแหล่งจ่ายให้มีค่าน้อยที่สุด โดยมีวงจรสมมูลดังรูปที่ 2.3 และมีลักษณะการทำงานเป็นแบบวงรอบปิดดังรูปที่ 2.4 ในกรณีนี้คำสั่งกระแสชดเชยจะไม่ได้มาจากกระแสฮาร์มอนิกที่แหล่งจ่ายโดยตรง แต่จะมีการคูณฟังก์ชันควบคุมเข้ากับกระแสฮาร์มอนิกที่ตรวจจับได้แล้วจึงใช้เป็นคำสั่งกระแสชดเชยเพื่อจ่ายออกไปโดยมีเป้าหมายการควบคุมเพื่อทำให้กระแสฮาร์มอนิกด้านแหล่งจ่ายมีค่าต่ำ

ฟังก์ชันควบคุม $G(s)$ จะทำให้วงจรกรองแอกทีฟประพฤติตัวเป็นอิมพีแดนซ์เสมือนที่มีค่าแปรตามความถี่ในลักษณะต่างๆกัน (สรรคิพงษ์ โฆษิตเกษม, 2540) ซึ่งสามารถเลือกได้หลายแบบโดยจะให้ผลแตกต่างกันไป อาทิเช่น

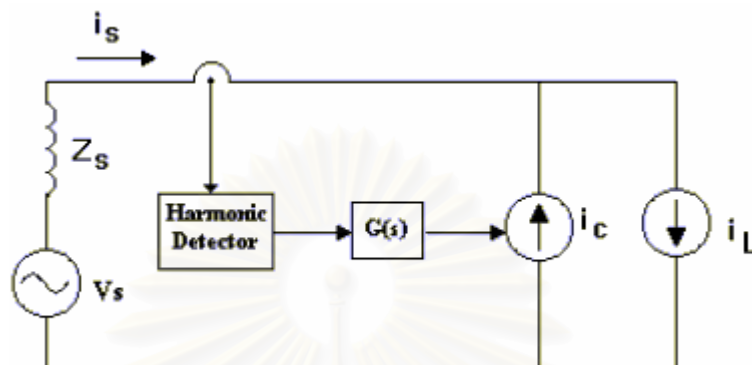
1. $G(s) = k$ เมื่อ k เป็นค่าคงตัว วงจรกรองแอกทีฟจะประพฤติตัวเสมือนเป็นตัวเหนี่ยวนำที่ความถี่ของฮาร์มอนิกที่ต้องการกำจัด

$$2. G(s) = \frac{kTs}{1 + Ts} \text{ เมื่อ } k \text{ และ } Ts \text{ เป็นค่าคงตัว วงจรกรองแอกทีฟจะประพฤติตัวเสมือน}$$

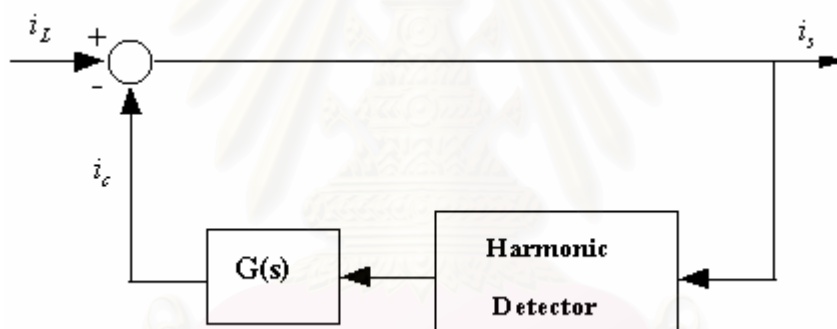
เป็นตัวหนี้ยวนำอนุกรมกับความต้านทานและมีลักษณะเฟสนำหน้าที่ความถี่ที่ต้องการกำจัด

การออกแบบฟังก์ชันควบคุมที่เหมาะสมจะทำให้วงจรกรองกำลังแอกทีฟสามารถกำจัด

ฮาร์มอนิกได้ผลตามต้องการ



รูปที่ 2.3 วงจรสมมูล 1 เฟสของวงจรกรองแอกทีฟที่ตรวจจับกระแสด้านแหล่งจ่าย



รูปที่ 2.4 บล็อกไดอะแกรมของวงจรกรองแอกทีฟที่ตรวจจับกระแสด้านแหล่งจ่าย

ข้อดีของการตรวจจับลักษณะนี้คือความไม่เป็นอุดมคติของอุปกรณ์ตรวจจับกระแสทางด้านแหล่งจ่ายจะไม่มีผลต่อคุณสมบัติการกำจัดฮาร์มอนิก เนื่องจากในสถานะอยู่ตัวกระแสฮาร์มอนิกทางด้านแหล่งจ่ายจะเป็นศูนย์ ถึงแม้อัตราขยายของอุปกรณ์ตรวจจับกระแสจะผิดพลาดก็ไม่มีผลต่อการกำจัดฮาร์มอนิก ดังนั้นการเลือกอุปกรณ์ตรวจจับกระแสก็ไม่จำเป็นต้องมีความแม่นยำสูง อย่างไรก็ตามเนื่องจากระบบทำงานในลักษณะวงรอบปิด ดังนั้นเราจะต้องคำนึงถึงผลของเสถียรภาพของระบบด้วย

ในงานวิจัยนี้ เราจะเลือกใช้การตรวจจับกระแสทางด้านโหลด เนื่องจากง่ายและไม่ต้องพิจารณาเรื่องเสถียรภาพในการตรวจจับ

2.2 ทฤษฎีการตรวจจับกระแสฮาร์มอนิกแบบต่างๆ

รูปคลื่นกระแสซึ่งมีลักษณะเป็นสัญญาณรายคาบสามารถแตกเป็นผลรวมของกระแสองค์ประกอบความถี่มูลฐานกับกระแสองค์ประกอบฮาร์มอนิกอันดับต่างๆซึ่งมีค่าความถี่เป็นจำนวนเท่า(อันดับ)ที่ลงตัวของความถี่มูลฐาน ดังนั้นในการกำจัดกระแสฮาร์มอนิกที่ไม่ต้องการ วงจรกรองกำลังแอกทีฟเราจะต้องสามารถทำการตรวจจับแยกเอาสัญญาณฮาร์มอนิกที่ต้องการออกมา เพื่อทำการสร้างกระแสชดเชยไปหักล้างกับกระแสฮาร์มอนิกในองค์ประกอบนั้นๆ

ในกรณีที่ระบบเป็นแบบ 3 เฟส 3 สาย ซึ่งกระแส 3 เฟส ไม่มีความเป็นอิสระระหว่างกัน การพิจารณาตรวจจับฮาร์มอนิกแยกกันทีละเฟสอย่างอิสระกัน จะเป็นการทำงานที่ซ้ำซ้อนและยุ่งยากโดยไม่จำเป็น ในที่นี่เราจะใช้วิธีการพิจารณาตรวจจับกระแสฮาร์มอนิกจากสเปซเวกเตอร์ 2 เฟส ซึ่งเป็นปริมาณที่แสดงภาพรวมของกระแส 3 เฟสได้ ซึ่งกระแสในรูปสเปซเวกเตอร์นี้ก็สามารถแยกออกได้เป็นผลรวมขององค์ประกอบมูลฐานกับองค์ประกอบฮาร์มอนิกต่างๆได้เช่นกัน ดังแสดงตามสมการที่ (2.1)

$$\vec{i}(t) = \sum_{h=-\infty}^{\infty} I_h \cdot e^{jh\omega t} \quad (2.1)$$

เมื่อ $\vec{i}(t)$ คือสเปซเวกเตอร์กระแส h คืออันดับของฮาร์มอนิก I_h คือขนาดและเฟสขององค์ประกอบฮาร์มอนิกอันดับที่ h ω คือความถี่มูลฐาน เราสามารถสรุปความสัมพันธ์ระหว่าง Symmetrical Component ของกระแส 3 เฟสกับกระแสสเปซเวกเตอร์ได้ดังนี้คือ

- กระแสซีเคเวนซ์ศูนย์ : กรณีระบบ 3 เฟส 3 สายจะไม่มีกระแสซีเคเวนซ์นี้
- กระแสซีเคเวนซ์บวก : เมื่อแปลงเป็นสเปซเวกเตอร์จะกลายเป็นเวกเตอร์ขนาดคงที่ หมุนไปในทิศตามเข็มนาฬิกาด้วยความเร็วเท่ากับความถี่ของฮาร์มอนิกนั้นๆ ซึ่งสอดคล้องกับพจน์ $I_h \cdot e^{jh\omega t}$ เมื่อ h มีค่าเป็นบวกนั่นเอง
- กระแสซีเคเวนซ์ลบ : เมื่อแปลงเป็นสเปซเวกเตอร์จะกลายเป็นเวกเตอร์ขนาดคงที่ หมุนไปในทิศตามเข็มนาฬิกาด้วยความเร็วเท่ากับความถี่ของฮาร์มอนิกนั้นๆ ซึ่งสอดคล้องกับพจน์ $I_h \cdot e^{-jh\omega t}$ เมื่อ h มีค่าเป็นลบนั่นเอง

การมองกระแส 3 เฟสเป็นสเปซเวกเตอร์นี้ทำให้เราสามารถพัฒนาวิธีการตรวจจับฮาร์มอนิกแบบใหม่โดยมองจากสเปซเวกเตอร์ได้โดยเราสามารถตรวจจับโดยแยกแยะได้ทั้งความถี่และซีเคเวนซ์ ซึ่งมีประโยชน์ในการเลือกตรวจจับและกำจัดเฉพาะบางฮาร์มอนิกและบางซีเคเวนซ์ เมื่อระบบมีฮาร์มอนิกเฉพาะบางอันดับและบางซีเคเวนซ์ ตัวอย่างเช่น ในระบบ 3 เฟส 3 สายสมดุล โดยทั่วไป ซึ่งมีฮาร์มอนิกเฉพาะอันดับ 5 ซีเคเวนซ์ลบ อันดับ 7 ซีเคเวนซ์บวก อันดับ 11 ซีเคเวนซ์ลบ

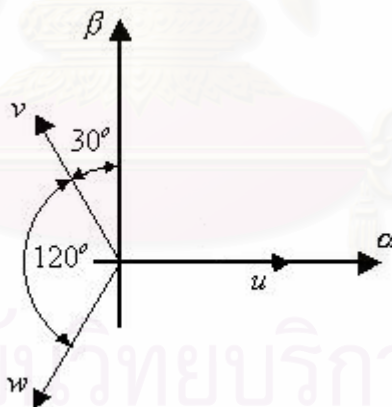
อันดับ 13 ซึ่งควนซ์บวก เช่นนี้เรื่อยไป เราสามารถเลือกตรวจจับเฉพาะฮาร์มอนิกอันดับ 5 ซึ่งควนซ์ลบและฮาร์มอนิกอันดับ 7 ซึ่งควนซ์บวกซึ่งเป็นฮาร์มอนิกหลักของระบบ ซึ่งจะทำให้วงจรกรองแอกทีฟที่ใช้มีขนาดเล็กลงได้ เพราะไม่ต้องจ่ายกระแสฮาร์มอนิกอันดับอื่นๆ เพิ่มเติม

วิธีการตรวจจับกระแสฮาร์มอนิกที่นิยมกันทั่วไปได้แก่ วิธีการซึ่งอาศัยทฤษฎีกำลังงานรีแอกทีฟขณะใดๆ (H. Akagi, 1983) และวิธีการหมุนแกนอ้างอิง

2.2.1 การตรวจจับกระแสฮาร์มอนิกโดยใช้ทฤษฎีกำลังงานรีแอกทีฟขณะใดๆ

โดยทั่วไปวิธีการนี้จะใช้ตรวจจับฮาร์มอนิกในระบบ 3 เฟส 3 สาย ซึ่งจะให้ค่ากระแสฮาร์มอนิกถูกต้องเมื่อแหล่งจ่ายมีรูปคลื่นแรงดันเป็นไซน์และมีความสมดุล มิฉะนั้นจะเกิดความผิดพลาดได้ นอกจากนี้การตรวจจับฮาร์มอนิกวิธีนี้ยังเหมาะสมเฉพาะกับวงจรกรองแอกทีฟที่ชดเชยฮาร์มอนิกทุกอันดับ เนื่องจากกระแสฮาร์มอนิกที่คำนวณได้จะประกอบไปด้วยฮาร์มอนิกทุกอันดับปนกันอยู่โดยไม่สามารถแยกตรวจจับเฉพาะอันดับที่ต้องการได้

เนื่องจากสัญญาณ 3 เฟส (u , v , w) ที่ไม่อิสระต่อกันสามารถนิยามให้อยู่ในแกนอ้างอิง 2 แกนที่ตั้งฉากกัน ($\alpha - \beta$) ได้ดังรูปที่ 2.5 และเขียนสมการแสดงความสัมพันธ์ของการแปลงแกนอ้างอิงได้ดังสมการที่ (2.2)



รูปที่ 2.5 ความสัมพันธ์ของแกนอ้างอิง u, v, w กับแกนอ้างอิง ($\alpha - \beta$)

$$\begin{bmatrix} \alpha \\ \beta \end{bmatrix} = A \begin{bmatrix} 1 & -\frac{1}{2} & -\frac{1}{2} \\ 0 & \frac{\sqrt{3}}{2} & -\frac{\sqrt{3}}{2} \end{bmatrix} \begin{bmatrix} u \\ v \\ w \end{bmatrix} \quad (2.2)$$

โดยที่ A เป็นค่าคงที่

เมื่อพิจารณาเรื่องการอนุรักษ์พลังงานนั้นคือ กำลังที่อยู่ในแกนอ้างอิง ($\alpha - \beta$) ยังคงเท่ากับกำลังที่อยู่ในแกนอ้างอิง (u, v, w) แล้วพบว่า $A = \sqrt{\frac{2}{3}}$ ดังนั้นสมการที่ (2.2) สามารถเขียนได้ใหม่เป็นสมการที่ (2.3)

$$\begin{bmatrix} \alpha \\ \beta \end{bmatrix} = \sqrt{\frac{2}{3}} \begin{bmatrix} 1 & -\frac{1}{2} & -\frac{1}{2} \\ 0 & \frac{\sqrt{3}}{2} & -\frac{\sqrt{3}}{2} \end{bmatrix} \begin{bmatrix} u \\ v \\ w \end{bmatrix} \quad (2.3)$$

ขั้นตอนในการคำนวณหากระแสฮาร์มอนิก เริ่มแรกเราจะต้องแปลงกระแส (i) และแรงดัน (e) 3 เฟส (u, v, w) มาเป็นสเปซเวกเตอร์บนแกน $\alpha - \beta$ โดยใช้สมการที่ (2.4) และ (2.5) ตามลำดับ

$$\vec{i} = \begin{bmatrix} i_\alpha \\ i_\beta \end{bmatrix} = \sqrt{\frac{2}{3}} \begin{bmatrix} 1 & -\frac{1}{2} & -\frac{1}{2} \\ 0 & \frac{\sqrt{3}}{2} & -\frac{\sqrt{3}}{2} \end{bmatrix} \begin{bmatrix} i_u \\ i_v \\ i_w \end{bmatrix} \quad (2.4)$$

$$\vec{e} = \begin{bmatrix} e_\alpha \\ e_\beta \end{bmatrix} = \sqrt{\frac{2}{3}} \begin{bmatrix} 1 & -\frac{1}{2} & -\frac{1}{2} \\ 0 & \frac{\sqrt{3}}{2} & -\frac{\sqrt{3}}{2} \end{bmatrix} \begin{bmatrix} e_u \\ e_v \\ e_w \end{bmatrix} \quad (2.5)$$

โดยที่ “ (\cdot) ” แสดงถึงปริมาณสเปซเวกเตอร์ $(\cdot)_\alpha$ และ $(\cdot)_\beta$ คือองค์ประกอบของสเปซเวกเตอร์บนแกน α และ β ตามลำดับ และตัวห้อย u, v, w หมายถึงปริมาณในเฟส u, v, w ตามลำดับ เราจะนำกระแสและแรงดันที่เป็นสเปซเวกเตอร์มาหาค่ากำลังขณะใดๆ (Instantaneous Power) โดยที่ p คือกำลังงานจริงขณะใดๆของระบบ 3 เฟสที่จ่ายจากแหล่งไปสู่โหลด มีค่าเท่ากับผลคูณสเกลล่า (Dot Product) ของ \vec{e} กับ \vec{i} ตามสมการที่ (2.6) ส่วน q คือกำลังงานรีแอกทีฟขณะใดๆ (Instantaneous Reactive Power) เป็นกำลังที่ถ่ายทอดกันเองระหว่างเฟสทั้ง 3 ของแหล่งจ่ายโดยไม่ทำให้เกิดกำลังสุทธิไปสู่โหลด มีค่าเท่ากับขนาดของผลคูณเวกเตอร์ (Cross Product) ของ \vec{e} กับ \vec{i} ตามสมการที่ (2.7)

$$p = \vec{e} \cdot \vec{i} \quad (2.6)$$

$$q = \|\vec{e} \times \vec{i}\| \quad (2.7)$$

จากสมการที่ (2.6) และ (2.7) เราสามารถแสดงค่ากำลังงานจริงขณะใดๆ (p) และค่ากำลังงานรีแอกทีฟขณะใดๆ (q) ของระบบ 3 เฟสในของรูปเมตริกซ์ได้ ดังสมการที่ (2.8) หรือ (2.9)

$$\begin{bmatrix} p \\ q \end{bmatrix} = \begin{bmatrix} e_\alpha & e_\beta \\ -e_\beta & e_\alpha \end{bmatrix} \begin{bmatrix} i_\alpha \\ i_\beta \end{bmatrix} \quad (2.8)$$

$$\begin{bmatrix} p \\ q \end{bmatrix} = \begin{bmatrix} i_\alpha & i_\beta \\ i_\beta & -i_\alpha \end{bmatrix} \begin{bmatrix} e_\alpha \\ e_\beta \end{bmatrix} \quad (2.9)$$

สมการที่ (2.8) เหมาะสำหรับใช้กับแหล่งจ่ายแรงดัน ส่วนสมการที่ (2.9) จะใช้กับแหล่งจ่ายกระแส จากสมการที่ (2.8) เมื่อดีเทอร์มิแนนต์ของเมตริกซ์ไม่เป็นศูนย์ เราสามารถคำนวณค่ากระแสจากค่ากำลังงานขณะใดๆ ได้ดังสมการที่ (2.10)

$$\begin{bmatrix} i_\alpha \\ i_\beta \end{bmatrix} = \begin{bmatrix} e_\alpha & e_\beta \\ -e_\beta & e_\alpha \end{bmatrix}^{-1} \begin{bmatrix} p \\ q \end{bmatrix} = \frac{1}{e_\alpha^2 + e_\beta^2} \begin{bmatrix} e_\alpha & -e_\beta \\ e_\beta & e_\alpha \end{bmatrix} \begin{bmatrix} p \\ q \end{bmatrix} \quad (2.10)$$

ค่ากำลังงานจริงขณะใดๆ (p) และค่ากำลังงานรีแอกทีฟขณะใดๆ (q) มีองค์ประกอบทั้งที่เป็นไฟตรงและไฟสลับดังต่อไปนี้ (Mauricio Aredes, 1995)

- องค์ประกอบไฟตรง (\bar{p}, \bar{q}) เกิดจากกระแสที่มีความถี่และซีแควนซ์ตรงกับแรงดัน ยกตัวอย่างเช่น กระแสความถี่มูลฐานซีแควนซ์บวกกับแรงดันความถี่มูลฐานซีแควนซ์บวกเหมือนกัน หรือ กระแสฮาร์มอนิก 5 ซีแควนซ์ลบกับแรงดันฮาร์มอนิก 5 ซีแควนซ์ลบ เป็นต้น
- องค์ประกอบไฟสลับ (\tilde{p}, \tilde{q}) เกิดจากกระแสที่มีความถี่หรือซีแควนซ์ไม่ตรงกับแรงดัน

ดังนั้นในกรณีที่แรงดันแหล่งจ่ายสมดุลและไม่มีฮาร์มอนิก องค์ประกอบไฟตรงของ p และ q จะเกิดจากเฉพาะกระแสความถี่มูลฐานซีแควนซ์บวกเท่านั้น และองค์ประกอบไฟสลับของ p และ q จะเกิดมาจากกระแสความถี่มูลฐานซีแควนซ์ลบ (ในกรณีที่โหลดไม่สมดุล) หรือเกิดจากกระแสฮาร์มอนิกเท่านั้น ในกรณีหลังนี้เราสามารถตรวจจับกระแสฮาร์มอนิกได้โดยกรองแยกเอาองค์ประกอบไฟสลับออกมาด้วยวงจรกรองผ่านสูงซึ่งเมื่อนำองค์ประกอบนี้ไปแปลงกลับเป็นกระแสโดยใช้สมการที่ (2.11) ก็จะได้กระแสฮาร์มอนิกในรูปของสเปซเวกเตอร์

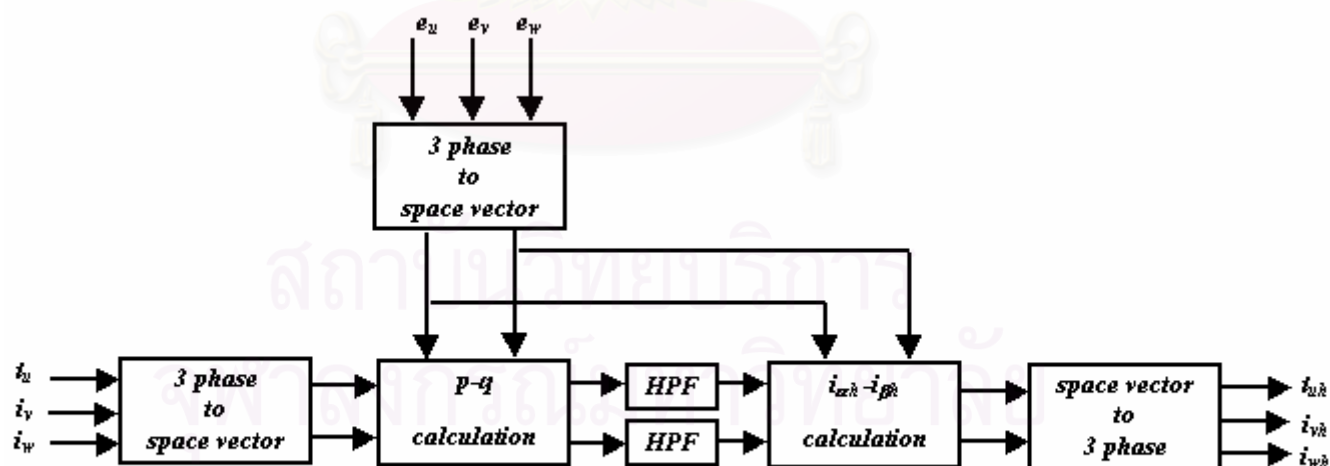
$$\begin{bmatrix} i_{ah} \\ i_{bh} \end{bmatrix} = \frac{1}{e_\alpha^2 + e_\beta^2} \begin{bmatrix} e_\alpha & -e_\beta \\ e_\beta & e_\alpha \end{bmatrix} \begin{bmatrix} \tilde{p} \\ \tilde{q} \end{bmatrix} \quad (2.11)$$

โดยที่ $i_{\alpha h}$ และ $i_{\beta h}$ คือองค์ประกอบของกระแสฮาร์มอนิกบนแกน α และ β ตามลำดับ ค่ากระแสฮาร์มอนิกในรูปสเปซเวกเตอร์สามารถนำไปแปลงกลับเป็นกระแสฮาร์มอนิกในระบบ 3 เฟสตามสมการที่ (2.12)

$$\begin{bmatrix} i_{uh} \\ i_{vh} \\ i_{wh} \end{bmatrix} = \sqrt{\frac{2}{3}} \begin{bmatrix} 1 & 0 \\ -\frac{1}{2} & \sqrt{\frac{3}{2}} \\ -\frac{1}{2} & -\sqrt{\frac{3}{2}} \end{bmatrix} \begin{bmatrix} i_{\alpha h} \\ i_{\beta h} \end{bmatrix} \quad (2.12)$$

โดยที่ i_{uh} , i_{vh} และ i_{wh} คือค่าของกระแสฮาร์มอนิกในระบบ 3 เฟสของเฟส u v และ w ตามลำดับ หลักการคำนวณหาค่ากระแสฮาร์มอนิกตามวิธีการที่กล่าวมาข้างต้นสามารถสรุปเป็นแผนภาพได้ตามรูปที่ 2.6 ในกรณีที่โหลดมีความไม่สมดุล เราจะต้องมีหลักการเพิ่มเติมในการกำจัดกระแสความถี่มูลฐานซีควนซ์ลออกไปซึ่งจะไม่ขอกกล่าวถึงในที่นี้ อย่างไรก็ตามการตรวจจับกระแสฮาร์มอนิกโดยวิธีนี้ยังคงมีข้อจำกัดอยู่หลายประการคือ

- แรงดันแหล่งจ่ายต้องมีความสมดุล
- เมื่อมีฮาร์มอนิกอันดับต่ำในระบบ การกรองแยกเอาองค์ประกอบเหล่านั้นออกมาจากองค์ประกอบความถี่มูลฐานจะทำได้ยาก
- ไม่สามารถแยกตรวจจับเฉพาะบางฮาร์มอนิกได้



HPF = high-pass filter

รูปที่ 2.6 แผนภาพแสดงการตรวจจับกระแสฮาร์มอนิกโดยอาศัยทฤษฎีกำลังงานรีแอกทีฟขณะใดๆ

2.2.2 การตรวจจับกระแสฮาร์มอนิกโดยใช้วิธีวงจรถองบนแกนหมุน

การตรวจจับกระแสฮาร์มอนิกโดยวิธีการนี้เราสามารถที่จะตรวจจับกระแสฮาร์มอนิกทุกอันดับหรือตรวจจับเฉพาะอันดับที่ต้องการก็ได้

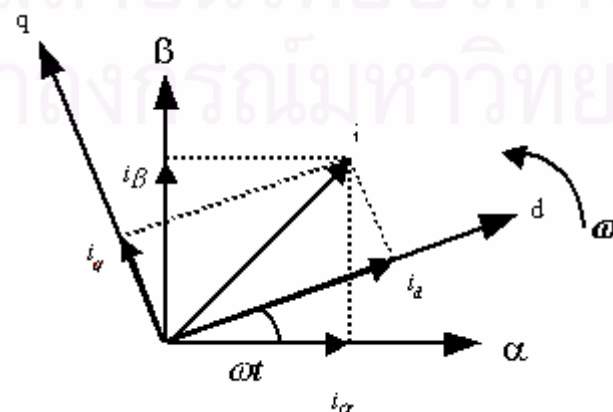
2.2.2.1 การตรวจจับกระแสฮาร์มอนิกทุกอันดับ

การตรวจจับกระแสฮาร์มอนิกด้วยวิธีนี้มีหลักการสำคัญคือต้องกรองเอาสัญญาณกระแสความถี่มูลฐานทิ้งไปและเก็บเอาไว้เฉพาะสัญญาณกระแสฮาร์มอนิก โดยจะเริ่มจากแปลงกระแส 3 เฟสไปเป็นสเฟซเวกเตอร์ จากนั้นจะแปลงกระแสสเฟซเวกเตอร์บนแกน $\alpha - \beta$ ไปอยู่บนแกนหมุน d-q ขององค์ประกอบความถี่มูลฐานดังแสดงในรูปที่ 2.7 การแปลงเวกเตอร์กระแสไปอยู่บนแกนหมุน d-q ที่ความถี่ 50 Hz สามารถทำได้โดยการคูณเวกเตอร์กระแสด้วย $e^{-j\omega t}$ เมื่อ ω คือค่าความถี่มูลฐานในหน่วย rad/s เราสามารถเขียนสมการการแปลงให้อยู่ในรูปสมการเมตริกซ์ได้ดังสมการที่ (2.13)

$$\begin{bmatrix} i_d \\ i_q \end{bmatrix} = \begin{bmatrix} \cos(\omega t) & \sin(\omega t) \\ -\sin(\omega t) & \cos(\omega t) \end{bmatrix} \begin{bmatrix} i_\alpha \\ i_\beta \end{bmatrix} \quad (2.13)$$

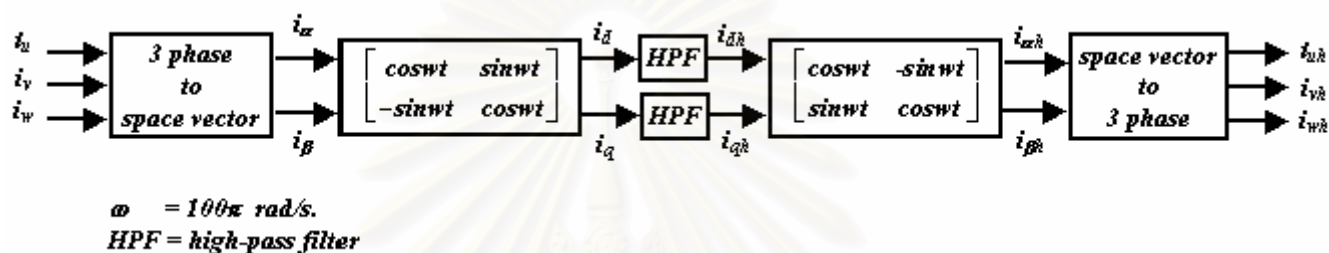
โดยที่ i_d และ i_q คือองค์ประกอบของกระแสบนแกนหมุน d และ q ตามลำดับ บนแกนหมุน d-q กระแสความถี่มูลฐานอันดับบวกจะกลายมาเป็นสัญญาณกระแสตรงส่วนกระแสฮาร์มอนิกอื่นๆจะกลายเป็นสัญญาณกระแสสลับ เราสามารถกรองแยกเอาเฉพาะสัญญาณกระแสสลับออกมาได้โดยใช้วงจรถองผ่านสูง จากนั้นจึงทำการแปลงกระแสบนแกน d-q กลับไปเป็นกระแสสเฟซเวกเตอร์บนแกน $\alpha - \beta$ โดยการคูณด้วย $e^{j\omega t}$ ซึ่งสามารถแสดงในรูปเมตริกซ์ดังสมการที่ (2.14)

$$\begin{bmatrix} i_{\alpha h} \\ i_{\beta h} \end{bmatrix} = \begin{bmatrix} \cos(\omega t) & -\sin(\omega t) \\ \sin(\omega t) & \cos(\omega t) \end{bmatrix} \begin{bmatrix} i_{dh} \\ i_{qh} \end{bmatrix} \quad (2.14)$$



รูปที่ 2.7 เวกเตอร์กระแสและแกนอ้างอิงซึ่งหมุนไปด้วยความถี่ 50 Hz

โดยที่ i_{dh} และ i_{qh} คือองค์ประกอบของกระแสฮาร์มอนิกบนแกนหมุน d และ q ตามลำดับ จากกระแสฮาร์มอนิกในรูปสเปซเวกเตอร์เมื่อแปลงกลับมาเป็นกระแสในระบบ 3 เฟสก็จะได้กระแสฮาร์มอนิกตามต้องการ ในกรณีที่โหลดมีกระแสความถี่มูลฐานซีควนซ์ลบบอยู่ด้วยเราก็ต้องใช้หลักการนี้เพื่อกรองเอาสัญญาณกระแสความถี่มูลฐานอันดับลบทิ้งไปโดยจะทำการแปลงไปอยู่บนแกนหมุนของกระแสความถี่มูลฐานอันดับลบแทนแล้วจึงกรองเอากระแสองค์ประกอบมูลฐานอันดับลบซึ่งจะเป็นกระแสตรงบนแกนหมุนทิ้งไป ขั้นตอนการตรวจจับกระแสฮาร์มอนิกในกรณีที่กระแสไม่มีองค์ประกอบความถี่มูลฐานอันดับลบแสดงโดยสรุปเป็นแผนภาพได้ดังรูปที่ 2.8 (สรรคัทธิพงษ์ โขมิตเกษม, 2540)



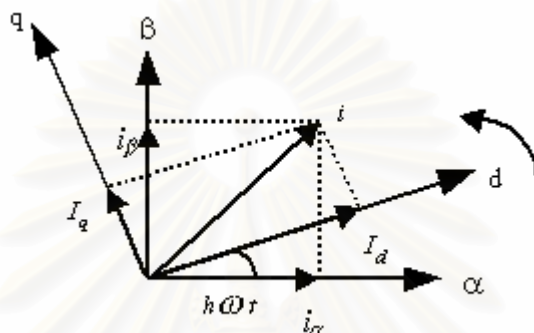
รูปที่ 2.8 แผนภาพแสดงการตรวจจับกระแสฮาร์มอนิกทุกอันดับโดยใช้วิธีวงจรงกรองบนแกนหมุน

โดยวิธีการนี้จะเห็นได้ว่าเรายังคงสามารถตรวจจับฮาร์มอนิกได้อย่างถูกต้องแม้ว่าแรงดันด้านแหล่งจ่ายจะมีฮาร์มอนิกหรือความไม่สมดุล อย่างไรก็ตามดีที่ความถี่ของระบบไฟฟ้าอาจมีการเปลี่ยนแปลงได้เล็กน้อยเสมอ ดังนั้นการแปลงแกนให้ได้ความถี่ตรงกับความถี่มูลฐานของระบบจริงย่อมต้องมีความผิดพลาดเกิดขึ้นซึ่งการตรวจจับก็จะเกิดความผิดพลาดขึ้นได้โดยมีค่าน้อยขึ้นอยู่กับความถี่ของการแปลงแกนและคุณลักษณะการกรองของวงจรงกรองผ่านสูงที่ใช้ ยิ่งวงจรงกรองผ่านสูงมีการเปลี่ยนแปลงอัตราขยายและเฟสมากในย่านความถี่ต่ำความคลาดเคลื่อนเมื่อความถี่ผิดเพี้ยนก็จะมาก เราอาจต้องมีการทำเฟสล็อกลูบเพื่อให้ได้ความถี่การแปลงแกนมีความถูกต้องมากขึ้น

การตรวจจับกระแสฮาร์มอนิกด้วยทฤษฎีกำลังงานรีแอกทีฟขณะใดๆซึ่งใช้แรงดันเป็นตัวคูณในการหาค่า p และ q นั้น ในความเป็นจริงแล้วก็จะมีความคล้ายคลึงกับการแปลงแกนนั่นเอง เพียงแต่ใช้เวกเตอร์แรงดันแทน $e^{j\omega t}$ ซึ่งจะทำให้ไม่เกิดปัญหาความถี่ ω ที่ใช้ในการแปลงแกนไม่ตรงกับความถี่ระบบกำลังแต่ก็จะมีปัญหาอื่นแทนดังได้กล่าวมาแล้ว การตรวจจับฮาร์มอนิกด้วยวิธีการหมุนแกนในกรณีที่ระบบมีฮาร์มอนิกอันดับต่ำป็นอยู่ก็ยังคงมีปัญหาเช่นเดียวกับการใช้ทฤษฎีกำลังงานรีแอกทีฟขณะใดๆคือการกรองแยกกระแสฮาร์มอนิกอันดับต่ำเหล่านั้นออกจากกระแสองค์ประกอบความถี่มูลฐานจะทำให้ยาก

2.2.2.2 การตรวจจับกระแสฮาร์มอนิกเฉพาะอันดับ (N. Nanaumi,1996) (A. Salem nia,1996)

การตรวจจับกระแสฮาร์มอนิกเฉพาะอันดับกระทำได้โดยแปลงกระแสใน 3 เฟสไปเป็นสเปซเวกเตอร์ จากนั้นเราจะแปลงสเปซเวกเตอร์ของกระแสไปอยู่บนแกนหมุนที่ความถี่ฮาร์มอนิกในอันดับและซีแควนซ์ที่ต้องการตรวจจับโดยการคูณด้วย $e^{-jh\omega t}$ เมื่อ h คืออันดับและซีแควนซ์ของฮาร์มอนิกที่ต้องการตรวจจับ (ยกตัวอย่างเช่น $h = -5$ หมายถึงฮาร์มอนิกที่ 5 ซีแควนซ์ลบ) และ ω คือค่าความถี่มูลฐาน ดังแสดงในรูปที่ 2.9 โดยสมการการแปลงแกนหมุนที่อยู่ในรูปเมตริกซ์แสดงได้ดังสมการที่ (2.15)



รูปที่ 2.9 เวกเตอร์กระแสและแกนอ้างอิง ซึ่งหมุนไปด้วยความถี่

1

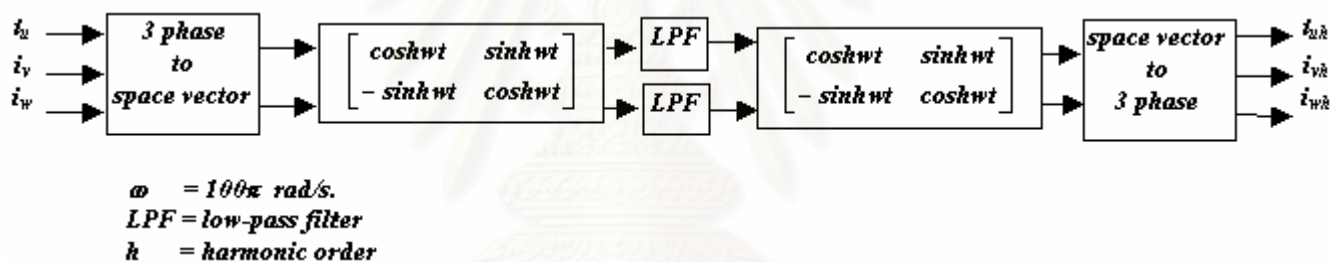
$$\begin{bmatrix} i_{d'} \\ i_{q'} \end{bmatrix} = \begin{bmatrix} \cos(h\omega t) & \sin(h\omega t) \\ -\sin(h\omega t) & \cos(h\omega t) \end{bmatrix} \begin{bmatrix} i_{\alpha} \\ i_{\beta} \end{bmatrix} \quad (2.15)$$

โดยที่ $i_{d'}$ และ $i_{q'}$ คือองค์ประกอบของกระแสบนแกน d' และ q' ซึ่งหมุนด้วยความถี่ฮาร์มอนิกอันดับที่ h ตามลำดับ เมื่อแปลงแกนกระแสแล้วกระแสฮาร์มอนิกที่มีอันดับและซีแควนซ์เดียวกับแกนหมุนจะกลายเป็นสัญญาณกระแสตรง ซึ่งเราจะกรองเอาสัญญาณส่วนนี้เก็บเอาไว้โดยใช้วงจรกรองผ่านต่ำ ส่วนกระแสฮาร์มอนิกอื่นๆรวมทั้งกระแสความถี่มูลฐานจะกลายเป็นองค์ประกอบกระแสสลับบนแกนหมุนนี้และจะถูกกรองทิ้งไป จากนั้นเราจึงทำการแปลงกระแสฮาร์มอนิกที่กรองเก็บไว้ได้ในรูปกระแสตรงกลับมาอยู่บนแกนนิ่งโดยใช้สมการที่ (2.16)

$$\begin{bmatrix} i_{d'h} \\ i_{q'h} \end{bmatrix} = \begin{bmatrix} \cos(h\omega t) & -\sin(h\omega t) \\ \sin(h\omega t) & \cos(h\omega t) \end{bmatrix} \begin{bmatrix} i_{d'h} \\ i_{q'h} \end{bmatrix} \quad (2.16)$$

โดยที่ $i_{d'h}$ และ $i_{q'h}$ คือองค์ประกอบของกระแสฮาร์มอนิกบนแกนหมุน d' และ q' ตามลำดับ จากนั้นจึงทำการแปลงสเปซเวกเตอร์ของกระแสฮาร์มอนิกไปเป็นกระแสฮาร์มอนิกในระบบ 3 เฟส ก็จะได้อะไรฮาร์มอนิกในอันดับและซีแควนซ์ที่ต้องการ หลักการคำนวณค่ากระแสฮาร์มอนิกตาม

มที่กล่าวมาสามารถสรุปเป็นแผนภาพได้ดังรูปที่ 2.10 การตรวจจับกระแสฮาร์มอนิกโดยวิธีนี้จะยังคงมีปัญหาในการกรองแยกเอาความถี่ ฮาร์มอนิกที่อยู่ใกล้กันออกมาได้ยากเช่นเดียวกับวิธีการตรวจจับโดยใช้ทฤษฎีกำลังงานรีแอกทีฟขณะใดๆ และวิธีการแปลงแกนหมุนแบบตรวจจับกระแสฮาร์มอนิกทุกอันดับ กล่าวคือ หากเราใช้วงจรกรองผ่านต่ำแบบอันดับ 1 เป็น $\frac{\omega_c}{s + \omega_c}$ เมื่อ ω_c คือความถี่หักมุม ถ้าเราใช้ความถี่หักมุมค่าสูงซึ่งจะทำให้การตรวจจับฮาร์มอนิกมีผลตอบสนองในสถานะชั่วคราวที่เร็วแต่การกรองทิ้งความถี่ที่อยู่ใกล้เคียงกับความถี่ที่จะตรวจจับและความถี่มูลฐานจะทำได้ไม่ดี ในขณะที่เมื่อใช้ความถี่หักมุมค่าต่ำการกรองทิ้งความถี่ที่ไม่ต้องการจะทำได้ดีแต่อย่างไรก็ตามตัวตรวจจับจะมีผลตอบสนองชั่วคราวที่ช้า ดังนั้นจากปัญหาที่กล่าวมาเราสามารถสรุปได้ว่าการตรวจจับฮาร์มอนิกโดยวิธีการใช้วงจรกรองบนแกนหมุนจะไม่สามารถมีคุณลักษณะที่ดีในการกรองแยกกระแสความถี่ที่ต้องการออกจากกระแสความถี่อื่นๆ พร้อมกันกับการมีผลตอบสนองชั่วคราวที่เร็วได้



รูปที่ 2.10 แผนภาพแสดงการตรวจจับกระแสฮาร์มอนิกอันดับที่ h โดยใช้วงจรกรองบนแกนหมุน

2.2.2.3 การตรวจจับกระแสฮาร์มอนิกด้วยวิธีรีเคอร์ซีฟดีเอฟที

นอกจาก 2 วิธีดังกล่าวข้างต้นการวิเคราะห์สเปกตรัมยังอาจทำได้ด้วยวิธีอื่น ซึ่งวิธีหนึ่งก็คือการทำ Recursive Discrete Fourier Transform (รีเคอร์ซีฟดีเอฟที) ซึ่งเป็นวิธีการตรวจจับกระแสฮาร์มอนิกสำหรับวงจรกรองกำลังแอกทีฟที่ใช้ในวิทยานิพนธ์นี้ วิธีรีเคอร์ซีฟดีเอฟทีที่มีคุณลักษณะที่ดีคือ

- ทำการคำนวณสเปกตรัมโดยเลือกทำเฉพาะบางความถี่
- มีการคำนวณที่ไม่มากและไม่ยุ่งยากซับซ้อน ถ้าเราทำการคำนวณค่าสเปกตรัมที่เฉพาะบางความถี่

- สามารถคำนวณได้ในแบบ Real-Time คือ สามารถคำนวณปรับค่า DFT ได้ทันทีหลังจากสุ่มค่าสัญญาณเข้ามาใหม่
- ตัวตรวจจับที่ได้เป็นฟังก์ชันเชิงเส้น สามารถหาฟังก์ชัน โอนย้ายเพื่อการวิเคราะห์ได้
- สามารถนำไปใช้กับวงจรกรองแอกทีฟทั้งแบบที่กำจัดฮาร์โมนิกทุกอันดับหรือเฉพาะบางอันดับก็ได้
- มีผลตอบสนองรวดเร็วและมีการปรับค่าสัญญาณขาออกทันทีที่มีการสุ่มข้อมูลกระแสเข้ามาใหม่
- ค่าที่ได้จากการทำรีเคอร์ซีฟดีเอฟทีจะเป็นสัญญาณกระแสฮาร์โมนิกที่ต้องการโดยตรง ซึ่งสามารถนำไปใช้เป็นการสังเคราะห์ได้

ในขณะที่วิธีการคำนวณ DFT ที่นิยมใช้กันมากคือเทคนิค Fast Fourier Transform (FFT) ซึ่งมีข้อแตกต่างจากวิธีรีเคอร์ซีฟดีเอฟทีดังนี้คือ

ข้อดีการวิเคราะห์สเปกตรัมด้วยการทำ FFT

- ให้ค่า Fourier Transform ของทุกสเปกตรัมอย่างแม่นยำ สามารถแยกแยะกระแสฮาร์โมนิกที่อยู่ใกล้กันได้ดี

ข้อด้อยการวิเคราะห์สเปกตรัมด้วยการทำ FFT

- มีการคำนวณที่มากและยุ่งยาก
- ผลลัพธ์จากการคำนวณที่ได้จะเป็นข้อมูลขนาดและเฟสของกระแสฮาร์โมนิกที่ต้องการกำจัด ไม่ใช่สัญญาณกระแสโดยตรง จึงต้องมีการคำนวณสร้างสัญญาณกระแสฮาร์โมนิกที่ต้องการจากข้อมูลเหล่านี้อีกหนึ่ง
- ตัวตรวจจับไม่เป็นเชิงเส้นยากต่อการวิเคราะห์
- มีผลตอบที่ค่อนข้างช้าคือประมาณ 2 คาบเวลาของความถี่มูลฐาน 50 Hz โดยใช้ 1 คาบแรกสำหรับเก็บข้อมูลและอีกประมาณ 1 คาบสำหรับการคำนวณและสร้างกระแสชดเชย

การตรวจจับกระแสด้วยวิธีรีเคอร์ซีฟดีเอฟทีมีหลักการและแนวคิดในการตรวจจับกระแสฮาร์โมนิก

ดังนี้คือ สัญญาณรายคาบแบบเวลาไม่ต่อเนื่องสามารถเขียนให้อยู่ในรูปผลรวมของเทอม $e^{j2\pi h k / N}$ โดยที่ $h = 0, 1, -1, 2, -2 \dots, N-1$ และ N คือจำนวนข้อมูลต่อคาบ ดังแสดงตามสมการที่ (2.17) ซึ่งก็คืออยู่ในรูปผลรวมขององค์ประกอบความถี่ต่างๆ

$$g(k) = \sum_{h=0}^{N-1} G_h e^{j2\pi h k / N} \quad (2.17)$$

เมื่อ G_h คือค่า DFT ของฮาร์มอนิกอันดับที่ h และ $g(k)$ เป็นสัญญาณเข้ามีคาบเท่ากับ N

สเปกตรัมของกระแสในระบบกำลัง 3 เฟสจะถูกสุ่มค่าเข้ามาและนำมาวิเคราะห์หาองค์ประกอบที่มีความถี่ต่างๆได้ด้วยวิธีการทำ DFT เราสามารถคำนวณ DFT ของสัญญาณรายคาบแบบเวลาไม่ต่อเนื่องได้ดังสมการที่ (2.18)

$$G_h = \frac{1}{N} \sum_{k=0}^{N-1} g(k) \cdot W^{-hk} \tag{2.18}$$

เมื่อ $W = e^{\frac{j2\pi}{N}}$

ในการวิเคราะห์สัญญาณที่ตรวจจับเข้ามาอย่างต่อเนื่องเราจะต้องทำการเลื่อนกรอบข้อมูล N จุดไปตามเวลาเพื่อนำข้อมูล ณ จุดเวลาใหม่มาใช้ เราสามารถหาค่า DFT ณ จุดเวลาที่ k ได้ดังสมการที่ (2.19) คือ

$$G_h(k) = \frac{1}{N} \sum_{i=0}^{N-1} g(k-i)W^{hi} \tag{2.19}$$

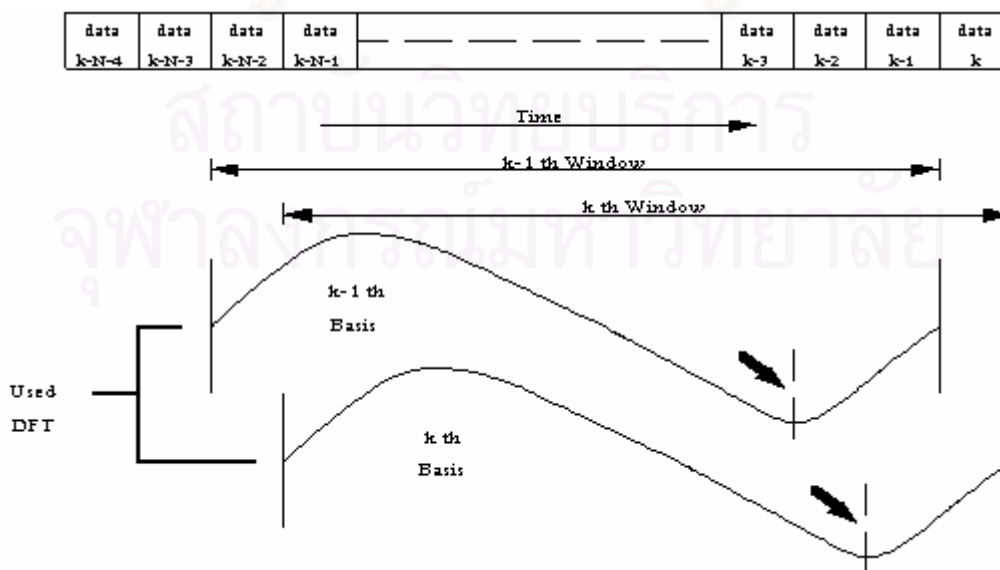
การทำ DFT ในลักษณะนี้เราเรียกว่า Running DFT ซึ่งจะวิเคราะห์ข้อมูลตั้งแต่จุดที่ $k-N+1$ จนถึงจุดปัจจุบันคือ k โดยเทียบกับสัญญาณอ้างอิงที่เลื่อนไปกับกรอบคือ W^{hi} ดังแสดงได้รูปที่ 2.11 จากสมการที่ (2.19) เราสามารถเขียนเป็นสมการรีเคอร์ซีฟ ได้ดังสมการที่ (2.20)

$$G_h(k) = \frac{1}{N} (g(k) - g(k-N)) + W^h G_h(k-1) \tag{2.20}$$

และหาฟังก์ชันโอนย้าย ใน z โดเมนได้ดังสมการที่ (2.19)

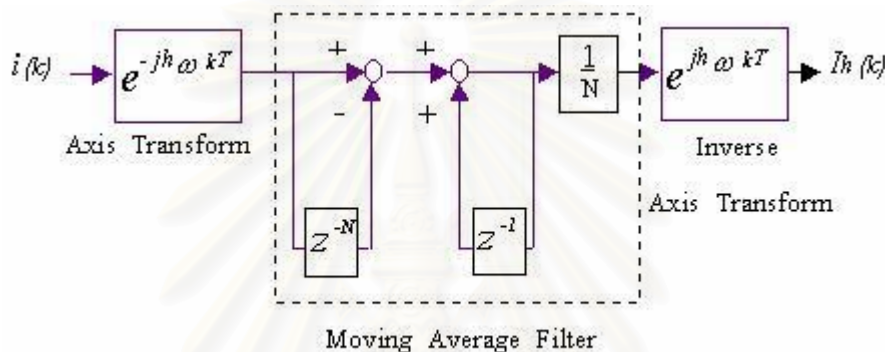
$$\hat{D}_h(z) = \frac{\hat{G}_h(z)}{\hat{g}(z)} = \frac{1}{N} \frac{1 - z^{-N}}{1 - W^h z^{-1}} \tag{2.21}$$

โดยที่ “ $\hat{\cdot}$ ” แสดงถึงตัวแปรหรือฟังก์ชัน โอนย้ายใน z โดเมน



รูปที่ 2.11 ลักษณะของสัญญาณอ้างอิงสำหรับการทำ DFT แบบที่ใช้ในวิทยานิพนธ์

เมื่อเราพิจารณาการทำรีเคอร์ซีฟดีเอฟที่ตามสมการที่ (2.21)แล้ว จะพบว่าตัวตรวจจับจะทำงานได้อย่างถูกต้องเมื่อขั้วและศูนย์อยู่บนวงกลมหนึ่งหน่วยพอดีและขั้วต้องตัดกับศูนย์พอดีที่ความถี่ที่ต้องการตรวจจับ ในกรณีของศูนย์ของ $1 - z^{-N}$ นั้นเราสามารถทำให้อยู่บนวงกลมหนึ่งหน่วยได้อย่างถูกต้อง แต่สำหรับขั้วของ $1 - W^{-h}z^{-1}$ อาจเกิดความคลาดเคลื่อนจากตำแหน่ง W^{-h} เนื่องจากสัมประสิทธิ์ W^{-h} เป็นตัวเลขอตรรกยะ ผลของความคลาดเคลื่อนนี้จะทำให้ผลตอบสนองต่อขนาดของฮาร์มอนิกที่ต้องการตรวจจับผิดพลาดไป เพื่อแก้ปัญหาคความคลาดเคลื่อนนี้ เราจะเปลี่ยนการคำนวณรีเคอร์ซีฟดีเอฟที่จากการคำนวณบนแกนนิ่งมาคำนวณบนแกนอ้างอิงซึ่งหมุนด้วยความถี่ฮาร์มอนิกแทน โดยมีการคำนวณดังแสดงในรูปที่ 2.12



รูปที่ 2.12 การทำรีเคอร์ซีฟดีเอฟที่บนแกนหมุน

โดยที่ $\omega = 100\pi \text{ rad/sec}$
 h คืออันดับของฮาร์มอนิกที่ต้องการตรวจจับ

เมื่อคำนวณรีเคอร์ซีฟดีเอฟที่บนแกนอ้างอิงหมุนแล้วเราสามารถเขียนฟังก์ชันโอนย้าย $\hat{D}'_h(z)$ บนแกนอ้างอิงหมุนได้ใหม่เป็นสมการที่ (2.22)

$$\hat{D}'_h(z) = \frac{1}{N} \frac{1 - z^{-N}}{1 - z^{-1}} \tag{2.22}$$

เราสามารถทำการคำนวณสมการที่(2.22)ได้โดยไม่มีความคลาดเคลื่อนของสัมประสิทธิ์เหมือนในกรณีของการคำนวณบนแกนนิ่ง

2.3 การคำนวณหาค่ากระแสฮาร์มอนิกแบบรีโวลูชันเฟสดีเฟสสำหรับระบบ 3 เฟส 4 สาย

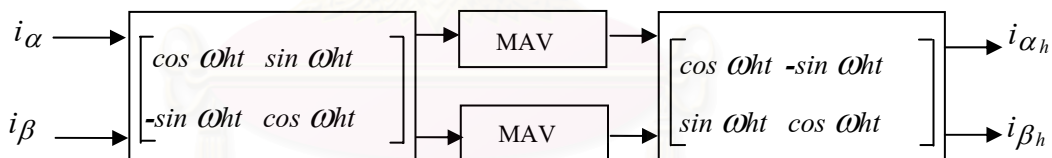
การตรวจจับและคำนวณกระแสฮาร์มอนิกสำหรับระบบ 3 เฟส 4 สายซึ่งมีโหลดไม่สมดุลจะแตกต่างจากระบบ 3 เฟส 3 สาย เนื่องจากจะมีกระแสไหลในสายนิวทรัลจึงต้องมีการตรวจจับกระแสฮาร์มอนิกในสายนิวทรัลด้วย ในระบบ 3 เฟส 4 สาย กระแสทั้ง 3 เฟสจะมีอิสระต่อกัน ไม่เหมือนกับกรณี 3 เฟส 3 สาย ดังนั้นการพิจารณาแปลงกระแส 3 เฟสไปเป็นกระแสในรูปสเปซเวกเตอร์ จึงต้องใช้สมการที่ (2.23) แทนสมการที่ (2.4)

$$\begin{bmatrix} i_\alpha \\ i_\beta \\ i_z \end{bmatrix} = \sqrt{\frac{2}{3}} \begin{bmatrix} 1 & -\frac{1}{2} & -\frac{1}{2} \\ 0 & \frac{\sqrt{3}}{2} & -\frac{\sqrt{3}}{2} \\ \frac{1}{\sqrt{2}} & \frac{1}{\sqrt{2}} & \frac{1}{\sqrt{2}} \end{bmatrix} \begin{bmatrix} i_u \\ i_v \\ i_w \end{bmatrix} \tag{2.23}$$

องค์ประกอบของสเปซเวกเตอร์กระแสในแกนอ้างอิง α, β, z จะถูกนำไปคำนวณเพื่อหาฮาร์มอนิกโดยวิธีรีโวลูชันเฟสดีเฟสต่อไป อย่างไรก็ตามวิธีรีโวลูชันเฟสดีเฟสที่มีการวิจัยมาก่อนหน้านี้จะสามารถประยุกต์ใช้กับระบบ 3 เฟส 3 สายเท่านั้น แต่ไม่สามารถนำมาใช้กับเวกเตอร์กระแสในสมการที่ (2.23) ได้โดยตรง เราจึงต้องพัฒนาวิธีรีโวลูชันเฟสดีเฟสที่ใช้ได้กับระบบ 3 เฟส 4 สายดังต่อไปนี้

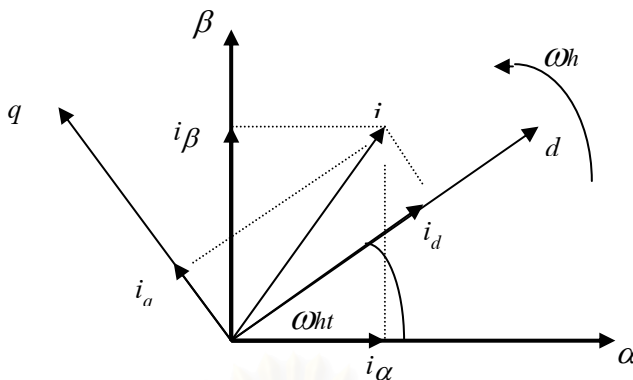
2.3.1 การคำนวณหาฮาร์มอนิกในกระแสเฟสด้วยวิธีรีโวลูชันเฟสดีเฟส

การคำนวณกระแสฮาร์มอนิกในสายเฟสมีวิธีการดังแสดงในรูปแบบตามรูปที่ 2.13



รูปที่ 2.13 บล็อกไดอะแกรมการคำนวณกระแสฮาร์มอนิกในสายเฟส

โดยเราจะนำสัญญาณกระแสที่ได้จากการแปลงเป็นสเปซเวกเตอร์ในองค์ประกอบ α, β มาทำการแปลงไปเป็นสัญญาณกระแสที่อ้างอิงกับแกนอ้างอิง d, q ที่หมุนด้วยความเร็วเท่ากับความเร็วฮาร์มอนิกดังที่แสดงในรูปที่ 2.14 และคำนวณได้ตามสมการที่ (2.24)



รูปที่ 2.14 การหมุนแกนเพื่อคำนวณฮาร์มอนิกในสายเฟส

$$\begin{bmatrix} i_d \\ i_q \end{bmatrix} = \begin{bmatrix} \cos \omega h t & \sin \omega h t \\ -\sin \omega h t & \cos \omega h t \end{bmatrix} \begin{bmatrix} i_\alpha \\ i_\beta \end{bmatrix} \tag{2.24}$$

การย้ายแกนอ้างอิงดังกล่าวจะทำให้องค์ประกอบฮาร์มอนิกที่เดิมมีความถี่เป็น $h\omega$ กลายเป็นสัญญาณไฟตรง ส่วนองค์ประกอบฮาร์มอนิกอื่นๆและองค์ประกอบมูลฐานก็จะกลายเป็นสัญญาณไฟสลับแทน

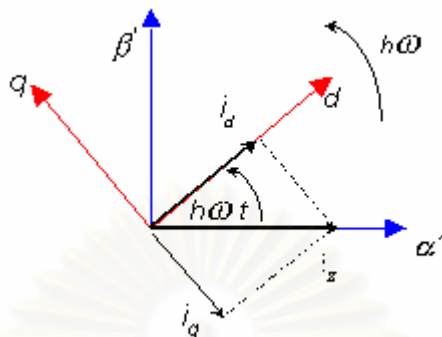
สัญญาณกระแส i_d, i_q ที่ได้ตามสมการที่ (2.24) จะถูกนำมาหาค่าเฉลี่ยโดยการผ่าน *Moving Average Filter (MAV)* เพื่อแยกเอาเฉพาะองค์ประกอบสัญญาณไฟตรงซึ่งก็คือขนาดขององค์ประกอบฮาร์มอนิกที่เราต้องการตรวจจับนั่นเอง ส่วนสัญญาณความถี่ฮาร์มอนิกอื่นรวมทั้งองค์ประกอบมูลฐานที่ไม่ต้องการตรวจจับจะถูกกรองทิ้งไปทั้งหมด ขนาดขององค์ประกอบฮาร์มอนิกที่ได้คือ i_{dh}, i_{qh} จะถูกนำมาแปลงกลับเป็นสัญญาณกระแสที่อ้างอิงกับแกนนิ่ง ได้เป็นสัญญาณกระแสฮาร์มอนิก $i_{\alpha h}, i_{\beta h}$ ดังแสดงในสมการที่ (2.25)

$$\begin{bmatrix} i_{\alpha h} \\ i_{\beta h} \end{bmatrix} = \begin{bmatrix} \cos \omega h t & -\sin \omega h t \\ \sin \omega h t & \cos \omega h t \end{bmatrix} \begin{bmatrix} i_{dh} \\ i_{qh} \end{bmatrix} \tag{2.25}$$

2.3.2 การคำนวณหาฮาร์มอนิกในสายนิวทรัล

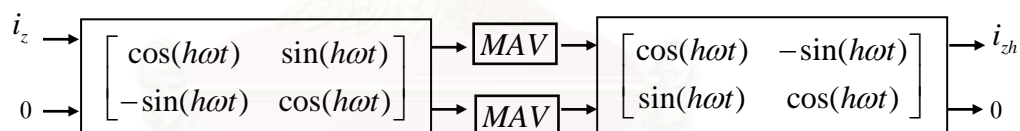
กระบวนการคำนวณหาค่ากระแสฮาร์มอนิกในสายนิวทรัลจะคล้ายกับกระบวนการคำนวณในสายเฟส แต่มีข้อแตกต่างกันคือสัญญาณเข้าซีเควนซ์ศูนย์มีเพียงองค์ประกอบเดียวคือ i_z ซึ่งเป็นส่วนของกระแสที่ไหลในสายนิวทรัลไม่ได้เป็นเวกเตอร์ที่มี 2 เป็นองค์ประกอบ จึงไม่สามารถใช้การคำนวณเหมือนกับกรณีกระแสเฟสได้ ในที่นี้เราจะพิจารณาว่ากระแส i_z เป็นสัญญาณกระแสในแนวแกน α' เท่านั้น (ดูรูปที่ 2.15) ดังนั้นเพื่อให้เราสามารถใช่วิธีการตรวจจับกระแสฮาร์มอนิกด้วยวิธีรีโวลต์เฟสที่เหมือนกับที่ใช้ในส่วนของกระแสเฟสได้ เราจึงต้องกำหนดให้

องค์ประกอบของสัญญาณเข้าอีกองค์ประกอบหนึ่งเป็นศูนย์ดังแสดงในรูปที่ 2.16 กล่าวคือเราจะมองเสมือนว่ากระแส i_z เป็นสเปซเวกเตอร์ $[i_z \ 0]^T$ แทน



รูปที่ 2.15 การหมุนแกนเพื่อคำนวณหาค่าฮาร์มอนิกในสายนิวทรัล

เมื่อทำการแปลงเวกเตอร์กระแส $[i_z \ 0]^T$ ไปเป็นสัญญาณกระแสบนแกนอ้างอิงที่หมุนด้วยความถี่ฮาร์มอนิกจะได้เป็นสัญญาณกระแส i_{zd} และ i_{zq} ตามลำดับ ซึ่งสัญญาณเหล่านี้จะถูกนำมาทำ *Moving Average* และแปลงกลับเป็นสัญญาณบนแกนอ้างอิงนิ่งเช่นเดียวกับการคำนวณฮาร์มอนิกในกระแสเฟสดังแสดงในรูปที่ 2.16 องค์ประกอบกระแสฮาร์มอนิก i_{zh} ที่คำนวณได้จะมีค่าอยู่บนแกน α' เท่านั้น

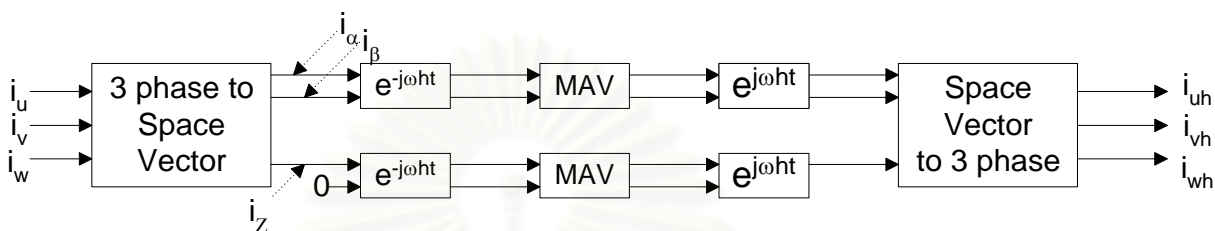


รูปที่ 2.16 บล็อกไดอะแกรมการคำนวณกระแสฮาร์มอนิกในสายนิวทรัล

สัญญาณกระแสฮาร์มอนิกที่ได้ทั้งหมดคือ i_{ah} , i_{bh} และ i_{zh} จะถูกนำมาแปลงกลับจากสเปซเวกเตอร์เป็นกระแสฮาร์มอนิก 3 เฟสที่ต้องการชดเชยโดยใช้เมตริกซ์ตามสมการที่ (2.26)

$$\begin{bmatrix} i_{cu}^* \\ i_{cv}^* \\ i_{cw}^* \end{bmatrix} = \sqrt{\frac{2}{3}} \begin{bmatrix} 1 & 0 & \frac{1}{\sqrt{2}} \\ -1 & \frac{\sqrt{3}}{2} & \frac{1}{\sqrt{2}} \\ -\frac{1}{2} & -\frac{\sqrt{3}}{2} & \frac{1}{\sqrt{2}} \end{bmatrix} \begin{bmatrix} i_{ah} \\ i_{bh} \\ i_{zh} \end{bmatrix} \quad (2.26)$$

โดยที่ i_c^* คือกระแสคำสั่งเพื่อชดเชยฮาร์มอนิก ข้อแตกต่างที่สำคัญอีกอันหนึ่งเมื่อเทียบกับระบบไฟฟ้า 3 เฟส 3 สายคือวงจรไฟฟ้ากำลังแบบ 3 เฟส 4 สายมักจะเป็นวงจรที่มีโหนดไม่สมดุลซึ่งทำให้เกิดกระแสฮาร์มอนิกในอันดับบวกและลบขึ้นพร้อมกันด้วย ดังนั้นการตรวจจับกระแสฮาร์มอนิกจะต้องตรวจจับทั้งส่วนที่เป็นกระแสฮาร์มอนิกอันดับบวกและกระแสอันดับลบพร้อมๆกัน บล็อกไดอะแกรมของการตรวจจับฮาร์มอนิกโดยรวมแสดงได้ดังรูปที่ 2.17

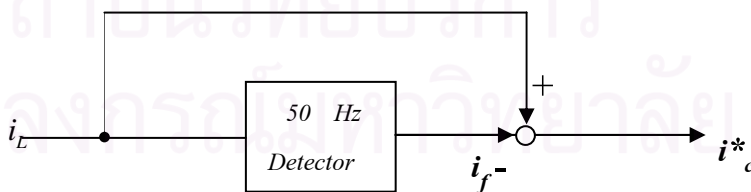


รูปที่ 2.17 ภาพรวมของการคำนวณกระแสฮาร์มอนิกสำหรับระบบ 3 เฟส 4 สาย

2.4 กระแสชดเชยฮาร์มอนิก

การกำจัดกระแสฮาร์มอนิกสามารถทำได้ทั้งแบบกำจัดหมดและแบบกำจัดเฉพาะบางอันดับของฮาร์มอนิก

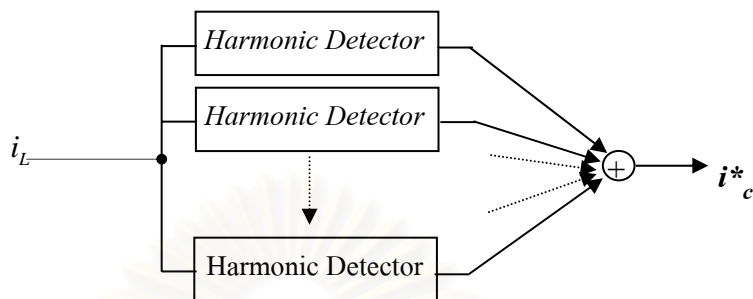
2.4.1 การชดเชยแบบกำจัดฮาร์มอนิกทั้งหมด การตรวจจับกระแสฮาร์มอนิกในกรณีนี้คือเราจะตรวจจับเฉพาะองค์ประกอบที่มีความถี่มูลฐาน กล่าวคือเราจะทำการแปลงสัญญาณสเปซเวกเตอร์บนแกน α, β ไปอยู่บนแกนอ้างอิง d, q ซึ่งหมุนด้วยความถี่ 50 Hz ดังแสดงในรูปที่ 2.15 โดยที่ $\omega = 100\pi \text{ rad/sec}$ สำหรับกระแสอันดับบวกและ $\omega = -100\pi \text{ rad/sec}$ สำหรับกระแสอันดับลบ องค์ประกอบของกระแสที่มีความถี่มูลฐานบนแกนหมุน d, q จะกลายเป็นสัญญาณไฟตรงซึ่งจะถูกแยกออกมาด้วยการคำนวณหา Moving Average สัญญาณที่ได้คือ i_f จะถูกนำมาลบออกจากกระแสโหนด i_f ส่วนที่เหลือก็จะเป็นกระแสฮาร์มอนิก i_c^* ดังแสดงในรูปที่ 2.18



รูปที่ 2.18 การคำนวณกระแสฮาร์มอนิกแบบกำจัด

2.4.2 การชดเชยแบบกำจัดฮาร์มอนิกเฉพาะบางอันดับ หลักการของการกำจัดฮาร์มอนิกในกรณีนี้ก็คือแยกการตรวจจับเฉพาะฮาร์มอนิกในแต่ละอันดับที่ต้องการกำจัดแล้วจึงนำสัญญาณที่ได้มารวมกัน

เป็นสัญญาณฮาร์มอนิกที่ต้องการกำจัดทั้งหมด โดยมีช่วงของฮาร์มอนิกที่ต้องการตรวจจับจะอยู่ระหว่างอันดับที่ 3 ถึง 19 การตรวจจับในกรณีนี้แสดงได้ดังรูปที่ 2.19



รูปที่ 2.19 การตรวจจับฮาร์มอนิกสำหรับการชดเชยเฉพาะบางอันดับ

สถาบันวิทยบริการ
จุฬาลงกรณ์มหาวิทยาลัย

บทที่ 3

การควบคุมแบบวิธีทำซ้ำและเสถียรภาพของการควบคุม

ในบทนี้เราจะนำเสนอการควบคุมกระแสชดเชยฮาร์มอนิกแบบวิธีทำซ้ำเนื่องจากสัญญาณที่ต้องการควบคุมเป็นสัญญาณไซน์หลายความถี่ปะปนกัน โดยจะกล่าวถึงโครงสร้างของตัวควบคุมแบบทำซ้ำและเสถียรภาพของวงรอบควบคุมกระแส ที่ายสุดจะแสดงผลการจำลองการทำงานเพื่อทดสอบคุณสมบัติของการควบคุมแบบวิธีทำซ้ำ

3.1 การสร้างและควบคุมกระแสชดเชย

วงจรกรองแอกทีฟจะมีวงจรถูกอินเวอร์เตอร์ทางด้านออกซึ่งทำหน้าที่ในการสร้างกระแสชดเชย i_c ตามกระแสคำสั่ง i_c^* ที่คำนวณมาได้เพื่อจ่ายเข้าไปหักล้างกับกระแสฮาร์มอนิกในระบบ ในวิทยานิพนธ์นี้เราจะใช้อินเวอร์เตอร์แบบควบคุมกระแส 3 เฟสที่มีสวิตช์ 6 ตัวและมีคาปาซิเตอร์เป็นตัวสร้างบัสไฟตรง อินเวอร์เตอร์จะต่อกับระบบไฟฟ้าผ่านตัวเหนี่ยวนำซึ่งใช้ในการสร้างกระแส ดังแสดงในรูปที่ 3.1 อินเวอร์เตอร์จะสร้างแรงดันออก v เพื่อเอาชนะแรงดันของแหล่งจ่าย 3 เฟส e เพื่อให้แรงดันตกคร่อมตัวเหนี่ยวนำเชื่อมโยงระบบมีค่าเพียงพอที่จะทำให้กระแสไหลเข้าสู่ระบบ 3 เฟสได้ตามต้องการตามสมการที่ (3.1) - (3.3) คำอธิบายข้างต้นสามารถแสดงเป็นแผนภาพได้ดังรูปที่ 3.2

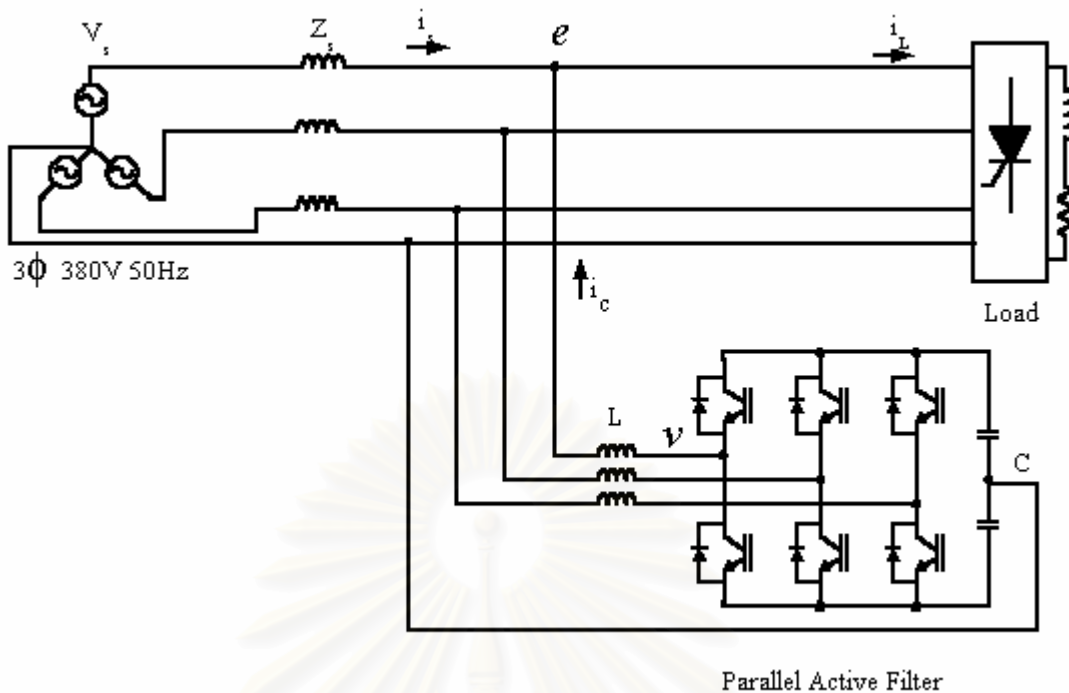
$$L \frac{di_{cu}}{dt} = v_u - e_u \quad (3.1)$$

$$L \frac{di_{cv}}{dt} = v_v - e_v \quad (3.2)$$

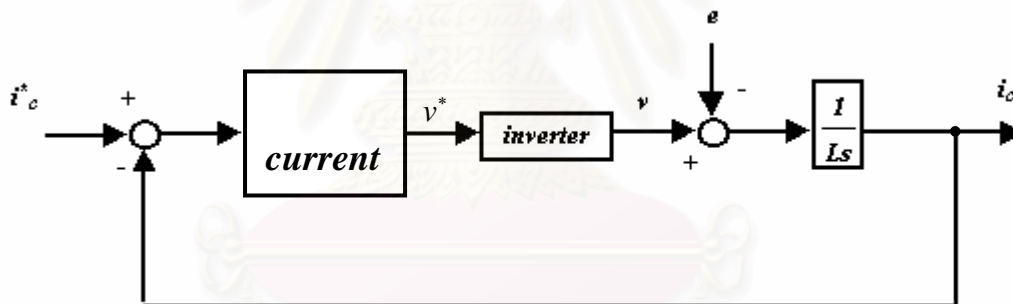
$$L \frac{di_{cw}}{dt} = v_w - e_w \quad (3.3)$$

โดยที่ i_c คือกระแสชดเชยจากวงจรกรองแอกทีฟ

L คือค่าตัวเหนี่ยวนำที่เชื่อมต่อกับอินเวอร์เตอร์เข้ากับระบบไฟฟ้า

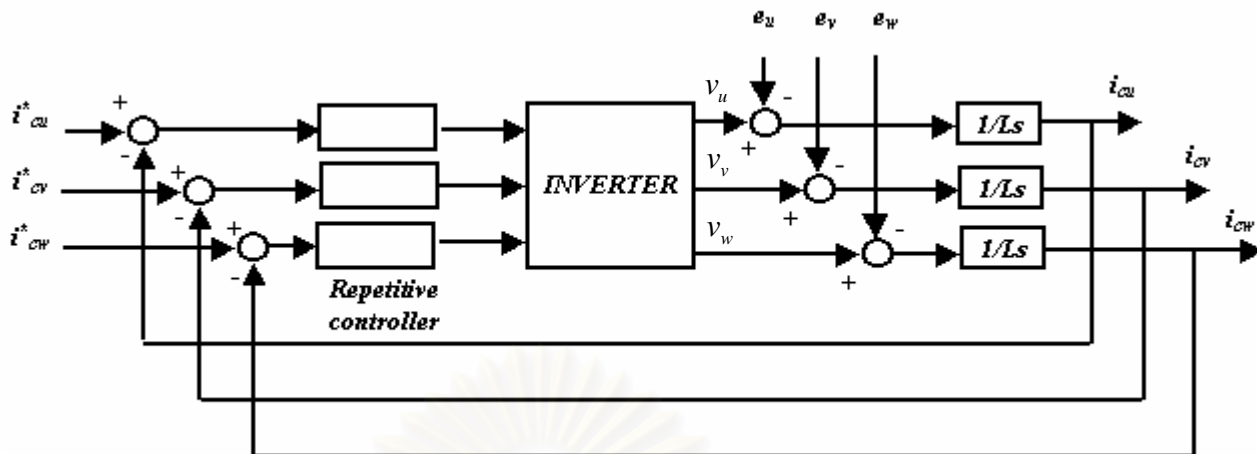


รูปที่ 3.1 การเชื่อมต่อวงจรกรองแอกทีฟเข้ากับระบบไฟฟ้า 3 เฟส



รูปที่ 3.2 แผนภาพแสดงวงรอบการควบคุมกระแส

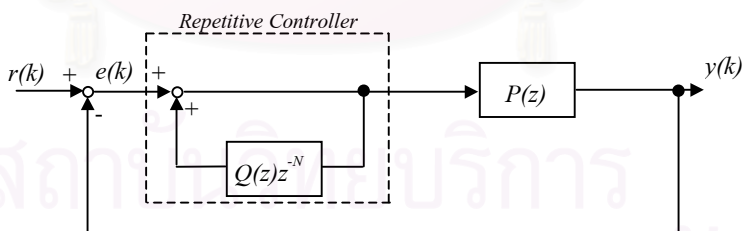
การสร้างกระแสชดเชยให้ได้ตามกระแสคำสั่งสามารถทำได้หลายแบบ แต่เนื่องจากกระแสคำสั่งของอินเวอร์เตอร์ประกอบด้วยสัญญาณไซน์หลายความถี่ปะปนกัน ถ้าเราใช้ตัวควบคุมกระแสแบบ PI กระแสที่สร้างได้จริงในสถานะอยู่ตัวจะผิดพลาดจากกระแสคำสั่ง อันเนื่องมาจากอัตราขยายของตัวควบคุมแบบ PI มีค่าจำกัดที่ความถี่ฮาร์มอนิก ในวิทยานิพนธ์นี้จะใช้การควบคุมกระแสแบบวิธีทำซ้ำ ซึ่งมีความเหมาะสมที่จะใช้ควบคุมสัญญาณคำสั่งที่มีลักษณะเป็นสัญญาณไซน์หลายความถี่ปะปนกัน ซึ่งมีหลักการดำเนินงานแสดงเป็นแผนภาพดังรูปที่ 3.3



รูปที่ 3.3 บล็อกไดอะแกรมแสดงการควบคุมกระแสวิธีทำซ้ำ

3.2 ตัวควบคุมแบบทำซ้ำ

ระบบควบคุมแบบทำซ้ำสามารถเขียนให้อยู่ในรูปบล็อกไดอะแกรมของระบบในเชิงเวลาไม่ต่อเนื่องได้ดังรูปที่ 3.4 โดยที่ $P(z)$ คือฟังก์ชันโอนย้ายของระบบซึ่งในที่นี้ก็คืออิมพีแดนซ์ที่เชื่อมโยงระหว่างวงจรกรองแอกทีฟกับสายกำลัง, $Q(z)$ คือ วงจรกรองผ่านต่ำเพื่อรักษาเสถียรภาพของวงรอบควบคุม, $r(k)$ คือสัญญาณอ้างอิง, $y(k)$ คือสัญญาณด้านออก, $e(k)$ คือความผิดพลาดที่เกิดขึ้นจากการตามรอย (สกุลรัตน์ ศิริพันธ์ โนน, 2543)



รูปที่ 3.4 ระบบควบคุมแบบทำซ้ำ

ฟังก์ชันโอนย้ายของระบบจากสัญญาณอ้างอิง $r(k)$ ไปยังค่าความผิดพลาด $e(k)$ เป็นไปตามสมการที่ (3.4)

$$H(z) = \frac{E(z)}{R(z)} = \frac{1}{1 + \frac{P(z)}{1 - Q(z) \cdot z^{-N}}} \quad (3.4)$$

โดยที่ $E(z)$, $R(z)$ คือผลการแปลง Z ของ $e(k)$ และ $r(k)$ ตามลำดับ กำหนดให้สัญญาณอ้างอิงมีคาบเป็น N หรือ $r(k) = r(k+N)$ สำหรับทุกค่า k ซึ่งสามารถเขียนให้อยู่ในรูปอนุกรมฟูรีเยร์ได้ดังสมการที่ (3.5)

$$r(k) = \sum_{h=0}^{N-1} c_h \cdot e^{j\left(\frac{2\pi h}{N}\right)k} \quad (3.5)$$

โดยที่ c_h คือสัมประสิทธิ์ของอนุกรมฟูรีเยร์ ดังนั้นเราสามารถพิจารณาผลตอบสนองเชิงความถี่ของสมการที่ (3.4) ที่ความถี่ ω ใดๆได้โดยการแทนค่าตามสมการที่ (3.6)

$$H(j\omega) = H(z) \Big|_{z=e^{j\omega T}} \quad (3.6)$$

ในกรณีที่ $Q(z) \neq 1$ และฟังก์ชันโอนย้าย $P(z)$ เสถียร เราจะได้ว่า

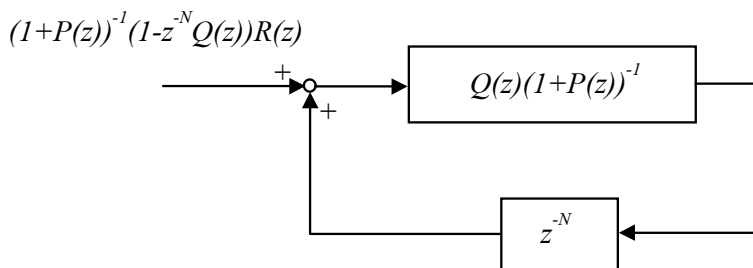
$$H\left(j\left(\frac{2\pi}{NT}\right) \cdot h\right) = 0, \quad h = 0, 1, \dots, N-1 \quad (3.7)$$

กล่าวคือ $H(j\omega)$ มีค่าเป็นศูนย์ที่ทุกๆความถี่ฮาร์มอนิก ดังนั้นจากสมการที่ (3.4) และ (3.7) จะพบว่าค่าความผิดพลาดที่เกิดจากสัญญาณอ้างอิงที่เป็นรายคาบจะถูกตัวควบคุมแบบทำซ้ำกำจัดหมดไป แต่อย่างไรก็ตามในทางปฏิบัติเราไม่สามารถที่ทำให้อินเวอร์เตอร์กำจัดค่าความผิดพลาดที่มีองค์ประกอบฮาร์มอนิกใดๆได้ทุกอันดับ เพราะเราต้องคำนึงถึงเงื่อนไขเสถียรภาพของระบบด้วยซึ่งจะทำให้เราต้องใส่วงจรกรองผ่านต่ำ $Q(z) \neq 1$ เข้าไปในวงรอบของการควบคุม ในกรณีที่ $Q(z)$ เป็นวงจรกรองผ่านต่ำ เราจะสามารถกำจัดค่าความผิดพลาดได้เฉพาะในส่วนที่มีความถี่อยู่ในย่านผ่านต่ำของวงจรกรอง $Q(z)$ เท่านั้น

การวิเคราะห์เสถียรภาพ

ในการวิเคราะห์เสถียรภาพระบบในรูปที่ 3.4 เราจะพิจารณาส่วนป้อนกลับที่เป็นวงรอบปิด จากรูปที่ 3.4 เราสามารถเขียนความสัมพันธ์ได้ดังสมการที่ (3.8)

$$E(z) = z^{-N}Q(z)(1+P(z))E(z) + (1+P(z))^{-1}(1-z^{-N}Q(z))R(z) \quad (3.8)$$



รูปที่ 3.5 ระบบควบคุมสมมูลของระบบควบคุมแบบทำซ้ำ

สมการที่ (3.8) สามารถเขียนเป็นบล็อกไดอะแกรมได้ดังรูปที่ 3.5 โดยอาศัยทฤษฎีอัตราขยายค่าเล็ก (Small Gain Theorem) เราจะพบว่าถ้า

$$1. (1 + P(z))^{-1} \text{ มีเสถียรภาพ และ} \quad (3.9)$$

$$2. \left| Q(z)(1 + P(z))^{-1} \right|_{z=e^{j\omega T}} < 1 \text{ สำหรับทุกค่า } \omega \quad (3.10)$$

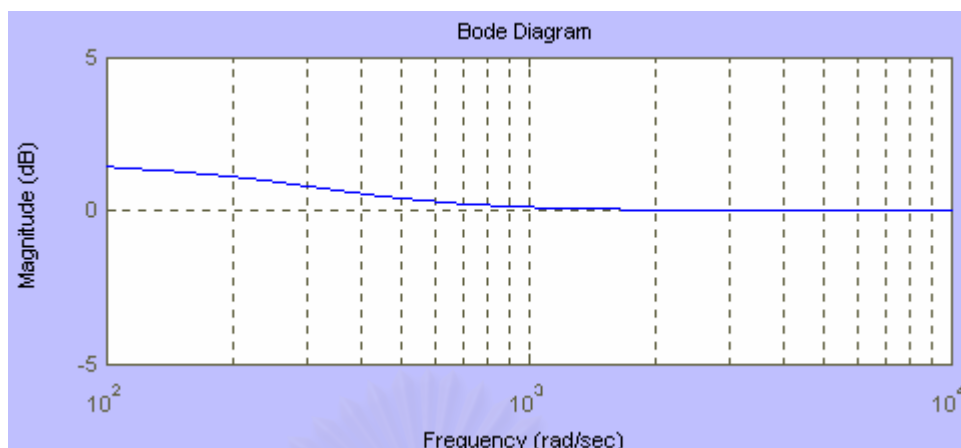
ระบบจะมีเสถียรภาพ (Shinji Hara et. al, 1988)

สมการที่ (3.10) สามารถเขียนใหม่ได้เป็น

$$\left| Q(z) \right|_{z=e^{j\omega T}} < \left| 1 + P(z) \right|_{z=e^{j\omega T}} \text{ สำหรับทุกค่า } \omega \quad (3.11)$$

สำหรับระบบในวิทยานิพนธ์นี้ $P(z) = zT/[z(L+rT)-L]$ เมื่อ L และ r เป็นค่าความเหนี่ยวนำ 18 mH และความต้านทาน 5 Ohm เชื่อมโยงระหว่างวงจรกรองแอกที่ฟักับสายกำลังตามลำดับ ดังนั้นผลตอบสนองเชิงความถี่ของ $|1 + P(z)|$ จึงเป็นดังรูปที่ 3.6 สมการ (3.11) ชี้ให้เห็นว่าถ้าเราเลือกวงจรกรองผ่านต่ำ $Q(z)$ ที่มีอัตราขยายต่ำกว่า $|1 + P(z)|$ ในทุกย่านความถี่ ระบบจะมีเสถียรภาพ ในทางตรงข้ามถ้าเลือกวงจรกรองผ่านต่ำ $Q(z)$ ที่มีอัตราขยายมากกว่า $|1 + P(z)|$ ที่ความถี่ใดความถี่หนึ่งระบบจะมีโอกาสขาดเสถียรภาพได้

จุฬาลงกรณ์มหาวิทยาลัย



รูปที่ 3.6 ผลตอบสนองเชิงความถี่ของ $1+P(z)$

วงจรกรองผ่านต่ำในระบบเวลาไม่ต่อเนื่องมีอยู่ 2 ประเภทคือแบบ IIR (Infinite Impulse Response) และแบบ FIR (Finite Impulse Response) ซึ่งในการที่จะรักษาเสถียรภาพของระบบนั้น เราสามารถเลือกใช้ได้ทั้ง 2 แบบ แต่เมื่อคำนึงถึงความต้องการกำจัดค่าความผิดพลาดให้หมดไป วงจรกรองผ่านต่ำแบบ IIR จะไม่เหมาะสมเนื่องจากสัญญาณที่ออกจากวงจรกรองผ่านต่ำแบบ IIR จะมีการเลื่อนเฟสแบบไม่เชิงเส้นทำให้รูปคลื่นสัญญาณที่ผ่านวงจรกรองเกิดความเพี้ยนไปจากสัญญาณเดิม ส่งผลให้ตัวควบคุมแบบทำซ้ำสร้างคำสั่งที่จะไปชดเชยผิดพลาด แต่ในกรณีที่เราเลือกใช้วงจรกรองผ่านต่ำแบบ FIR สัญญาณที่ออกจากวงจรกรองผ่านต่ำนี้จะมีเฟสเลื่อนไปเป็นแบบเชิงเส้นรูปคลื่นสัญญาณจึงยังคงเดิมเพียงแต่มีการล่าช้าทางเวลาเท่านั้น ซึ่งเวลาล่าช้าสามารถแก้ไขได้โดยการชดเชยเฟสในตัวควบคุมแบบทำซ้ำ ดังนั้นตัวควบคุมแบบทำซ้ำจะสามารถกำจัดค่าความผิดพลาดให้หมดไปได้อย่างมีประสิทธิภาพ ในที่นี้เราจึงเลือกใช้วงจรกรองผ่านต่ำแบบ FIR ซึ่งมีขั้นตอนในการออกแบบดังนี้

1. กำหนดลักษณะต่างๆของวงจรกรองผ่านต่ำ

cut off frequency, f_c 1000 Hz

sampling frequency, f_s 10 kHz

2. เลือกชนิดของ Window

การเลือกชนิดของ Window มีความสัมพันธ์กับค่า Stop Band attenuation ซึ่ง Window ที่นิยมใช้คือ Hamming Window ดังแสดงในสมการที่ (3.12)

$$w(n) = 0.54 + 0.46 \cos\left(\frac{2 * \pi * n}{M}\right) \quad (3.12)$$

โดยที่ $M =$ จำนวนสัมประสิทธิ์ของวงจรรอง

$$n: (-M/2) \leq n \leq (M/2)$$

ในที่นี้เราเลือกจำนวนสัมประสิทธิ์ของวงจรรองเป็น 10

3. คำนวณค่าสัมประสิทธิ์ของวงจรรองผ่านต่ำ

ค่าสัมประสิทธิ์ของวงจรรองผ่านต่ำสามารถคำนวณได้จากสมการที่ (3.13)

$$h(n) = h_d(n) * w(n) \quad (3.13)$$

$$\text{โดยที่ } h_d(n) = \begin{cases} \frac{\sin(2 * \pi * n * fc)}{n * \pi} & ; n \neq 0 \\ 2 * fc & ; n = 0 \end{cases} \quad (3.14)$$

เมื่อแทนค่าต่างๆลงในสมการ (3.13) ก็จะได้ค่าสัมประสิทธิ์ของวงจรรองผ่านต่ำทั้งหมดจำนวน 11 ตัว ซึ่งจะสมมาตรรอบจุด $h(0)$

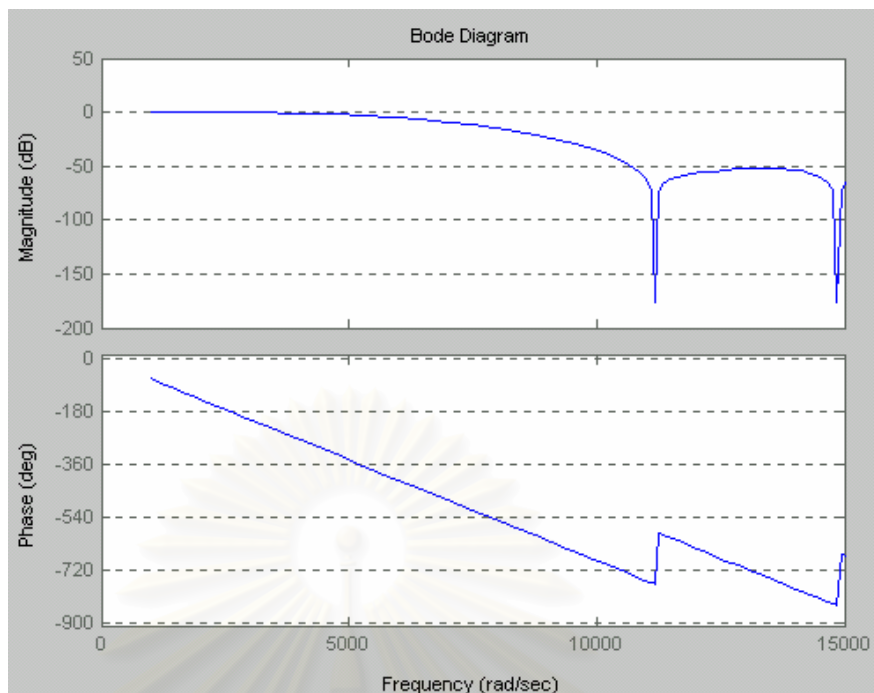
ฟังก์ชันโอนย้ายของวงจรรองแบบ FIR โดยทั่วไปจะมีรูปเป็นดังสมการที่ (3.15)

$$Q(z) = \sum_{-M/2}^{M/2} h(n) * z^{-n+M/2} \quad (3.15)$$

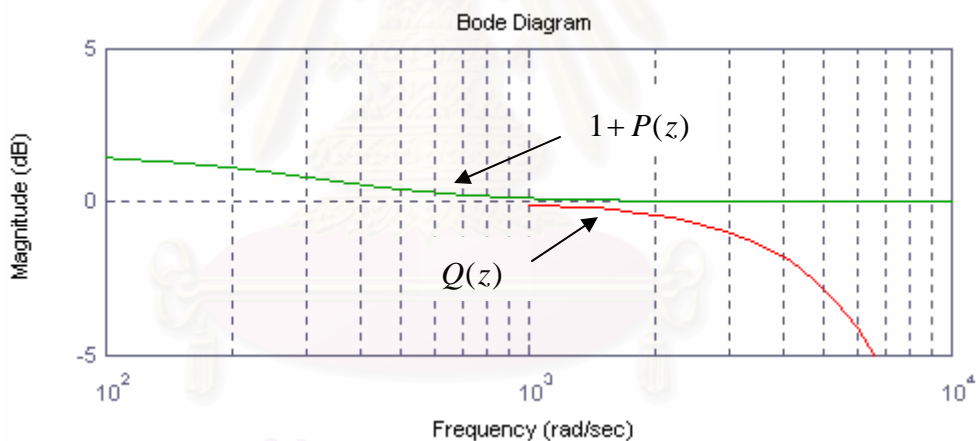
เมื่อแทนค่าสัมประสิทธิ์ที่คำนวณได้จากสมการที่ (3.14) ลงไปในสมการที่ (3.15) ก็จะได้สมการของวงจรรองผ่านต่ำที่เราออกแบบในสมการที่ (3.16)

$$\begin{aligned} Q(z) = & 0.0000 + 0.0078z^{-1} + 0.0401z^{-2} + 0.1033z^{-3} + 0.1707z^{-4} \\ & + 0.2000z^{-5} + 0.1707z^{-6} + 0.1033z^{-7} + 0.0401z^{-8} + 0.0078z^{-9} \\ & + 0.0000z^{-10} \end{aligned} \quad (3.16)$$

ผลตอบสนองเชิงความถี่ของวงจรรองในสมการที่ (3.16) แสดงได้ดังรูปที่ 3.7 ซึ่งเมื่อนำไปวิเคราะห์เสถียรภาพตามสมการที่ (3.11) จะได้ผลดังแสดงในรูปที่ 3.8



รูปที่ 3.7 ผลตอบสนองเชิงขนาดและเฟสของวงจรกรองผ่านต่ำแบบ Linear Phase



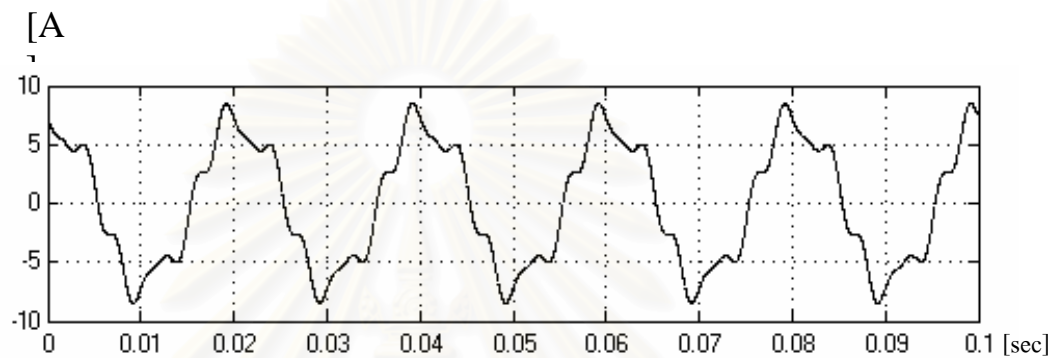
รูปที่ 3.8 แผนภาพโบเดของ $Q(z)$ และ $1 + P(z)$ เพื่อตรวจสอบเสถียรภาพของการควบคุมแบบ

จุพาลงกรณ์มหาวิทยาลัย

จากรูปที่ 3.8 เราพบว่าวงจรกรองผ่านต่ำ $Q(z)$ จะมีอัตราขยายต่ำกว่า $|1 + P(z)|$ ทุกย่านความถี่ ดังนั้นระบบจะมีเสถียรภาพ

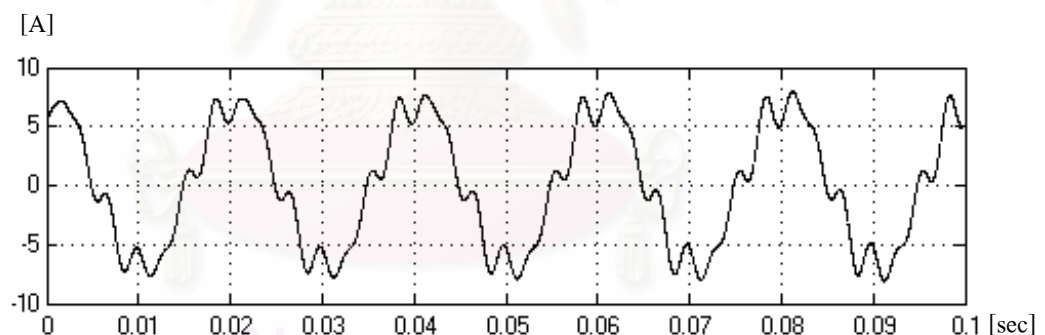
3.3 ผลการจำลองการทำงาน

เราจะตรวจสอบความถูกต้องของผลการวิเคราะห์นี้โดยการจำลองการทำงานด้วยโปรแกรม MATLAB with SIMULINK กำหนดเวลาในการสุ่มค่าเป็น $100 \mu s$ โดยการจำลองให้ระบบจ่ายกำลังให้กับโหลดแบบสามเฟสและโหลดแบบหนึ่งเฟสโดยโหลดหนึ่งเฟสต่อที่เฟส w กระแสที่โหลดเฟส w เป็นดังรูปที่ 3.9 และกำหนดความถี่ตัด (cut off frequency) ของวงจรกรองผ่านต่ำเป็น 1 kHz จะได้ผลของกระแสจากแหล่งจ่ายเฟส w เป็นดังรูปที่ 3.10



Time offset: 0.1

รูปที่ 3.9 รูปคลื่นกระแสโหลดเฟส w ที่ต้องการกำจัดฮาร์มอนิก

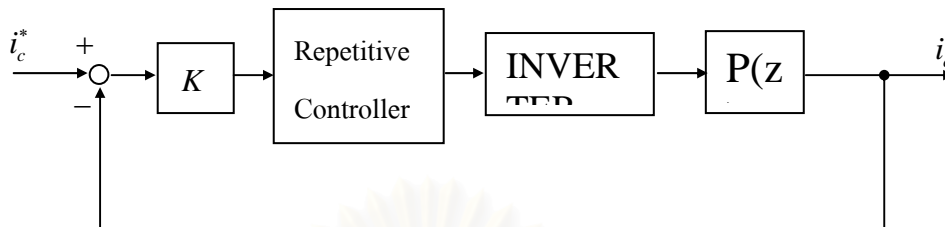


Time offset: 0.1

รูปที่ 3.10 รูปคลื่นกระแสจากแหล่งจ่ายเมื่อวงจรกรองแอกทีฟทำงาน โดยที่ความถี่ตัดของ $Q(z) = 1 \text{ kHz}$

จากผลการจำลองการทำงานพบว่ากระแสที่แหล่งจ่ายในรูปที่ 3.10 มีรูปร่างใกล้เคียงกับไซน์มากขึ้นแต่ยังคงมีฮาร์มอนิกปะปนอยู่ ทั้งนี้เป็นผลเนื่องมาจากวงจรกรองผ่านต่ำที่ใส่เพิ่มเข้าไปทำให้อัตราขยายของการควบคุมที่ย่านความถี่สูงมีค่าลดลง นั่นคือยังมีความผิดพลาดของการควบคุมอยู่ เราสามารถลดค่าความผิดพลาดของการควบคุมได้โดยการคูณค่าความผิดพลาดด้วยค่าคงที่ค่าหนึ่ง (K) เพื่อขยายค่าความผิดพลาดก่อนเข้าวงรอบของการควบคุมกระแส

แบบทำซ้ำ เมื่อเพิ่มค่าอัตราขยายนี้ วงรอบของการควบคุมกระแสก็จะเปลี่ยนไปเป็นดังรูปที่ 3.11 ดังนั้นสมการที่จะวิเคราะห์เสถียรภาพจึงต้องเปลี่ยนแปลงไปด้วย ดังแสดงในสมการที่ (3.17)



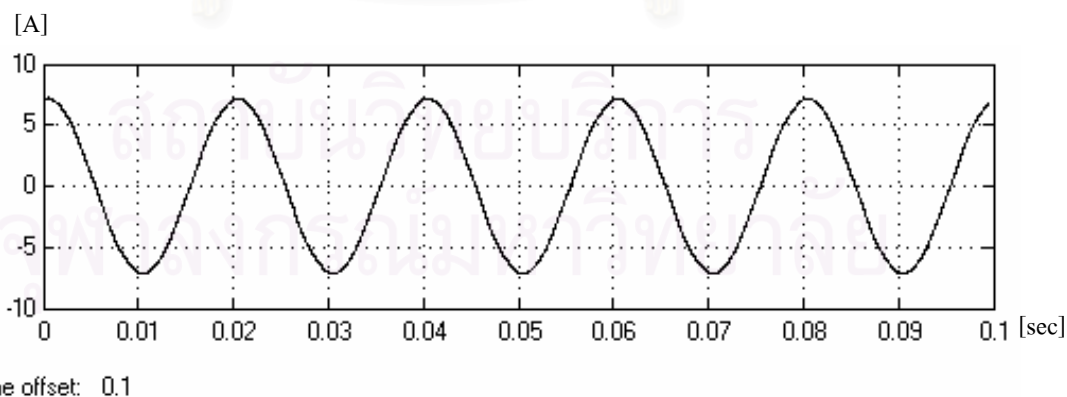
รูปที่ 3.11 วงรอบการควบคุมกระแสเมื่อเพิ่มค่าอัตราขยาย K

$$|Q(z)|_{z=e^{j\omega T}} < |1 + K * P(z)|_{z=e^{j\omega T}} \quad \text{สำหรับทุกค่า } \omega \quad (3.17)$$

อย่างไรก็ตาม การเพิ่มอัตราขยายสามารถเพิ่มได้ถึงค่าจำกัดค่าหนึ่งเท่านั้น เนื่องจากระบบควบคุมวงรอบปิดที่มีอัตราขยายสูงมากๆ จะขาดเสถียรภาพเพราะขั้วของระบบอาจอยู่นอกวงกลมหนึ่งหน่วยใน z -plane ได้

จากการวิเคราะห์เราพบว่าค่าของอัตราขยายสูงสุดที่สามารถนำมาใช้ได้สำหรับระบบ โดยที่การควบคุมยังคงมีเสถียรภาพคือ $K = 350$ แต่เพื่อความปลอดภัยในแง่เสถียรภาพ ในเชิงปฏิบัติเราจะเลือกใช้ค่า $K = 60$

เราจะจำลองการทำงานเพื่อเปรียบเทียบลักษณะของกระแสที่แหล่งจ่ายเมื่อเพิ่มค่าอัตราขยายให้กับวงรอบควบคุม โดยได้ผลการจำลองแสดงในรูปที่ 3.12



รูปที่ 3.12 รูปคลื่นกระแสจากแหล่งจ่ายเฟส w เมื่อ $K = 60$

จะเห็นได้ว่าเมื่อเพิ่มอัตราขยาย K เข้าไปตัวควบคุมกระแสจะมีอัตราขยายสูงขึ้น ทำให้ วงจรกรองแอกทีฟสร้างกระแสชดเชยได้ถูกต้องและกระแสแหล่งจ่ายจะมีเพียงองค์ประกอบความถี่ มุลฐานเท่านั้น



สถาบันวิทยบริการ
จุฬาลงกรณ์มหาวิทยาลัย

บทที่ 4

การออกแบบตัวควบคุม PI สำหรับควบคุมระดับแรงดันบัลไฟตรง และแรงดันจุดกึ่งกลางบัล

การควบคุมระดับแรงดันไฟตรงของอินเวอร์เตอร์ที่ใช้ในระบบ 3 เฟส 4 สาย นอกจากจะต้องควบคุมระดับแรงดันบัลทั้งหมดให้มีความเป็นไปตามที่ต้องการแล้วยังต้องควบคุมระดับแรงดันกึ่งบนและกึ่งล่างให้มีความเท่ากันด้วย ดังนั้นในบทนี้เราจะนำเสนอการออกแบบการควบคุมเป็น 2 ส่วนหลักๆ คือ

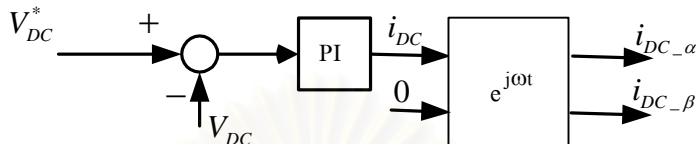
- 4.1 การควบคุมระดับแรงดันบัลไฟตรง
- 4.2 การควบคุมระดับแรงดันจุดกึ่งกลางบัล

4.1 การควบคุมระดับแรงดันบัลไฟตรง

จากทฤษฎีกำลังงานรีแอกทีฟขณะใด ๆ (ดูบทที่ 2) จะพบว่ากำลังงานส่วนที่ทำให้เกิดกระแสฮาร์มอนิกนั้นจะเป็นองค์ประกอบไฟสลับ (\bar{p} และ \bar{q}) ดังนั้นค่ากำลังงานที่ไหลเข้าออกจากอินเวอร์เตอร์ของวงจรกรองแอกทีฟใน 1 คาบเวลาจึงมีค่าเป็นศูนย์ ด้วยเหตุนี้เองส่วนของอินเวอร์เตอร์ที่ใช้ในวงจรกรองแอกทีฟจึงไม่จำเป็นต้องมีวงจรเรียงกระแสเพื่อจ่ายกำลังงานให้กับตัวเก็บประจุไฟตรงเหมือนอินเวอร์เตอร์ทั่วไป อย่างไรก็ตามวงจรอินเวอร์เตอร์ในทางปฏิบัติจะมีกำลังสูญเสีย อันเนื่องมาจากสาเหตุต่างๆ เช่น กำลังสูญเสียจากการสวิตช์ กำลังสูญเสียขณะนำกระแสของสวิตช์กำลัง ฯลฯ ทำให้แรงดันไฟตรงที่ตัวเก็บประจุมีค่าลดลงได้ ดังนั้นเราจึงมีความจำเป็นที่จะต้องดึงเอาพลังงานจากแหล่งจ่ายของการไฟฟ้าเข้ามาเพื่อชดเชยกำลังสูญเสียและทำให้เราสามารถควบคุมแรงดันไฟตรงให้มีความเฉลี่ยคงที่และสูงเพียงพอต่อการทำงานของอินเวอร์เตอร์ได้ โดยอินเวอร์เตอร์จะทำการสร้างแรงดันเพื่อให้อินเวอร์เตอร์สร้างกระแสที่มีความถี่มูลฐานที่มีเฟสเดียวกันกับแรงดัน เพื่อที่จะดึงพลังงานเข้าสู่ระบบ พลังงานที่ถูกดึงเข้าสู่ระบบจะถูกนำไปสะสมในตัวเก็บประจุทำให้ค่าระดับแรงดันบัลไฟตรงมีค่าสูงขึ้น ในขณะที่เดียวกันถ้าแรงดันบัลไฟตรงมีค่าสูงกว่าค่าที่กำหนด วงจรกรองแอกทีฟจะสร้างกระแสที่มีความถี่มูลฐานที่มีเฟสตรงกันข้ามกับแรงดัน เพื่อที่จะจ่ายพลังงานออกไปจากอินเวอร์เตอร์ทำให้แรงดันบัลไฟตรงมีค่าลดลง ดังนั้นเราสามารถเขียนส่วนการควบคุมแรงดันบัลไฟตรงได้ตามบล็อกไดอะแกรมที่แสดงในรูปที่ 4.1 โดยจะป้อนกลับค่าแรงดันบัลไฟตรง V_{dc} เปรียบเทียบกับค่าอ้างอิง V_{dc}^* และควบคุมผ่านตัวควบคุม PI ซึ่งจะกำหนดค่ากระแสคำสั่ง i_{DC} ที่จำเป็นในการควบคุมแรงดัน โดยกระแส i_{DC}

นี่จะเป็นองค์ประกอบในแนวแกน d เมื่อพิจารณาบนแกนหมุนที่ความถี่หลักมูล ซึ่งแนวแกน d นี้ ในทิศทางเดียวกันกับสเปซเวกเตอร์แรงดัน \vec{e} ค่ากระแสคำสั่งที่ใช้ในการควบคุมแรงดันบัลไฟตรงนี้จะถูกนำไปรวมกับกระแสฮาร์มอนิกที่คำนวณได้ก่อนหน้าเป็นกระแสคำสั่งสำหรับอินเวอร์เตอร์ต่อไป

(กิตติพนัน สิริพิสิสพิศาล, 2539)

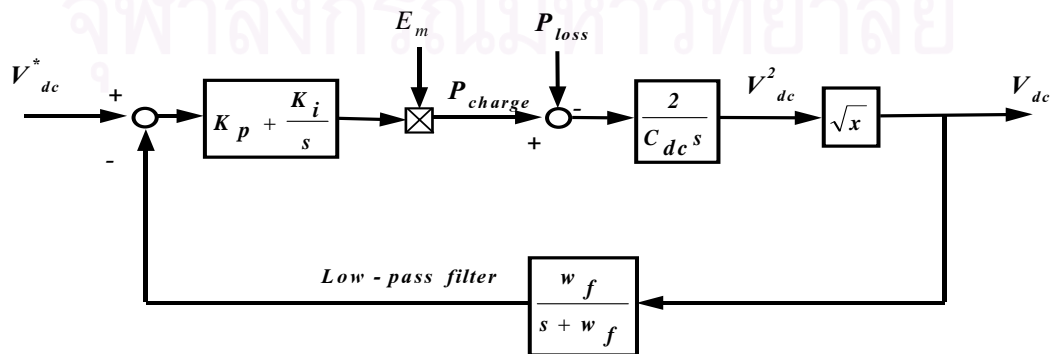


รูปที่ 4.1 บล็อกไดอะแกรมของส่วนควบคุมระดับแรงดันบัลไฟตรง

ในการออกแบบตัวควบคุม PI จะเริ่มจากการเขียนแบบจำลองทางคณิตศาสตร์ของตัวเก็บประจุเป็นบล็อกไดอะแกรมซึ่งเมื่อรวมกับบล็อกไดอะแกรมของส่วนควบคุม PI และวงจรกรองสัญญาณรบกวนแล้วสามารถแสดงได้ดังรูปที่ 4.2 โดยที่ในการเขียนแบบจำลองทางคณิตศาสตร์ของตัวเก็บประจุจะอาศัยสมการพลังงานดังแสดงในสมการที่ (4.1)

$$P_{charge} - P_{loss} = E_m(t)i_{dc}(t) = v_{dc}(t)C_{dc} \frac{dv_{dc}}{dt} = \frac{1}{2}C_{dc} \frac{d(v_{dc}^2)}{dt} \tag{4.1}$$

- โดยที่ P_{charge} คือ ค่ากำลังงานที่ไหลเข้าอินเวอร์เตอร์
- P_{loss} คือ ค่ากำลังงานสูญเสียต่าง ๆ ของอินเวอร์เตอร์
- i_{dc} คือ ค่ากระแสที่ไหลเข้าออกจากอินเวอร์เตอร์
- C_{dc} คือ ตัวเก็บประจุไฟตรง
- E_m คือ ขนาดของสเปซเวกเตอร์แรงดัน \vec{e} ของแหล่งจ่ายไฟ



รูปที่ 4.2 บล็อกไดอะแกรมของส่วนควบคุมแรงดันบัลไฟตรงที่ใช้ในการออกแบบ

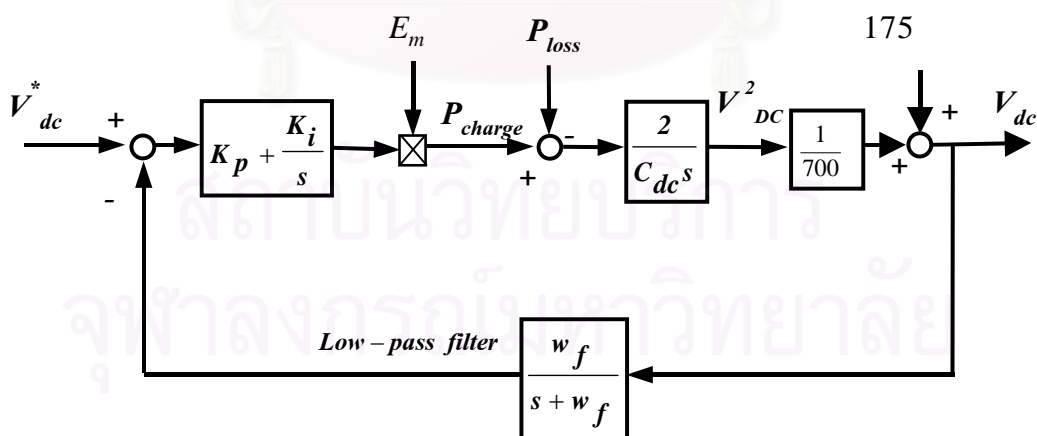
จากบล็อกไดอะแกรมจะพบว่ามีส่วนของการถดถากที่สองซึ่งเป็นส่วนที่ไม่เชิงเส้น ทำให้เกิดความยุ่งยากในการออกแบบ ดังนั้นเราจึงจะทำการประมาณระบบให้อยู่ในรูปแบบที่เป็นเชิงเส้น (linearization) ในช่วงการทำงานแคบ ๆ โดยจะใช้อนุกรมเทย์เลอร์ถึงอันดับที่ 1 ในการประมาณการถดถากที่สองให้เป็นความสัมพันธ์เชิงเส้น ณ จุดทำงานที่ $\sqrt{x_0} = v_{dc} = 350 \text{ V}$ ซึ่งสามารถแสดงดังนี้คือ

$$\begin{aligned}
 y(x) &= \sqrt{x} = \sqrt{x_0 + \Delta x} \approx \sqrt{x_0} + \left. \frac{d\sqrt{x}}{dx} \right|_{x=x_0} \cdot \Delta x \\
 &\approx \sqrt{x_0} + \frac{1}{2\sqrt{x_0}} \cdot \Delta x \\
 &\approx \sqrt{x_0} + \frac{1}{2\sqrt{x_0}} \cdot (x - x_0) \tag{4.2}
 \end{aligned}$$

เมื่อแทนค่า $\sqrt{x_0} = 350 \text{ V}$ ลงในสมการที่ (4.2) จะได้

$$\begin{aligned}
 y(x) &\approx 350 + \frac{1}{700}(x - 350^2) \\
 &\approx 175 + \frac{1}{700}x \tag{4.3}
 \end{aligned}$$

เมื่อประมาณเป็นเชิงเส้นแล้วสามารถเขียนเป็นบล็อกไดอะแกรมได้ดังรูปที่ 4.3 จากบล็อกไดอะแกรมสามารถเขียนฟังก์ชัน โอนย้ายวงรอบเปิดได้ดังสมการ (4.4)



รูปที่ 4.3 บล็อกไดอะแกรมของส่วนควบคุมระดับแรงดันบัสไฟตรงหลังจากประมาณเป็นระบบเชิงเส้น

ในการหาค่า K_p และ K_i เราจะพิจารณาจากบล็อกไดอะแกรมของระบบตามรูปที่ 4.3 ซึ่งจากรูป เราจะได้ฟังก์ชันโอนย้ายวงรอบเปิดซึ่งมีสมการเป็น

$$G_0(s) = \left(K_p + \frac{K_i}{s}\right) \times E_m \times \left(\frac{\omega_f}{s + \omega_f}\right) \times \left(\frac{1}{350C_{dc}s}\right) \quad (4.4)$$

โดยที่ค่าตัวแปรต่างๆ ของระบบมีค่าดังนี้คือ

$$C_{dc} = 1900 \mu\text{F} \quad , \quad \omega_f = 100\pi \text{ rad/s}$$

$$E_m = 380 \text{ V}$$

เมื่อพิจารณาในเรื่องของความเร็วในการตอบสนองแล้วเราไม่ควรออกแบบวงรอบควบคุมแรงดันบัลไฟตรงให้มีความเร็วในการตอบสนองถึงย่านความถี่ของฮาร์มอนิกเพราะจะทำให้กำลังงานรีแอกทีฟเนื่องจากกระแสฮาร์มอนิกไม่สามารถไหลเข้าสู่วงจรกรองแอคทีฟได้ซึ่งจะทำให้วงจรกรองแอคทีฟไม่ชดเชยฮาร์มอนิกในส่วนนี้ด้วย จากเหตุผลดังกล่าวในงานวิจัยนี้จึงออกแบบให้วงรอบการควบคุมแรงดันบัลไฟตรงมีค่าความเร็วในการตอบสนองประมาณ 2 วินาที ซึ่งทำได้โดยเลือกความถี่ตัดข้าม (cross over frequency) $\omega_0 = 0.5 \text{ rad/s}$ และเลือกค่าความถี่หักมุม

(corner frequency) ของตัวควบคุม PI $\omega_c = \frac{K_i}{K_p} = 0.2083 \text{ rad/s}$. ซึ่งเป็นค่าที่ให้ช่วงปลอดภัยเชิง

เฟส (phase margin) ที่เพียงพอสำหรับเสถียรภาพในการควบคุม และ ณ จุดความถี่ตัดข้าม ω_0 จะมีความสัมพันธ์ที่ว่า

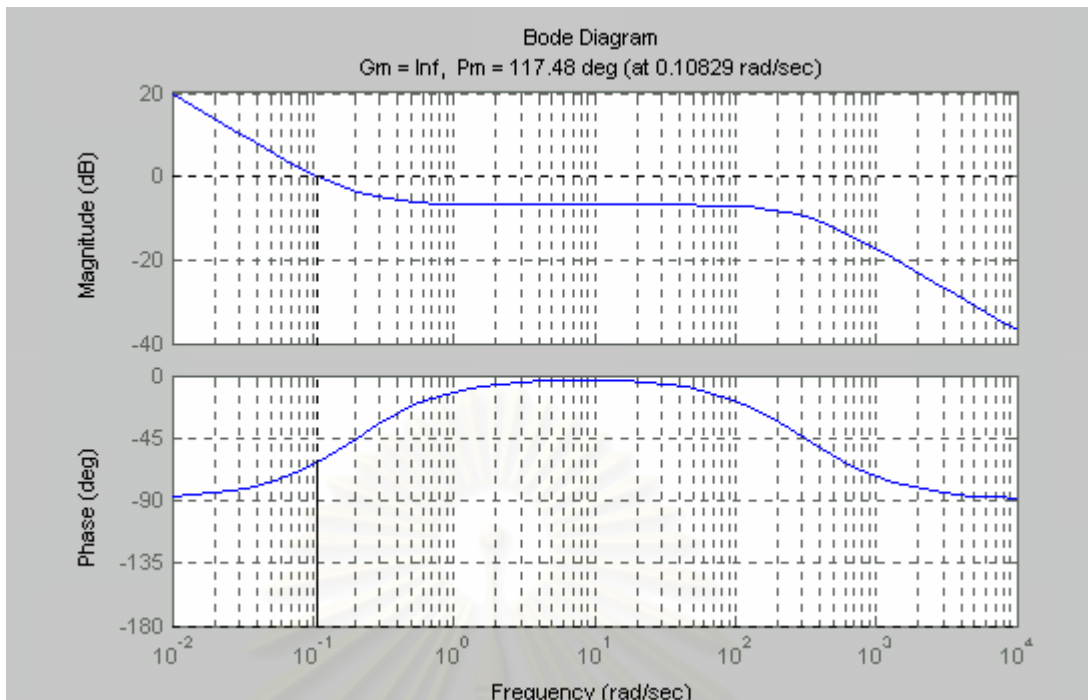
$$\left|G_0(j\omega_0)\right| = 1 \quad (4.5)$$

จากสมการที่ 4.5 และจากเงื่อนไข $\frac{K_i}{K_p} = 0.2083$ ทำให้สามารถหาค่า K_p และ K_i ได้เป็น

$$K_p = 8.077 \times 10^{-4}$$

$$K_i = 1.682 \times 10^{-4}$$

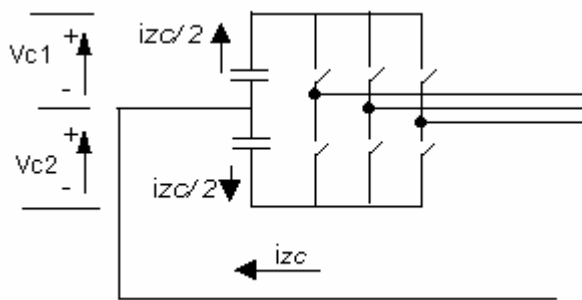
จากค่า K_p และ K_i ที่ได้เมื่อทำการเขียนแผนภูมิโบเดของฟังก์ชันโอนย้ายวงรอบเปิดดังรูปที่ 4.4 จะสามารถหาค่าช่วงปลอดภัยเชิงอัตราขยาย (gain margin) และช่วงปลอดภัยเชิงเฟสของระบบได้เป็นอนันต์ และ 117.48 องศา ตามลำดับ



รูปที่ 4.4 ช่วงพลอดกัยเชิงอัตราขยายและช่วงพลอดกัยเชิงเฟสของระบบควบคุมแรงดันบัสไฟตรง

4.2 การออกแบบส่วนควบคุมระดับแรงดันกึ่งกลางบัส

ในการใช้งานวงจรกรองแอกทีฟในระบบ 3 เฟส 4 สาย ซึ่งมีสายนิวทรัลต่ออยู่กับจุดกึ่งกลางบัส มีความเป็นไปได้แรงดันตกคร่อมตัวเก็บประจุตัวบนและตัวล่างจะมีค่าแตกต่างกันมากโดยอาจเกิดจากกระแสในสายนิวทรัลที่ไม่มีการควบคุม อันจะมีผลกระทบทำให้แรงดันที่สร้างขึ้นจากการทำงานของสวิตช์ตัวบนและตัวล่างมีค่าแตกต่างกันมากด้วย ดังนั้นเราจึงต้องทำการควบคุมแรงดันที่จุดกึ่งกลางบัสนี้ โดยการควบคุมการไหลของกระแสในสายนิวทรัล กำหนดให้ i_{zc} เป็นกระแสซีเวนซ์ศูนย์ที่ไหลเข้าที่จุดกึ่งกลางบัสไฟตรง กระแสนี้จะแยกไหลเป็น 2 ส่วนคือที่ตัวเก็บประจุตัวบนกับที่ตัวเก็บประจุตัวล่าง ดังรูปที่ 4.5



รูปที่ 4.5 การไหลของกระแสที่ศูนย์เพื่อควบคุมแรงดันจุดกึ่งกลางบัส

จากรูปที่ 4.5 จะได้ว่า

$$V_{c1} + V_{c2} = V_{dc} \tag{4.6}$$

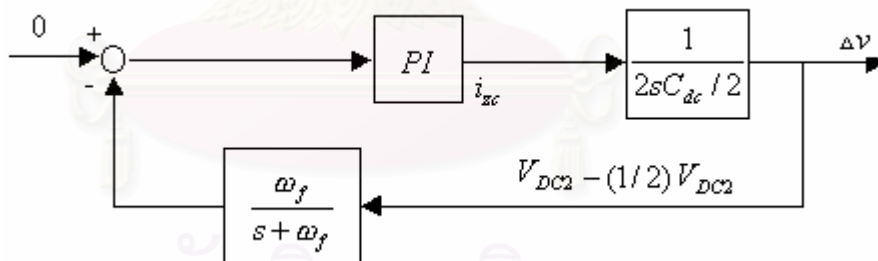
ถ้ากระแส i_{zc} ไหลเข้าดังรูป จะทำให้แรงดัน V_{c2} เพิ่มขึ้น Δv และแรงดัน V_{c1} ลดลง Δv ดังสมการ (4.7) และ (4.8)

$$V_{c1}' = V_{c1} - \Delta v \tag{4.7}$$

$$V_{c2}' = V_{c2} + \Delta v \tag{4.8}$$

$$\Delta v = \frac{1}{C} \int \frac{i_{zc}}{2} dt \tag{4.9}$$

โดยอาศัยสมการที่ (4.9) เมื่อเขียนบล็อกไดอะแกรมการควบคุมแรงดันจุดกึ่งกลางบัส จะได้ดังรูปที่ 4.6



รูปที่ 4.6 บล็อกไดอะแกรมของการควบคุมแรงดันจุดกึ่งกลางบัส

โดยที่ V_{DC2} คือแรงดันที่จุดกึ่งกลางบัส

$(1/2)V_{DC}$ คือค่ากึ่งหนึ่งของแรงดันบัสไฟตรง

$$\omega_f = 100\pi \text{ rad/s}$$

$$C_{dc} / 2 = 950 \mu F$$

เมื่อพิจารณาในเรื่องความเร็วในการตอบสนองของการควบคุมแรงดันจุดกึ่งกลางบัส เราไม่ควรออกแบบให้มีค่าเวลาในการตอบสนองที่เร็วเกินไปเพราะจะทำให้การจ่ายกระแสซึ่งควบคุมแรงดันจุดกึ่งกลางบัสที่เปลี่ยนค่าเร็วเกินไป ทำให้แรงดันที่สร้างโดยวงจรกรองแอกทีฟมีค่าแกว่งเร็วตามไปด้วย ในงานวิจัยนี้เราจึงเลือกค่าความเร็วในการตอบสนองประมาณ 1 วินาที โดยการเลือกความถี่ตัดข้าม(cross over frequency) ของฟังก์ชันโอนย้ายวงรอบเปิด $\omega'_o = 1$ rad/s และเลือกค่าความถี่หักมุม(corner frequency) ของตัวควบคุม PI $\omega'_c = \frac{K'_i}{K'_p} = 0.4167$ ซึ่งเป็นค่าที่ทำให้ช่วงปลอดภัยเชิงเฟสเพียงพอในการควบคุม

ในการหาค่า K'_p และ K'_i เราจะพิจารณาจากบล็อกไดอะแกรมของระบบตามรูปที่ 4.6 ซึ่งจากรูปเราจะได้ฟังก์ชันโอนย้ายวงรอบเปิดซึ่งมีสมการเป็น

$$G_1(s) = (K'_p + \frac{K'_i}{s}) \times (\frac{\omega_f}{s + \omega_f}) \times (\frac{1}{2sC}) \quad (4.10)$$

และ ณ จุดความถี่ตัดข้าม ω'_o จะได้ความสัมพันธ์ที่ว่า

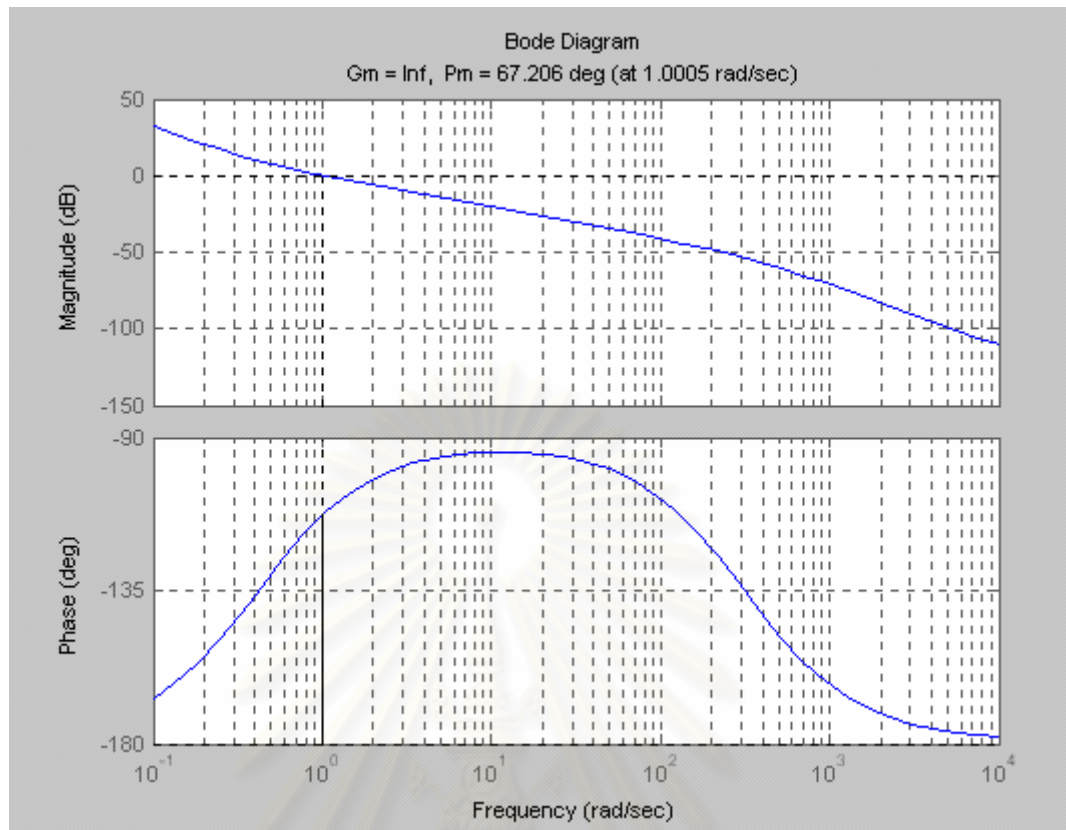
$$|G_0(j\omega_0)| = 1 \quad (4.11)$$

จากสมการที่ (4.10), (4.11) และ เงื่อนไข $\omega'_c = \frac{K'_i}{K'_p} = 0.4167$ ทำให้สามารถหาค่า K'_p และ K'_i ได้เป็น

$$K'_p = 0.007015$$

$$K'_i = 0.002923$$

จากค่า K'_p และ K'_i ที่ได้เมื่อทำการเขียนแผนภูมิโบเดของฟังก์ชันโอนย้ายวงรอบเปิดดังรูปที่ 4.7 จะสามารถหาค่าช่วงปลอดภัยเชิงอัตราขยาย(gain margin) และช่วงปลอดภัยเชิงเฟสของระบบได้เป็นอนันต์ และ 67.2 องศา ตามลำดับ



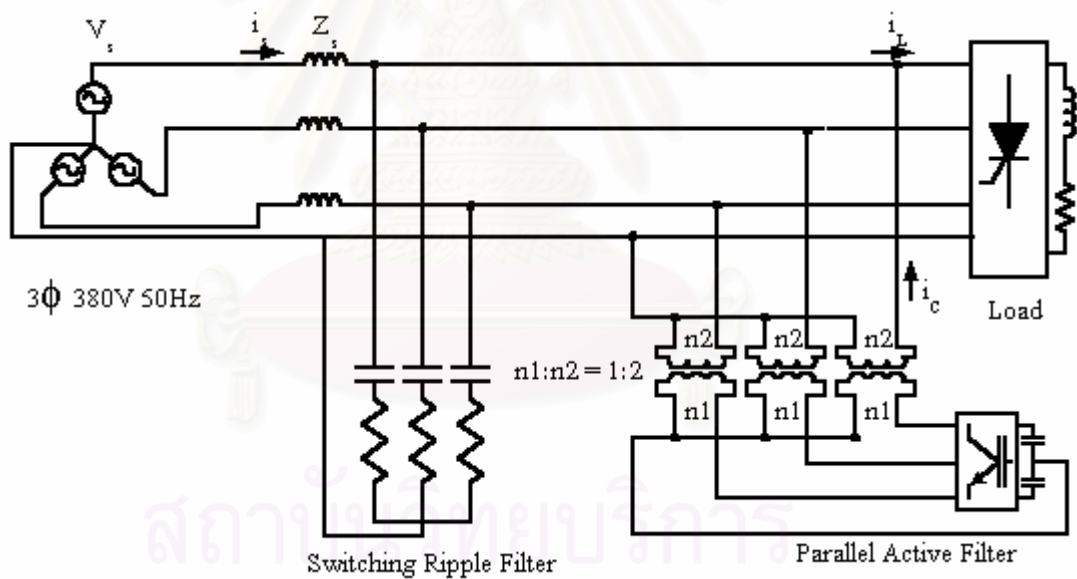
รูปที่ 4.7 ช่วงปลอดภัยเชิงอัตราขยายและช่วงปลอดภัยเชิงเฟสของระบบควบคุมแรงดันจุดกึ่งกลาง
บัสไฟตรง

สถาบันวิทยบริการ
จุฬาลงกรณ์มหาวิทยาลัย

บทที่ 5

โครงสร้างฮาร์ดแวร์และซอฟต์แวร์ของระบบ

บทนี้จะกล่าวถึงโครงสร้างทางด้านฮาร์ดแวร์และซอฟต์แวร์ของระบบ สำหรับโครงสร้างโดยรวมของระบบสามารถที่จะแสดงได้ดังรูปที่ 5.1 วงจรกรองกำลังแอกทีฟและวงจรกรองพาสซีฟ R-C สำหรับกรองระลอกคลื่นการสวิตช์จะต่อขนานอยู่ระหว่างแหล่งจ่ายและโหลด ในส่วนของวงจรกรองแอกทีฟเราจะอาศัยตัวเหนี่ยวนำขนาด 14 mH ร่วมกับค่าความเหนี่ยวนำรั่วไหลของหม้อแปลงแรงดันเฟสเดียว 3 ตัวเป็นอินพีแดนซ์เชื่อมต่อกับระบบกำลังของการไฟฟ้า อินเวอร์เตอร์แบบแหล่งจ่ายแรงดันในวงจรกรองกำลังแอกทีฟที่ใช้ในการสร้างกระแสชดเชยตามที่คำนวณได้จะเป็นอินเวอร์เตอร์ชนิดที่ไม่ต้องใช้ส่วนป้อนแรงดันไฟตรง (สรรธิพงษ์ โขมิตเกษม, 2540)



รูปที่ 5.1 โครงสร้างของวงจรกรองกำลังแอกทีฟแบบขนาน 3 เฟส 4 สาย

โครงสร้างโดยรวมของระบบจะประกอบด้วย 3 ส่วนหลักๆ ดังนี้คือ

1. ส่วนของระบบกำลัง
2. ส่วนของวงจรอินเวอร์เตอร์
3. ส่วนภาคการตรวจจับสัญญาณต่างๆและส่วนควบคุม

สำหรับรายละเอียดแต่ละส่วนของวงจรมานั้น เราจะทำการพิจารณาแยกเป็น 2 ส่วนคือส่วนของฮาร์ดแวร์และส่วนของซอฟต์แวร์ ดังจะได้กล่าวถึงในหัวข้อต่อไป

5.1 ฮาร์ดแวร์ของระบบ

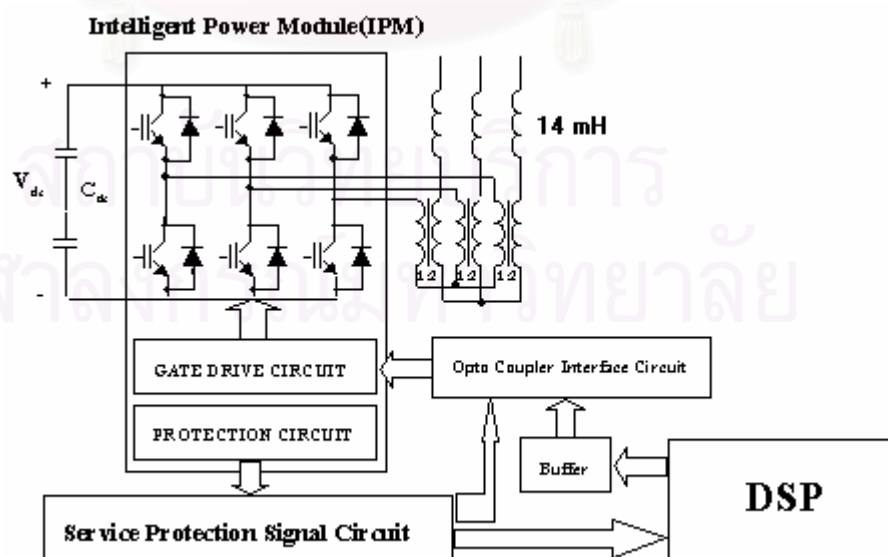
5.1.1 ส่วนของระบบกำลัง

- อิมพีแดนซ์ของแหล่งจ่าย (Zs) มีค่าเป็น 8.5 mH 3 ตัว
- วงจรกรองพาสซีฟ R-C สำหรับกรองระลอกคลื่นการสวิตช์ประกอบด้วยความต้านทานขนาด 125 Ω จำนวน 3 ตัวและตัวเก็บประจุไฟฟสลบขนาด 2.7 μF จำนวน 3 ตัว
- โหลดเป็นวงจรเรียงกระแสแบบบริดจ์ 3 เฟส ขนาด 1.5 kVA 1 ชุด ที่มีโหลดเป็นตัวต้านทาน 70 Ω และตัวเหนี่ยวนำขนาด 10 mH และโหลดที่เป็นวงจรเรียงกระแสแบบบริดจ์ 1 เฟส ขนาด 0.25 kVA ที่มีโหลดเป็นตัวต้านทานขนาด 200 Ω และตัวเหนี่ยวนำขนาด 175 mH

5.1.2 ส่วนของวงจรอินเวอร์เตอร์

รายละเอียดของวงจรแสดงได้ดังรูปที่ 5.2 โดยมีส่วนต่างๆ ดังนี้คือ

- หม้อแปลงแรงดันเฟสเดียว 3 ตัว อัตราส่วนจำนวนรอบเป็น 2 : 1
- ตัวเก็บประจุไฟตรง (C_{dc}) ขนาด 1900 μF พิกัดแรงดัน 800 V
- Intelligent Power Module (IPM) ขนาดพิกัด 1200V 15A ภายในประกอบด้วย
 1. ชุดสวิตช์กำลังพร้อมไดโอด 6 ชุด
 2. ชุดขั้วนำเกตของ IGBT 6 ชุด โดยที่ 3 ชุดบนจะใช้แหล่งจ่ายไฟแยกกันส่วน 3 ชุดล่างจะใช้แหล่งจ่ายไฟชุดเดียวกัน
 3. ชุดวงจรป้องกัน
- Opto Coupler Interface Circuits
- Buffer



รูปที่ 5.2 โครงสร้างของวงจรอินเวอร์เตอร์และส่วนวงจรควบคุมของวงจรกรองแอกทีฟ

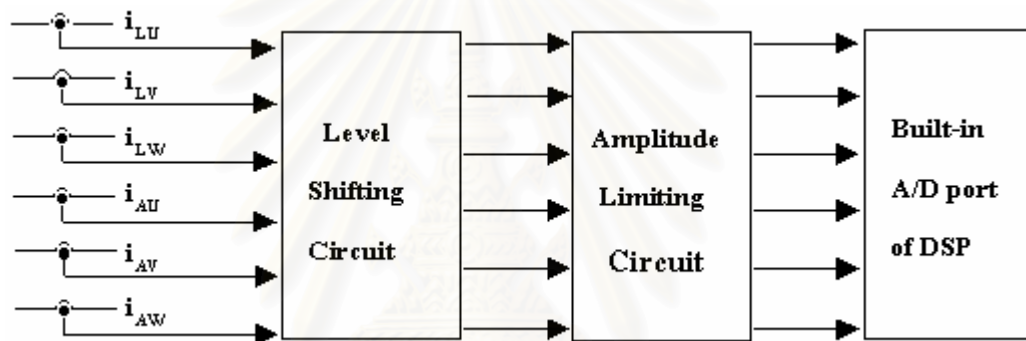
5.1.3 ส่วนการตรวจจับสัญญาณต่างๆ และส่วนควบคุม

วงจรในส่วนนี้จะแยกเป็น 3 ภาคคือภาคการตรวจจับสัญญาณ ภาคการควบคุมและภาคการป้องกัน

5.1.3.1 ภาคการตรวจจับสัญญาณต่างๆ ประกอบด้วย

ก) ส่วนตรวจจับกระแส

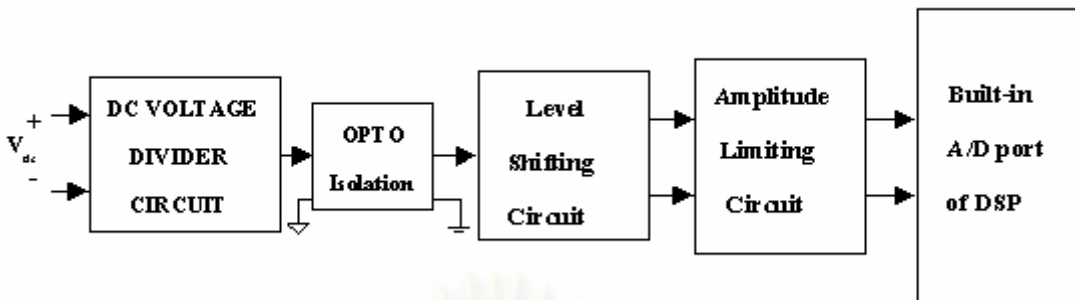
ส่วนนี้ตรวจจับกระแสในระบบเพื่อใช้ในการคำนวณหาฮาร์มอนิกและเพื่อใช้ในการควบคุมกระแสของอินเวอร์เตอร์ โดยจะทำการตรวจจับกระแสทั้งหมด 6 จุด ดังแสดงในรูปที่ 5.3 ชุดตรวจจับกระแส จะทำการวัดกระแสทางด้านโหลดและกระแสที่จ่ายโดยอินเวอร์เตอร์ทั้ง 3 เฟส โดยใช้ตัวตรวจจับกระแสตรง (DC-CT) ค่ากระแสที่วัดได้จะถูกนำไปปรับระดับและจำกัดขนาดก่อนจะถูกส่งไปยังพอร์ตของตัวประมวลผลดิจิทัล ซึ่งทำหน้าที่แปลงสัญญาณแอนะล็อกเป็นดิจิทัล



รูปที่ 5.3 ส่วนตรวจจับสัญญาณกระแส

ข) ส่วนตรวจจับแรงดันบัสไฟตรง

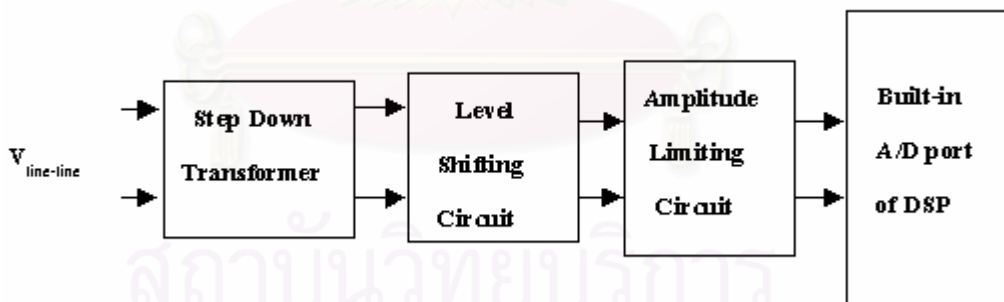
อินเวอร์เตอร์ที่ใช้เป็นชนิดที่ไม่ต้องใช้ส่วนป้อนแรงดันไฟตรงและจะมีการตรวจจับแรงดันบัสมาใช้ในการควบคุมการสร้างแรงดันส่วนนี้ นอกจากนี้ยังมีการตรวจจับแรงดันไฟตรงที่จุดกึ่งกลางบัสเพื่อควบคุมให้แรงดันไฟตรงระหว่างกึ่งกลางบัสบนและกึ่งกลางบัสล่างมีขนาดแรงดันเท่ากัน การตรวจจับแรงดันบัสไฟตรงทั้งสองส่วนจะทำโดยการรับค่าแรงดันบัสไฟตรงมาทำการทอนระดับแรงดันให้มีค่าระดับแรงดันที่ต่ำลง จากนั้นทำการแยกโดดทางไฟฟ้าด้วย opto isolator ค่าที่ได้จะนำไปปรับระดับและจำกัดขนาดก่อนจะถูกส่งไปยังพอร์ตของ DSP ซึ่งทำหน้าที่แปลงสัญญาณแอนะล็อกเป็นดิจิทัลดังแสดงในรูปที่ 5.4



รูปที่ 5.4 วงจรตรวจจับแรงดันบัสไฟตรงและแรงดันจุดกึ่งกลางบัส

ค) ส่วนตรวจจับแรงดันไฟสลับ

เราจะทำการวัดแรงดันไฟสลับระหว่างสาย ($V_{line-line}$) จำนวน 2 จุดคือ แรงดันไฟสลับระหว่างเฟส U-V และแรงดันไฟสลับระหว่างเฟส V-W โดยการวัดแรงดันผ่านหม้อแปลง ซึ่งนอกจากจะทำหน้าที่แปลงระดับแรงดันให้ต่ำลงแล้วยังเป็นตัวแยกโคจรทางไฟฟ้าระหว่างวงจรภาคไฟฟ้ากำลังกับวงจรส่วนตรวจจับสัญญาณ ค่าที่ได้จะถูกนำไปปรับระดับและจำกัดขนาดก่อนจะถูกส่งไปยังพอร์ตของ DSP ซึ่งทำหน้าที่แปลงสัญญาณแอนะล็อกเป็นดิจิทัลดังแสดงในรูปที่ 5.5



รูปที่ 5.5 วงจรตรวจจับแรงดันไฟสลับ

5.1.3.2 ภาคการควบคุม

ส่วนนี้ประกอบด้วยบอร์ด DSP TMS320F243 จำนวน 1 บอร์ดซึ่งจะรับค่ากระแสและแรงดันที่ตรวจจับได้แล้วนำไปคำนวณหาค่าแรงดันที่ต้องการแล้วสร้างออกมาเป็นสัญญาณ PWM เพื่อขับนำสวิตช์ของ IPM

5.1.3.3 ภาคการป้องกัน

ในส่วนของภาคการป้องกันประกอบด้วย 2 ส่วนหลักคือ

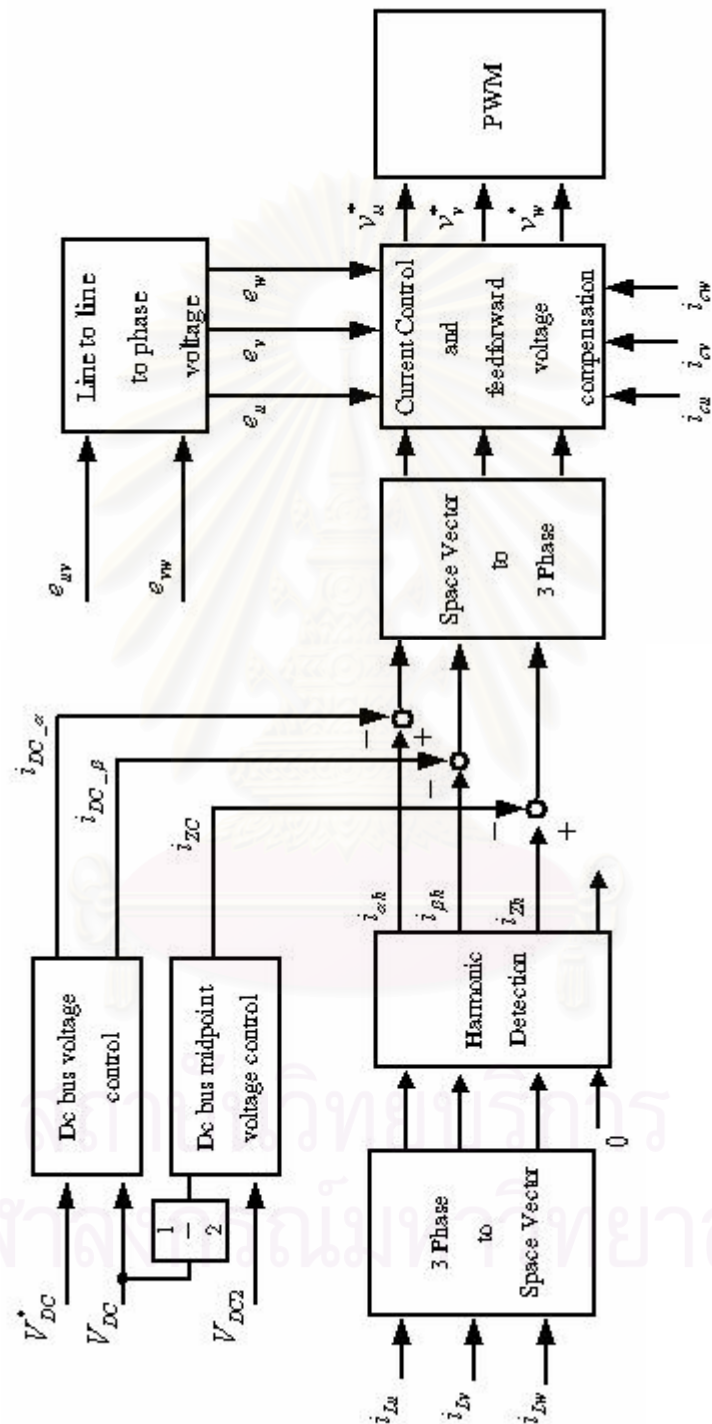
- ส่วนฮาร์ดแวร์มีวงจรป้องกันภายใน IPM เองเมื่อเกิดข้อผิดพลาดขึ้นในระบบก็จะส่งสัญญาณไปที่วงจรภายนอก เพื่อหยุดการทำงานของวงจรขั้วนำเกิดป้องกันภายใน IPM โดยจะทำงานเมื่อระดับของกระแสที่ตรวจจับได้เกินกว่าระดับที่ตั้งภายในอินเวอร์เตอร์เอง
- ส่วนซอฟต์แวร์รับสัญญาณแจ้งจาก IPM เมื่อเกิดข้อผิดพลาดจะส่งสัญญาณเข้าไปในบอร์ด DSP แล้วจะทำการหยุดสัญญาณสวิตช์ PWM ที่ DSP สร้าง

5.2 ซอฟต์แวร์ของระบบ

ในส่วนซอฟต์แวร์ที่ใช้ในการคำนวณแรงดันสำหรับอินเวอร์เตอร์เพื่อชดเชยกระแสฮาร์มอนิกนั้น เราสามารถแสดงเป็นบล็อกไดอะแกรมภาพรวมของการตรวจจับและการควบคุมได้ดังรูปที่ 5.6 และแสดงรายละเอียดได้ดังรูปที่ 5.7 - 5.10

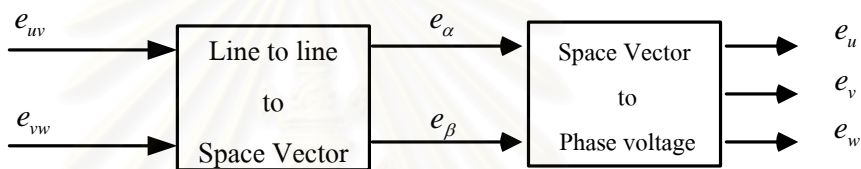
จากบล็อกไดอะแกรมเราสามารถอธิบายได้ว่า เราทำการตรวจจับแรงดันระหว่างสายแล้วทำการแปลงให้อยู่ในรูปของแรงดันสเปซเวกเตอร์ (e_α, e_β) ก่อนที่จะแปลงเป็นแรงดันเฟส (e_u, e_v, e_w) ดังรูปที่ 5.7 แรงดันที่ได้จากการแปลงเหล่านี้เราใช้สำหรับการทำวงรอบล็อกเฟสและใช้ในส่วนชดเชยแรงดันแบบไปหน้า จากนั้นจะทำการคำนวณกระแสฮาร์มอนิกจากกระแสไหลลงทั้ง 3 เฟส แล้วแปลงให้อยู่ในรูปสเปซเวกเตอร์ ผลจากการแปลงเราจะได้องค์ประกอบของกระแสไหลของสเปซเวกเตอร์ ($i_{L\alpha}, i_{L\beta}, i_{Lz}$) การคำนวณเพื่อหาลำดับประกอบฮาร์มอนิกในสายเฟสนั้นจะใช้ส่วนของกระแสไหลที่อยู่ในรูปสเปซเวกเตอร์มาพิจารณาบนแกนหมุนโดยพิจารณาที่ความถี่เดียวกับความถี่ฮาร์มอนิกที่ต้องการตรวจจับ ($h\omega$) จากนั้นจะคำนวณหาค่าองค์ประกอบฮาร์มอนิกโดยอาศัย Moving Average Filter แล้วจึงนำค่าที่ได้มาพิจารณาบนแกนนิ่งอีกครั้ง ได้เป็นองค์ประกอบฮาร์มอนิกในสายเฟสคือ i_{ah}, i_{bh} ส่วนการคำนวณหาลำดับประกอบฮาร์มอนิกในสายนิวทรัลนั้นก็จะมีหลักการคล้ายกับการคำนวณหาฮาร์มอนิกในสายเฟสแต่แตกต่างกันตรงที่การคำนวณหาค่าฮาร์มอนิกในสายนิวทรัลนั้นจะใช้องค์ประกอบเดียวคือองค์ประกอบ i_{Lz} ส่วนองค์ประกอบด้านเข้าอีกส่วนหนึ่งเป็นศูนย์ องค์ประกอบของฮาร์มอนิกที่ได้เมื่อนำมาพิจารณาบนแกนนิ่งคือ i_{zh} เราก็จะได้องค์ประกอบฮาร์มอนิกในรูปสเปซเวกเตอร์ (i_{ah}, i_{bh}, i_{zh}) ดังแสดงในรูปที่ 5.8 ส่วนต่อไปก็คือส่วนที่คำนวณค่ากระแสเพื่อควบคุมแรงดันบัสไฟตรงและแรงดันจุดกึ่งกลางบัส โดยการนำค่าแรงดันบัสไฟตรง (V_{DC}) มาเปรียบเทียบกับแรงดันบัสไฟตรงคำสั่ง (V_{DC}^*) และนำแรงดันของจุดกึ่งกลางบัส (V_{DC2}) มา

เปรียบเทียบกับกึ่งหนึ่งของแรงดันบัสไฟตรง ($V_{DC}/2$) ดังแสดงในรูปที่ 5.9 การควบคุมแรงดันไฟตรงทั้งสองส่วนจะ

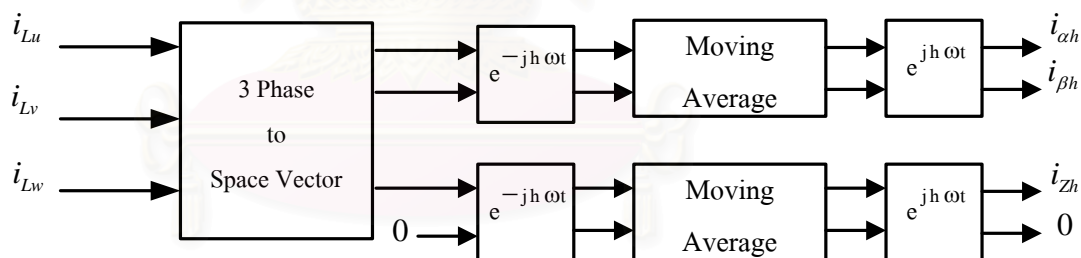


รูปที่ 5.6 ภาพรวมการตรวจจับ การควบคุมและการทำงานของระบบ

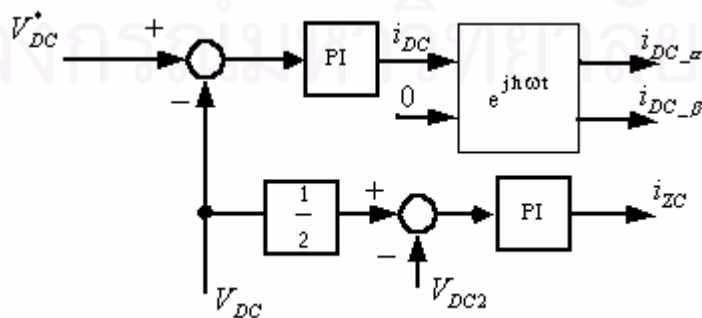
ใช้ตัวควบคุมแบบ PI ผลที่ได้จากตัวควบคุมแบบ PI ของส่วนควบคุมแรงดันบัสไฟตรงจะเป็นกระแสควบคุมแรงดันบัสไฟตรง i_{DC} บนแกนหมุน จึงต้องนำมาพิจารณาแยกเป็นองค์ประกอบบนแกนนี้ ($i_{DC_α}, i_{DC_β}$) ส่วนผลจากการคำนวณจากตัวควบคุมแบบ PI เพื่อควบคุมแรงดันจุดกึ่งกลางบัสนั้นจะเป็นกระแสไซน์เวกซ์ศูนย์ (i_{zC}) ซึ่งกระแสสำหรับควบคุมระดับแรงดันบัสไฟตรงทั้ง 3 ส่วนนี้จะถูกนำมารวมกับกระแสองค์ประกอบฮาร์มอนิกที่คำนวณได้ ดังแสดงในรูปที่ 5.10 จากนั้นจึงแปลงจากองค์ประกอบสเปซเวกเตอร์กลับไปเป็นค่าที่อ้างอิงบนแกนอ้างอิงในระบบ 3 เฟส ค่าของกระแส 3 เฟสที่ได้นี้เป็นกระแสคำสั่งสำหรับวงรอบการควบคุมกระแส ผลที่ได้จากตัวควบคุมกระแสจะเป็นค่าแรงดันซึ่งจะต้องนำไปรวมกับแรงดันเฟสซึ่งเป็นลักษณะของการชดเชยแรงดันแบบไปหน้า ค่าของแรงดันที่ได้ (v_u^*, v_v^*, v_w^*) ก็จะเป็นแรงดันคำสั่งของอินเวอร์เตอร์ที่ต้องการ



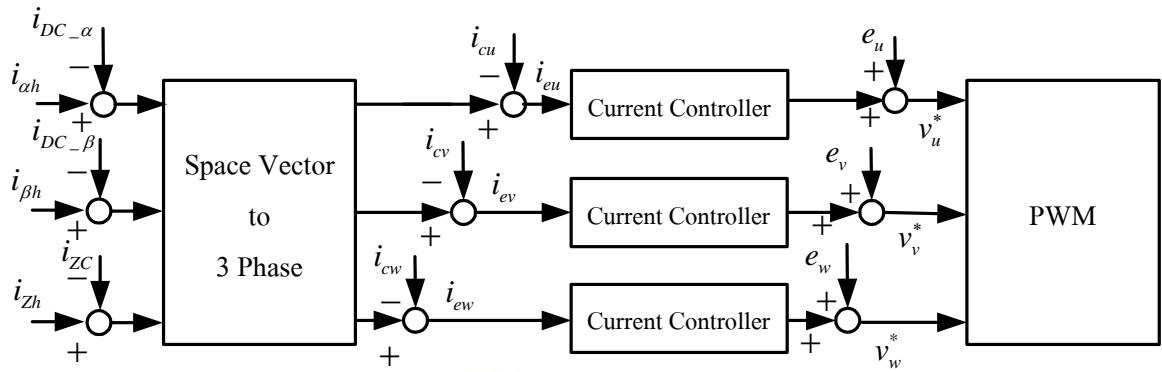
รูปที่ 5.7 บล็อกไดอะแกรมของซอฟต์แวร์ส่วนแปลงแกนของแรงดัน



รูปที่ 5.8 บล็อกไดอะแกรมของซอฟต์แวร์ส่วนคำนวณกระแสฮาร์มอนิก



รูปที่ 5.9 บล็อกไดอะแกรมของซอฟต์แวร์ส่วนควบคุมแรงดันไฟตรง



รูปที่ 5.10 บล็อกไดอะแกรมของซอฟต์แวร์ส่วนควบคุมกระแสและคำนวณแรงดันคำสั่ง

สถาบันวิทยบริการ
จุฬาลงกรณ์มหาวิทยาลัย

บทที่ 6

ผลการทดสอบการทำงานของระบบ

ในบทนี้เราจะทดสอบความสามารถในการกำจัดฮาร์มอนิกของวงจรกรองแอกที่พิกงานที่ใช้ในระบบ 3 เฟส 4 สาย โดยใช้การตรวจจับกระแสฮาร์มอนิกแบบรีเคอร์ซีฟดีเอฟทีทางด้านโหลด ซึ่งได้พัฒนามาเพื่อตรวจจับกระแสฮาร์มอนิกในสายนิวทรัลด้วย เราจะทดสอบการทำงานของระบบโดยอาศัยฮาร์ดแวร์และซอฟต์แวร์ที่ได้พัฒนาขึ้นมาตามที่กล่าวมาแล้วในบทที่ 5 โดยระบบที่ใช้ในการทดสอบนี้จะเป็นระบบ 3 เฟส 4 สาย 380 V 50 Hz อิมพีแดนซ์ของแหล่งจ่าย (Zs) มีค่าเป็น $j2.67\Omega$ (8.5 mH) ต่อกับโหลดวงจรเรียงกระแสแบบบริดจ์ 2 ชุด คือ โหลดวงจรเรียงกระแสแบบบริดจ์ 3 เฟสขนาด 1.5 kVA ที่มีโหลดเป็นความต้านทาน 70 Ω และตัวเหนี่ยวนำ 10 mH และโหลดที่เป็นวงจรเรียงกระแสแบบบริดจ์ 1 เฟสขนาด 0.25 kVA ที่มีโหลดเป็นตัวต้านทาน 200 Ω และตัวเหนี่ยวนำ 175 mH วงจรกรองแอกที่ฟอสสร้างแรงดันโดยอินเวอร์เตอร์ผ่านหม้อแปลง 2 : 1 เป็นตัวเชื่อมต่อกับระบบกำลังร่วมกับตัวเหนี่ยวนำค่า 14 mH

ผลการทดลองการทำงานของระบบที่จะนำเสนอในบทนี้จะแยกเป็นกลุ่มการทดลองเพื่อเปรียบเทียบผลทางปฏิบัติกับผลทางทฤษฎีในการกำจัดฮาร์มอนิก

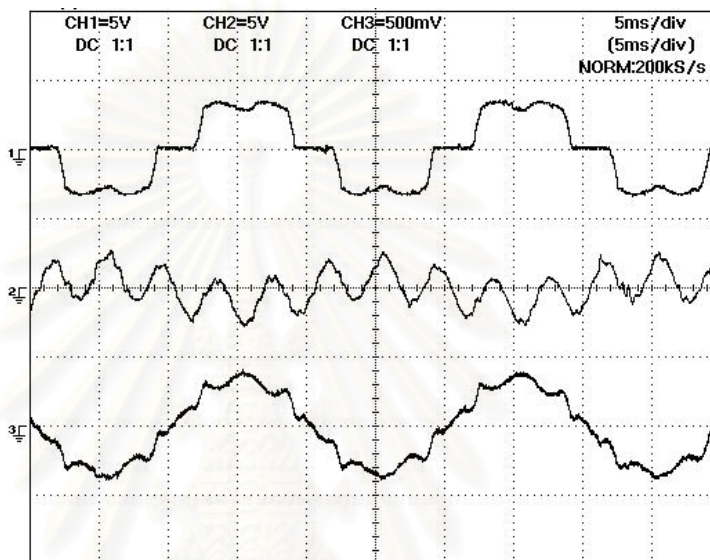
6.1 กรณีโหลดสมดุล

การทดลองในกรณีนี้ก็คือการให้แหล่งจ่ายจ่ายกำลังให้กับโหลดวงจรเรียงกระแสแบบบริดจ์ 3 เฟสเท่านั้น ฮาร์มอนิกที่เกิดจากโหลดลักษณะนี้จะเป็นฮาร์มอนิกอันดับหลักคืออันดับ 5, 7, 11, 13, 17 และ 19 ส่วนกระแสฮาร์มอนิกอันดับอื่นจะมีค่าต่ำ ดังนั้นการกำจัดฮาร์มอนิกจะเลือกกำจัดเฉพาะอันดับและซีแควนซ์หลักเท่านั้น โดยมีผลการทำงานดังนี้

สถาบันวิทยบริการ
จุฬาลงกรณ์มหาวิทยาลัย

6.1.1 กรณีกำจัดฮาร์มอนิกแบบกำจัดเฉพาะฮาร์มอนิกอันดับ 5 ซีเควนซ์ลပ်

ผลการทดสอบแสดงรูปคลื่นสัญญาณของกระแสจากโหลด กระแสของวงจรกรอง แยกทีฟและกระแสจากแหล่งจ่ายดังแสดงในรูปที่ 6.1 และแสดงสเปกตรัมของกระแสฮาร์มอนิก อันดับต่างๆในรูปที่ 6.2 ซึ่งจะเห็นได้ว่ากระแสฮาร์มอนิกที่แหล่งจ่ายอันดับ 5 มีขนาดลดลง โดยมีค่าอัตราการลดทอน $|i_{sh}|/|i_{Lh}|_{h=5} = 0.108$ คือกระแสฮาร์มอนิกอันดับ 5 ลดลงจากทางด้านโหลด 0.537 A เหลือทางด้านแหล่งจ่าย 0.058 A

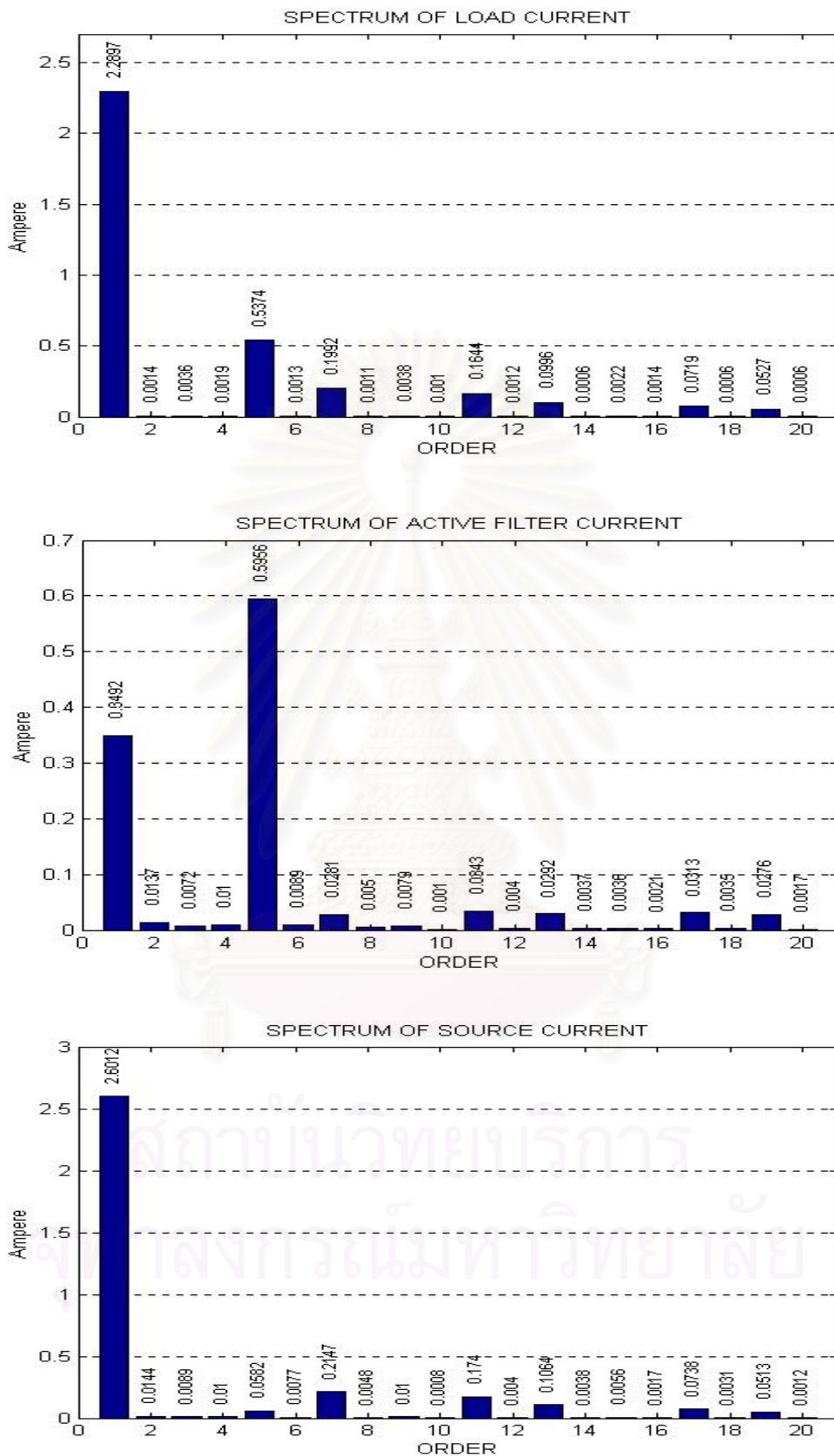


(5

▲ / 1:1: - \

รูปที่ 6.1 กระแสโหลด (บน) กระแสของวงจรกรอง (กลาง) และกระแสของแหล่งจ่าย (ล่าง)

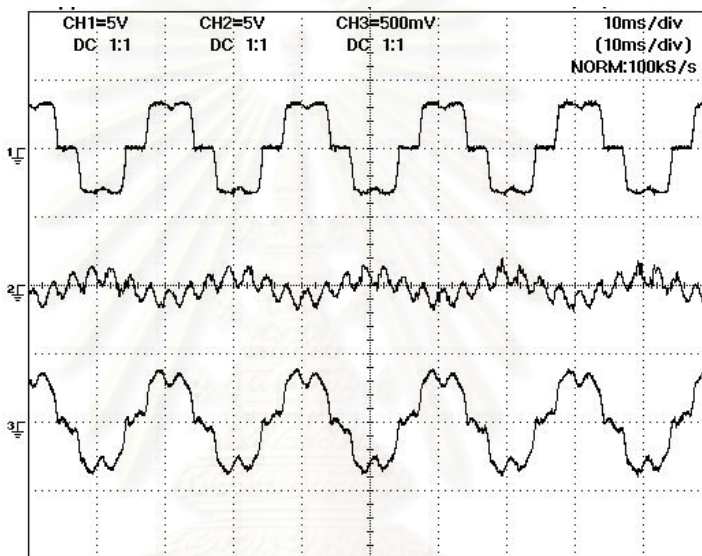
ในกรณีกำจัดเฉพาะฮาร์มอนิกอันดับ 5 ซีเควนซ์ลပ် เมื่ออัตราขยายค่าความผิดพลาด $K = 60$



รูปที่ 6.2 สเปกตรัมของกระแสโหลด กระแสของวงจรกรองและกระแสจากแหล่งจ่ายกรณี
 กำจัดเฉพาะฮาร์มอนิกอันดับ 5 ที่ความถี่ลบเมื่ออัตราขยายค่าความผิดพลาด $K = 60$

6.1.2 กรณีกำจัดฮาร์โมนิกเฉพาะอันดับ 7 ซึ่งเวกซ์บวกร

ผลการทดสอบแสดงรูปคลื่นกระแสโหลด กระแสจากวงจรกรองแอกทีฟเมื่อมีการกำจัดเฉพาะอันดับที่ 7 ซึ่งเวกซ์บวกรแสดงในรูปที่ 6.3 และแสดงสเปกตรัมของกระแสดังรูปที่ 6.4 เห็นได้ว่ากระแสที่แหล่งจ่ายมีขนาดของฮาร์โมนิกที่ 7 ลดลงคือจาก 0.232 A ที่โหลดเหลือ 0.016 A ที่แหล่งจ่ายแต่อัตราการลดทอน $|i_{sh}|/|i_{Lh}|_{h=7} = 0.069$ จะเห็นได้ว่าอัตราการลดทอนสูง ทั้งนี้เนื่องจากอัตราขยายของวงจรกรองผ่านต่ำมีค่าสูง ทำให้อัตราขยายของตัวควบคุมกระแสของวงจรกรองแอกทีฟที่ความถี่ของฮาร์โมนิกอันดับที่ 7 ยังมีค่าสูงด้วย

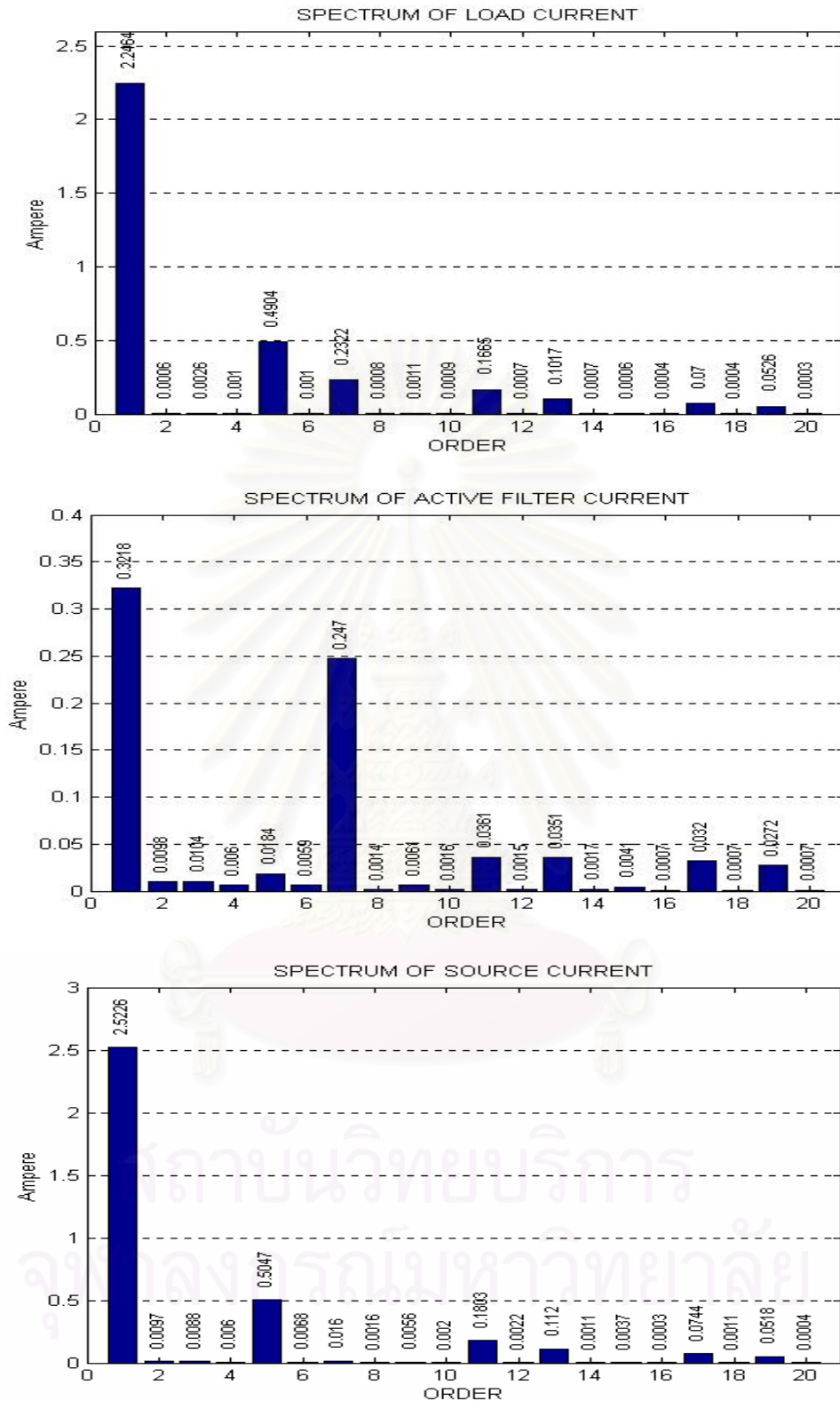


(5

รูปที่ 6.3 กระแสโหลด (บน) กระแสของวงจรกรอง (กลาง) และกระแสของแหล่งจ่าย (ล่าง)

ในกรณีกำจัดเฉพาะฮาร์โมนิกอันดับ 7 ซึ่งเวกซ์บวกรเมื่ออัตราขยายค่าความผิดพลาด $K = 60$

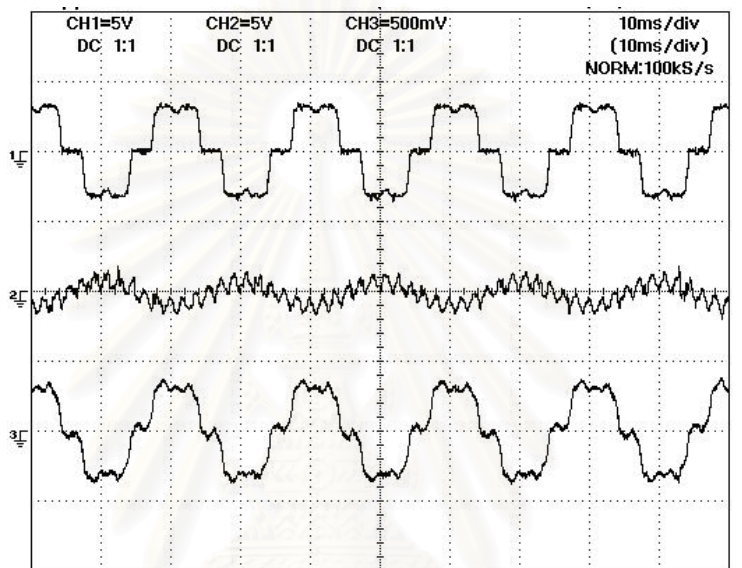
สถาบันวิทยบริการ
จุฬาลงกรณ์มหาวิทยาลัย



รูปที่ 6.4 สเปกตรัมของกระแสโหลด กระแสของวงจรกรองแอกทีฟและกระแสจากแหล่งจ่ายกรณี
 กำจัดเฉพาะฮาร์มอนิกอันดับ 7 ซีเควนซ์บวกและอัตราขยายค่าความผิดพลาด $K = 60$

6.1.3 กรณีกำจัดฮาร์โมนิกเฉพาะอันดับ 11 ซีเคนซ์ลับ

ผลการทดสอบแสดงรูปคลื่นสัญญาณของกระแสจากโหลด กระแสของวงจรกรองแอกทีฟและกระแสจากแหล่งจ่ายดังแสดงในรูปที่ 6.5 และแสดงสเปกตรัมของกระแสฮาร์โมนิกอันดับต่างๆในรูปที่ 6.6 ซึ่งจะเห็นได้ว่ากระแสฮาร์โมนิกที่แหล่งจ่ายอันดับ 11 มีขนาดลดลง โดยมีค่าอัตราการลดทอน $|i_{sh}|/|i_{Lh}|_{h=11} = 0.067$ คือกระแสฮาร์โมนิกอันดับ 11 ลดลงจากทางด้านโหลด 0.185 A เหลือทางด้านแหล่งจ่าย 0.012 A

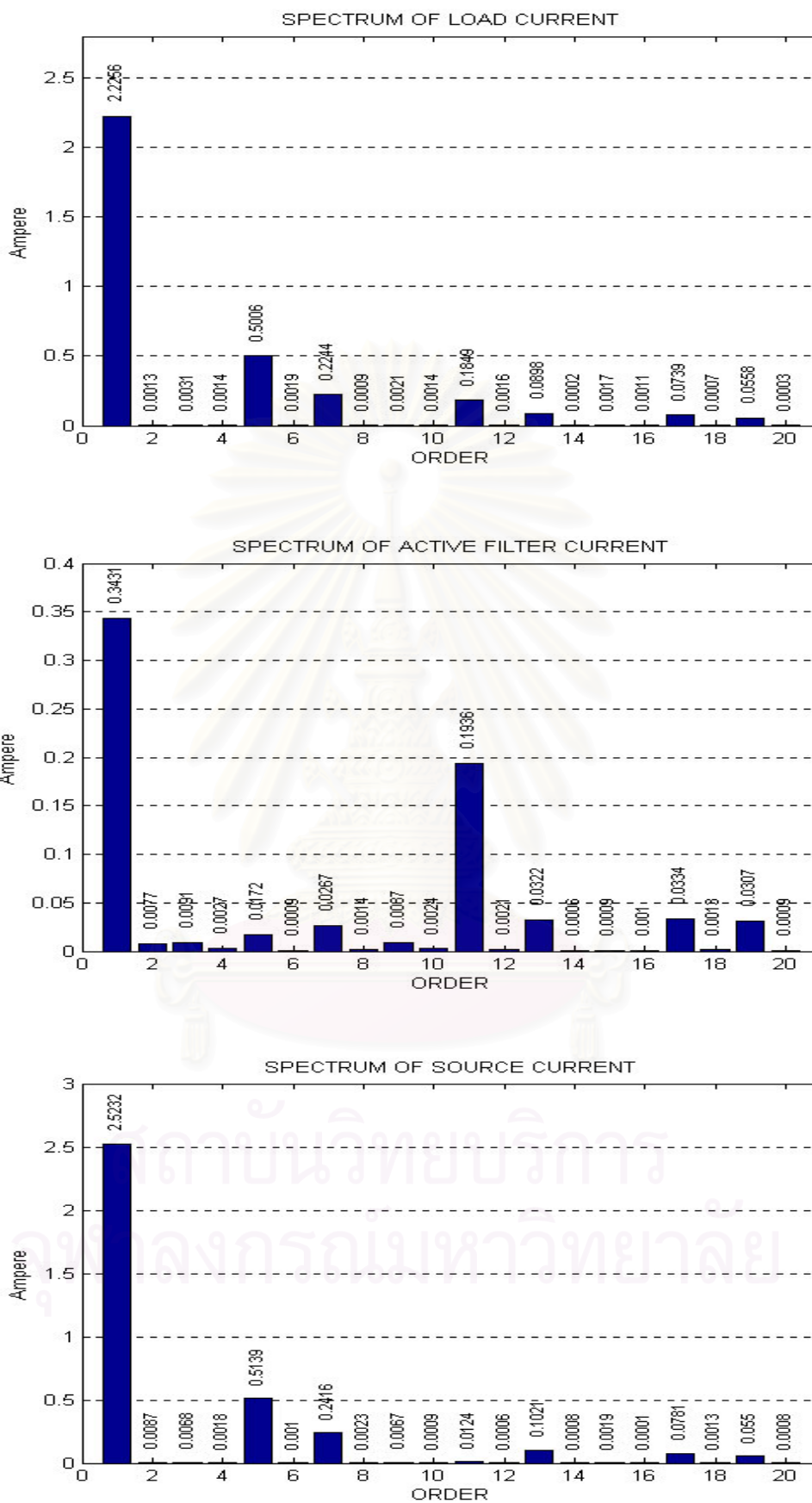


(5A/div)

รูปที่ 6.5 กระแสโหลด (บน) กระแสของวงจรกรอง (กลาง) และกระแสของแหล่งจ่าย (ล่าง)

ในกรณีกำจัดเฉพาะฮาร์โมนิกอันดับ 11 ซีเคนซ์ลับเมื่ออัตราขยายค่าความผิดพลาด $K = 60$

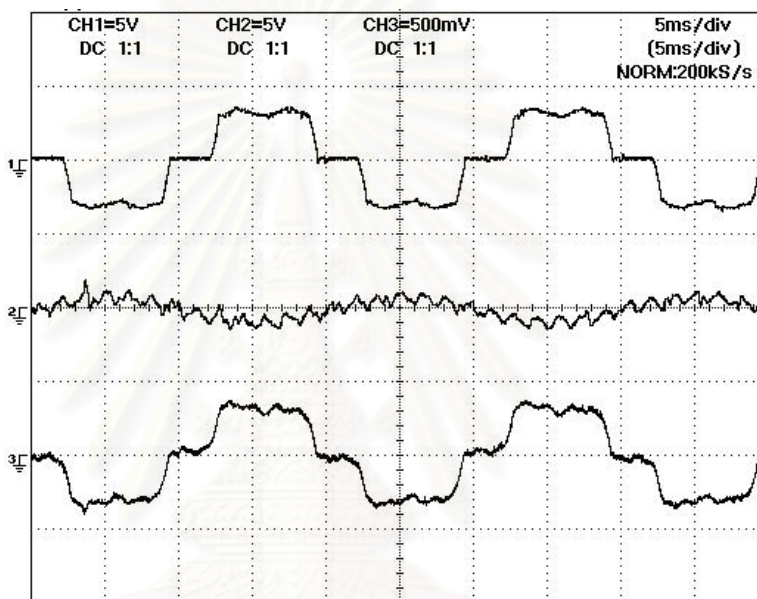
สถาบันวิทยบริการ
จุฬาลงกรณ์มหาวิทยาลัย



รูปที่ 6.6 สเปกตรัมของกระแสโหลด กระแสของวงจรกรองแอกทีฟและกระแสจากแหล่งจ่ายกรณี
 กำหนดเฉพาะฮาร์มอนิกอันดับ 11 ซีควอนซ์ลบและอัตราขยายค่าความผิดพลาด $K = 80$

6.1.4 กรณีกำจัดฮาร์โมนิกเฉพาะอันดับ 13 ซีเวนซ์บวก

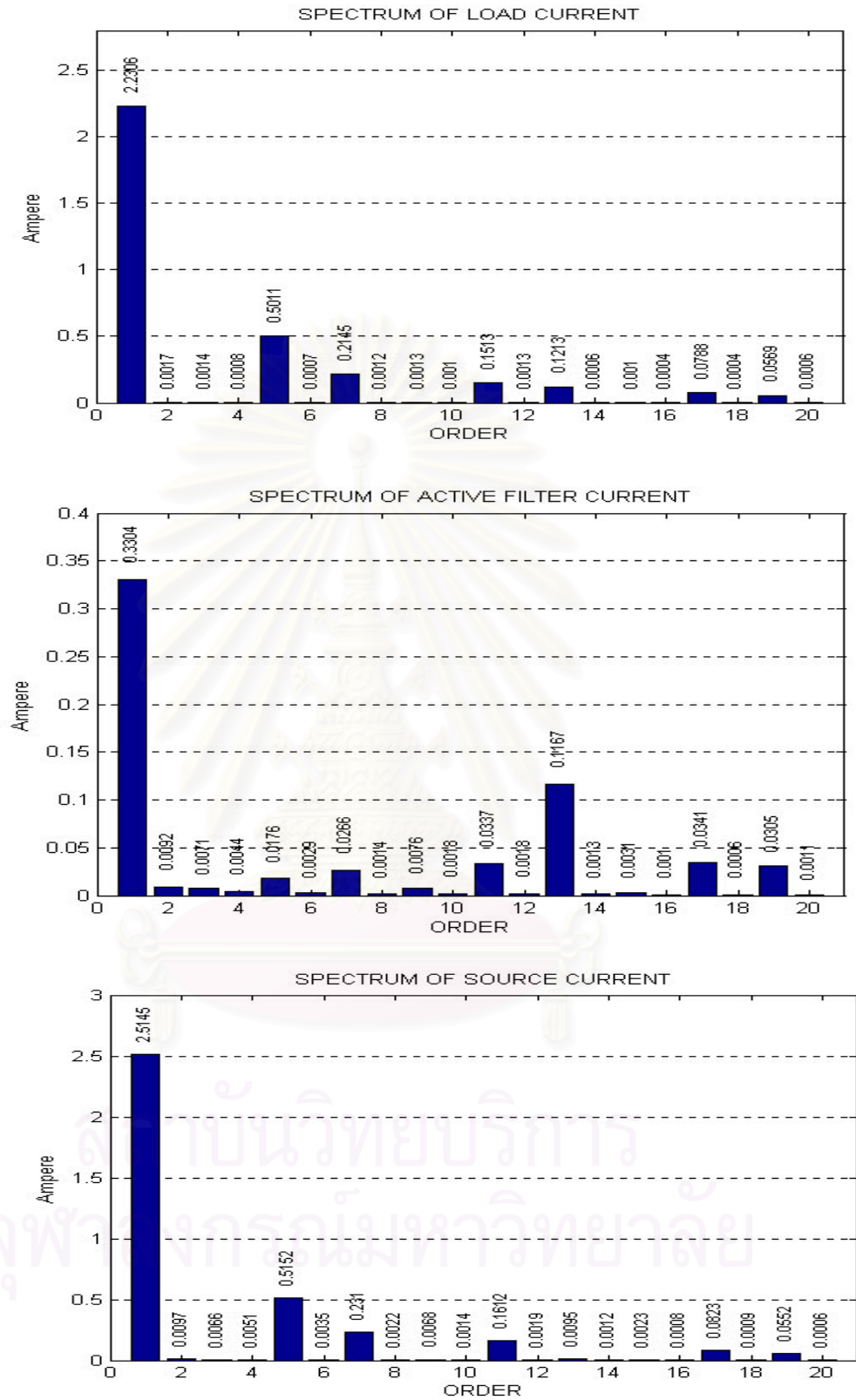
ผลการทดสอบแสดงรูปคลื่นสัญญาณของกระแสจากโหลด กระแสของวงจรกรอง แยกทีฟและกระแสจากแหล่งจ่ายดังแสดงในรูปที่ 6.7 และแสดงสเปกตรัมของกระแสฮาร์โมนิก อันดับต่างๆในรูปที่ 6.8 ซึ่งจะเห็นได้ว่ากระแสฮาร์โมนิกที่แหล่งจ่ายอันดับ 13 มีขนาดลดลง โดยมีค่าอัตราลดทอน $|i_{sh}|/|i_{Lh}|_{h=13} = 0.078$ คือกระแสฮาร์โมนิกอันดับ 13 ลดลงจากทางด้านโหลด 0.121 A เหลือทางด้านแหล่งจ่าย 0.009 A



(5A/div)

รูปที่ 6.7 กระแสโหลด (บน) กระแสของวงจรกรอง (กลาง) และกระแสของแหล่งจ่าย (ล่าง)
 ในกรณีกำจัดเฉพาะฮาร์โมนิกอันดับ 13 ซีเวนซ์บวกเมื่ออัตราขยายค่าความผิดพลาด $K = 60$

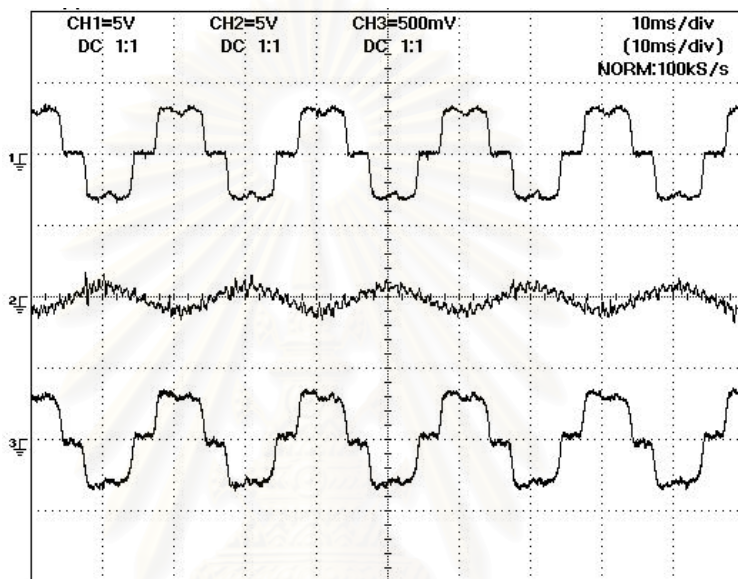
สถาบันวิทยบริการ
 จุฬาลงกรณ์มหาวิทยาลัย



รูปที่ 6.8 สเปกตรัมของกระแสโหลด กระแสของวงจรกรองแอกทีฟและกระแสจากแหล่งจ่ายกรณี
 กำจัดเฉพาะฮาร์มอนิกอันดับ 13 ซึ่งควมชั่ววอกและอัตราขยายค่าความผิดพลาด $K = 60$

6.1.5 กรณีกำจัดฮาร์โมนิกเฉพาะอันดับ 17 ซีเวนซ์ลอบ

ผลการทดสอบแสดงรูปคลื่นสัญญาณของกระแสจากโหลด กระแสของวงจรกรอง แยกทีฟและกระแสจากแหล่งจ่ายดังแสดงในรูปที่ 6.9 และแสดงสเปกตรัมของกระแสฮาร์โมนิก อันดับต่างๆในรูปที่ 6.10 ซึ่งจะเห็นได้ว่ากระแสฮาร์โมนิกที่แหล่งจ่ายอันดับ 17 มีขนาดลดลง โดยมีค่าอัตราลดทอน $|i_{sh}|/|i_{Lh}|_{h=13} = 0.197$ คือกระแสฮาร์โมนิกอันดับ 17 ลดลงจากทางด้าน โหลด 0.089 A เหลือทางด้านแหล่งจ่าย 0.017 A

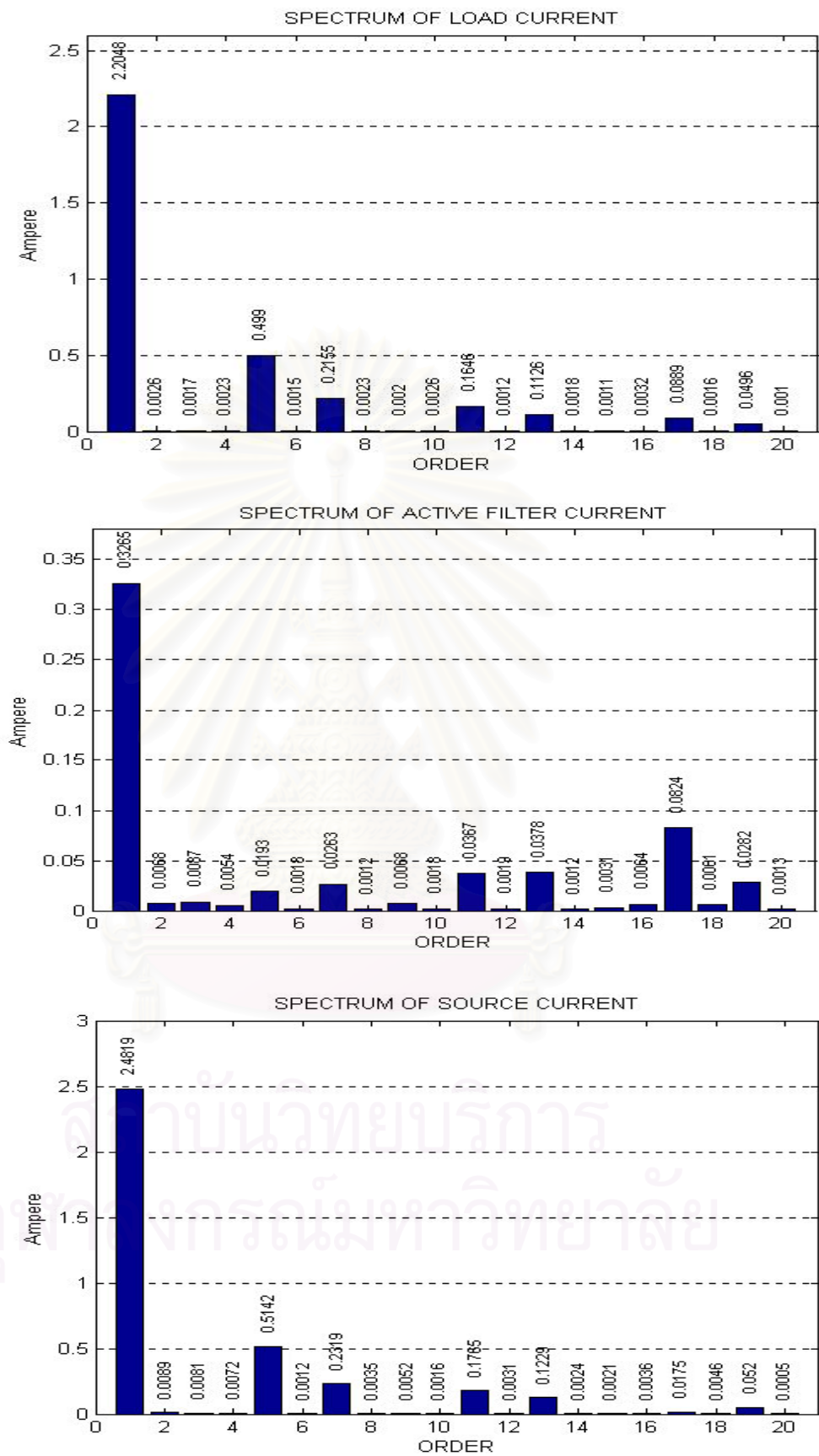


(5A/d)

รูปที่ 6.9 กระแสโหลด (บน) กระแสของวงจรกรอง (กลาง) และกระแสของแหล่งจ่าย (ล่าง)

ในกรณีกำจัดเฉพาะฮาร์โมนิกอันดับ 17 ซีเวนซ์ลอบเมื่ออัตราขยายค่าความผิดพลาด $K = 60$

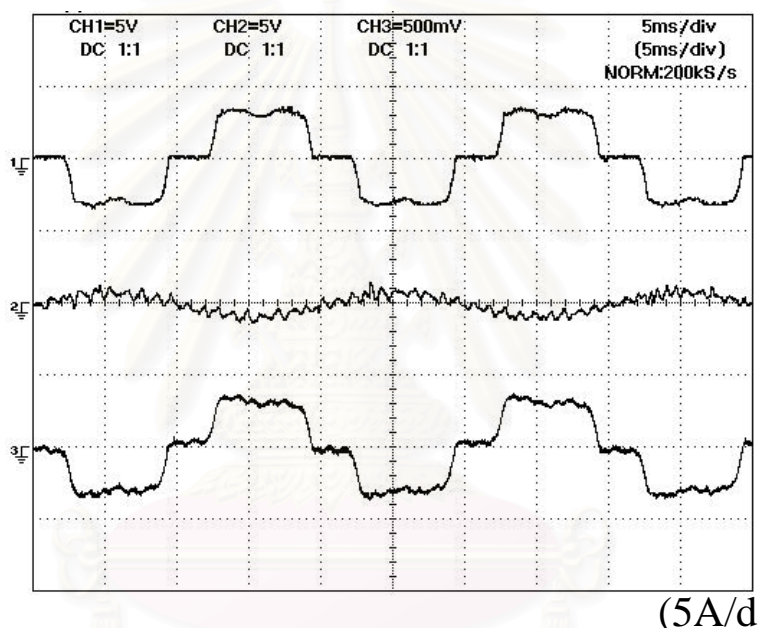
สถาบันวิทยบริการ
จุฬาลงกรณ์มหาวิทยาลัย



รูปที่ 6.10 สเปกตรัมของกระแสโหลด กระแสของวงจรกรองแอกทีฟและกระแสจากแหล่งจ่ายกรณี
 กำจัดเฉพาะฮาร์มอนิกอันดับ 17 ซึ่งความชันลบและอัตราขยายค่าความผิดพลาด $K = 60$

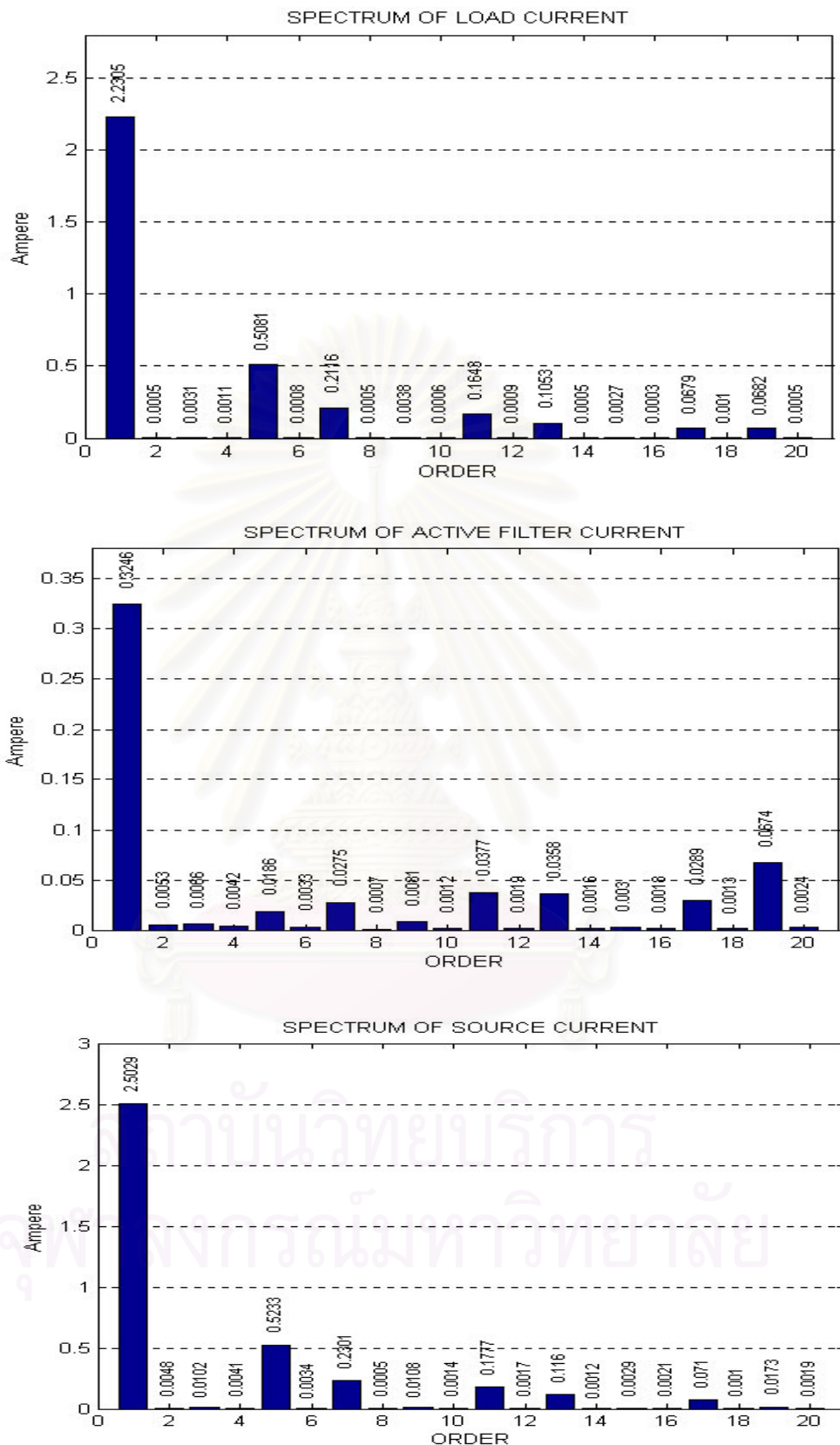
6.1.6 กรณีกำจัดฮาร์โมนิกเฉพาะอันดับ 19 ซีเวนซ์บวก

ผลการทดสอบแสดงรูปคลื่นสัญญาณของกระแสจากโหลด กระแสของวงจรกรอง แอกทีฟและกระแสจากแหล่งจ่ายดังแสดงในรูปที่ 6.11 และแสดงสเปกตรัมของกระแสฮาร์โมนิก อันดับต่างๆในรูปที่ 6.12 ซึ่งจะเห็นได้ว่ากระแสฮาร์โมนิกที่แหล่งจ่ายอันดับ 19 มีขนาดลดลง โดยมีค่าอัตราลดทอน $|i_{sh}|/|i_{Lh}|_{h=13} = 0.254$ คือกระแสฮาร์โมนิกอันดับ 19 ลดลงจากทางด้าน โหลด 0.068 A เหลือทางด้านแหล่งจ่าย 0.017 A จะเห็นได้ว่าการลดทอนกระแสฮาร์โมนิกที่ ความถี่ฮาร์โมนิกอันดับที่ 19 จะน้อยลงเมื่อเทียบกับความถี่ฮาร์โมนิกอันดับต่ำกว่าเนื่องจากความถี่ ฮาร์โมนิกอันดับที่ 19 เริ่มใกล้เคียงกับค่าความถี่หักมุมของวงจรกรองผ่านต่ำของวงรอบการควบคุม กระแส



รูปที่ 6.11 กระแสโหลด (บน) กระแสของวงจรกรอง (กลาง) และกระแสของแหล่งจ่าย (ล่าง)
ในกรณีกำจัดเฉพาะฮาร์โมนิกอันดับ 19 ซีเวนซ์บวกเมื่ออัตราขยายค่าความผิดพลาด $K = 60$

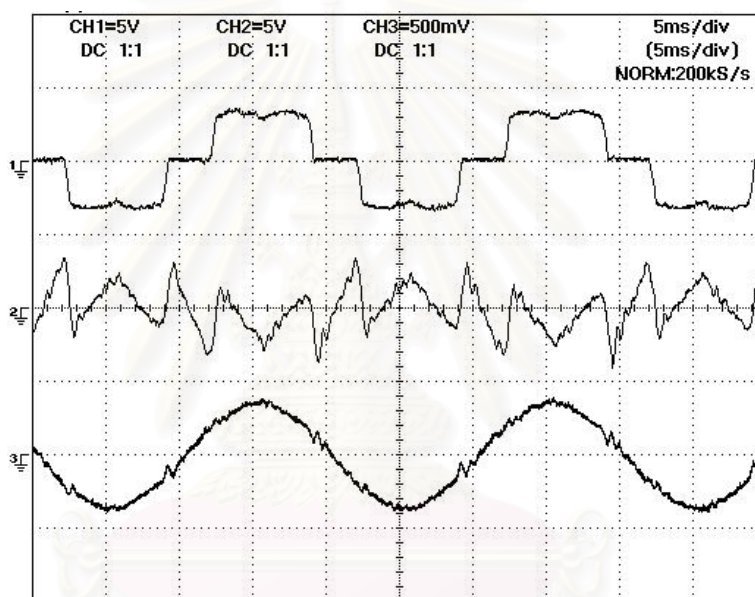
จุฬาลงกรณ์มหาวิทยาลัย



รูปที่ 6.12 สเปกตรัมของกระแสโหลด กระแสของวงจรกรองแอกทีฟและกระแสจากแหล่งจ่ายกรณี
 กำจัดเฉพาะฮาร์โมนิกอันดับ 19 ที่ความถี่ขั้วกและอัตราขยายค่าความผิดพลาด $K = 60$

6.1.7 กรณีกำจัดฮาร์โมนิกในสายเฟสหมดทุกอันดับ

ผลการทดสอบแสดงรูปคลื่นสัญญาณของกระแสจากโหลด กระแสของวงจรกรองแอกทีฟและกระแสจากแหล่งจ่ายดังแสดงในรูปที่ 6.13 และแสดงสเปกตรัมของกระแสฮาร์โมนิกอันดับต่างๆในรูปที่ 6.14 ซึ่งจะเห็นได้ว่ากระแสฮาร์โมนิกในสายเฟสมีขนาดลดลง โดยมีค่าอัตราการลดทอนของกระแสฮาร์โมนิกอันดับต่ำสูงกว่าอัตราการลดทอนของฮาร์โมนิกอันดับสูง คือ ฮาร์โมนิกอันดับ 5 มีอัตราการลดทอน $|i_{sh}|/|i_{Lh}|_{h=5} = 0.098$ คือลดลงจาก 0.508 A ทางด้านโหลดเหลือ 0.050 A ทางด้านแหล่งจ่าย ส่วนกระแสฮาร์โมนิกอันดับ 13 มีอัตราการลดทอน $|i_{sh}|/|i_{Lh}|_{h=13} = 0.306$ คือลดลงจากทางด้านโหลด 0.124 A เหลือทางด้านแหล่งจ่าย 0.038 A

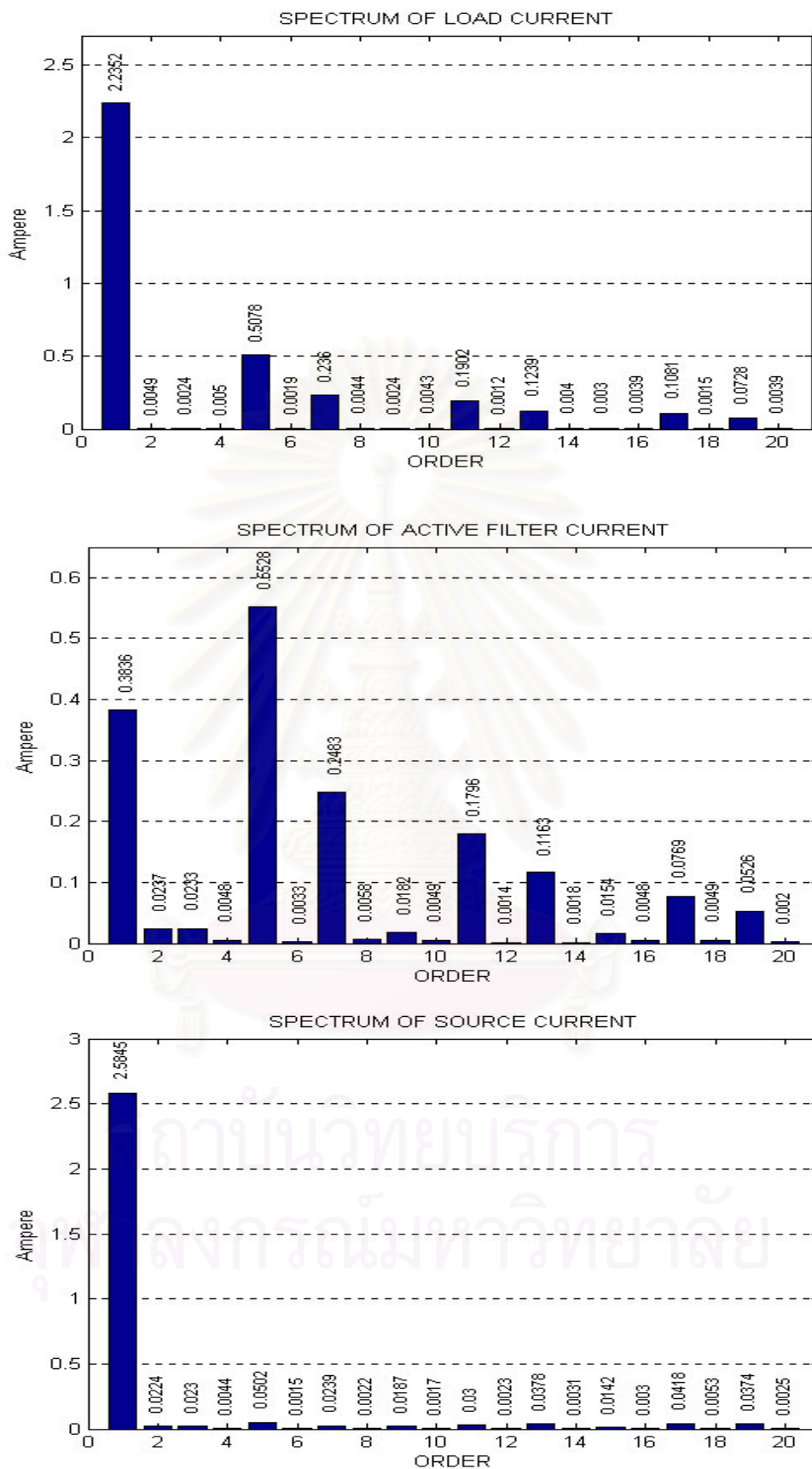


(5A/div)

รูปที่ 6.13 กระแสโหลด (บน) กระแสของวงจรกรอง (กลาง) และกระแสของแหล่งจ่าย (ล่าง)

ในกรณีกำจัดฮาร์โมนิกทุกอันดับในสายเฟสเมื่ออัตราขยายค่าความผิดพลาด $K = 60$

จุฬาลงกรณ์มหาวิทยาลัย



รูปที่ 6.14 สเปกตรัมของกระแสโหลด กระแสของวงจรกรองแอกทีฟและกระแสจากแหล่งจ่ายกรณี
 กำจัดฮาร์มอนิกทุกอันดับในสายเฟสและอัตราขยายค่าความผิดพลาด $K = 60$

6.2 กรณีโหลดไม่สมดุล

การทดลองในกรณีนี้ก็คือการให้แหล่งจ่ายจ่ายกำลังให้กับโหลดบริดจ์ 3 เฟสและโหลดบริดจ์ 1 เฟสโดยโหลด 1 เฟสนั้นต่อเข้ากับเฟส w เราสามารถแยกพิจารณาเป็นกรณีต่างๆได้คือ

6.2.1 กรณีกำจัดฮาร์มอนิกซีเควนซ์บวกหรือลบ

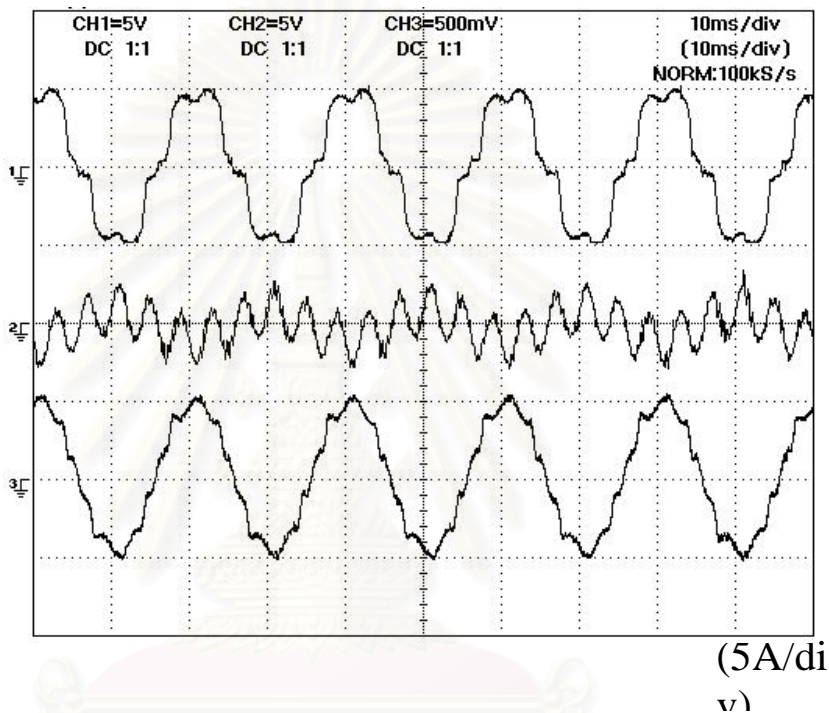
การกำจัดฮาร์มอนิกซีเควนซ์บวกหรือลบได้แก่ ฮาร์มอนิกอันดับ 5, 7, 11, 13, 17, 19 ซึ่งในกรณีโหลดไม่สมดุลจะแตกต่างจากกรณีโหลดสมดุลคือต้องตรวจจับฮาร์มอนิกอันดับนั้นทั้งซีเควนซ์บวกและลบ ค่าที่แสดงเป็นค่าที่วัดจากกระแสในเฟส w



สถาบันวิทยบริการ
จุฬาลงกรณ์มหาวิทยาลัย

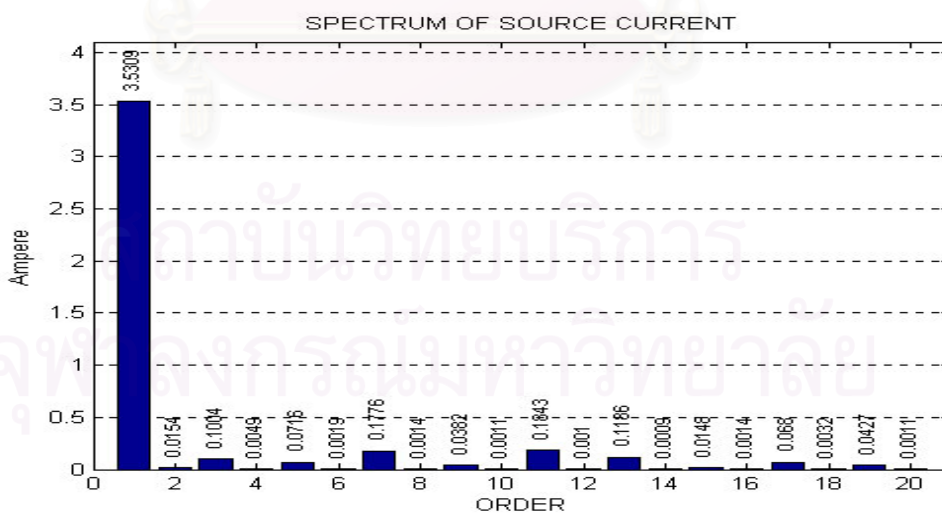
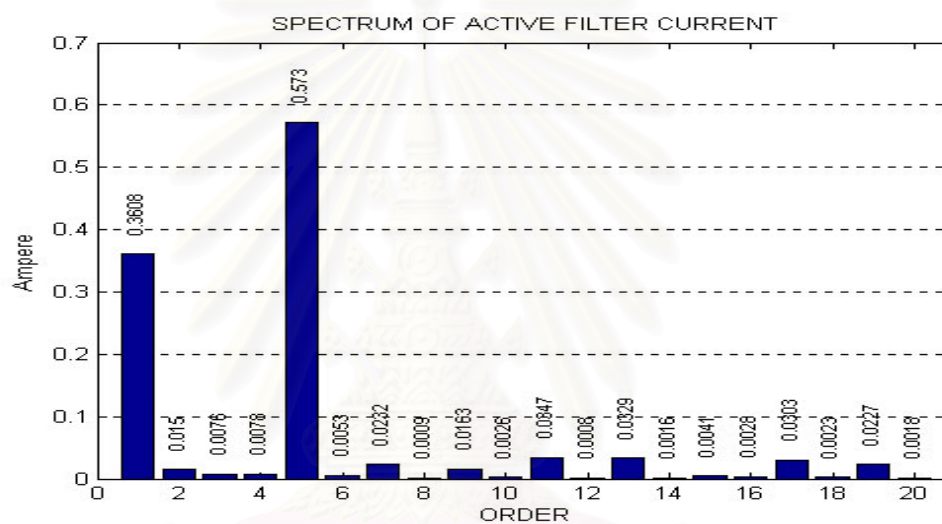
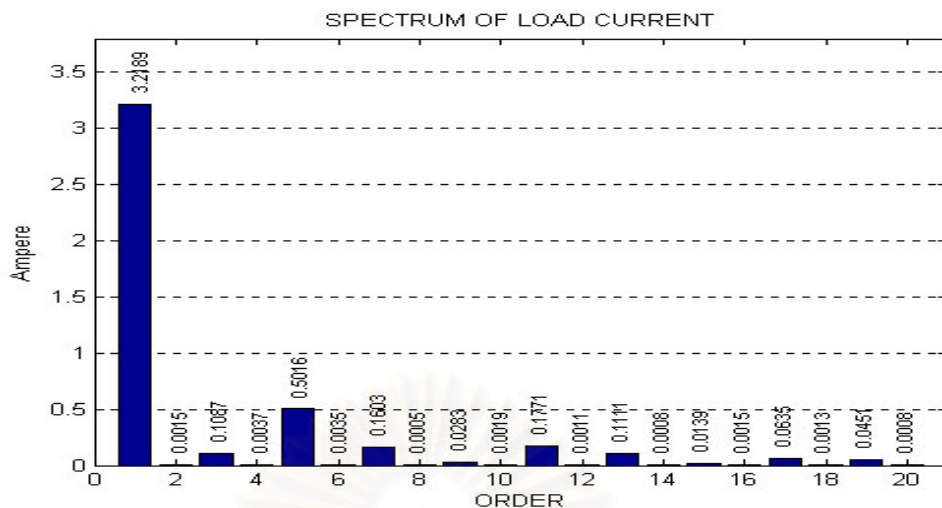
6.2.1.1 กำจัดเฉพาะฮาร์โมนิกอันดับ 5 ซึ่ควนซ้บวกและลบในสายเฟส

ผลการทดสอบแสดงรูปคลื่นสัญญาณของกระแสจากโหลด กระแสของวงจรกรองแอกทีฟและกระแสจากแหล่งจ่ายดังแสดงในรูปที่ 6.15 และแสดงสเปกตรัมของกระแสฮาร์โมนิกอันดับต่างๆในรูปที่ 6.16 ซึ่งจะเห็นได้ว่ากระแสฮาร์โมนิกอันดับ 5 ในทางด้านแหล่งจ่ายมีขนาดลดลงโดยอัตราการลดทอน $|i_{sh}|/|i_{Lh}|_{h=5} = 0.143$ คือลดลงจาก 0.501 A ทางด้านโหลดเหลือ 0.071 A ทางด้านแหล่งจ่าย



รูปที่ 6.15 กระแสโหลด (บน) กระแสของวงจรกรอง (กลาง) และกระแสของแหล่งจ่าย (ล่าง) ในกรณีกำจัดฮาร์โมนิกอันดับ 5 อันดับบวกและลบในสายเฟส เมื่ออัตราขยายค่าความผิดพลาด $K = 60$

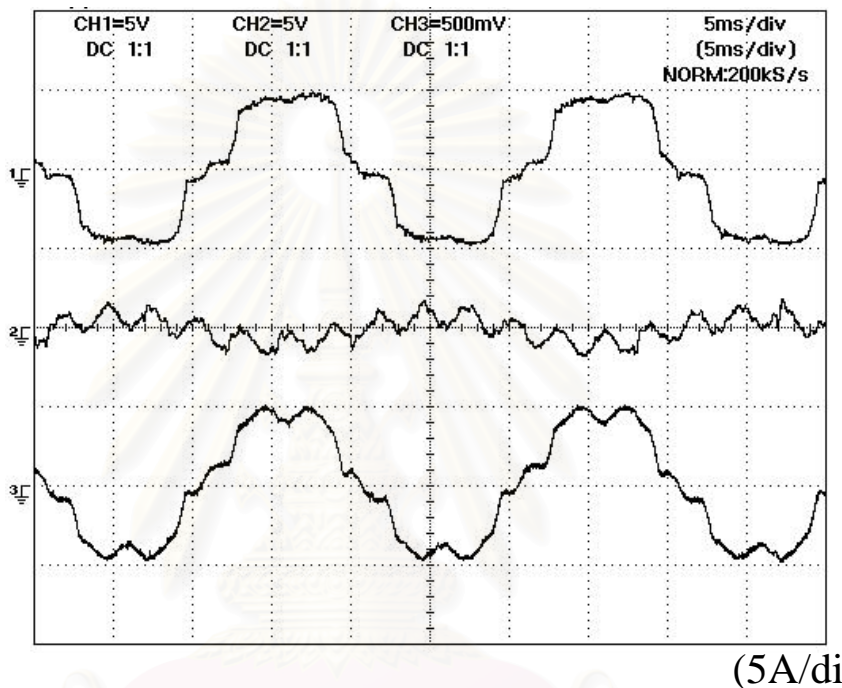
สถาบันวิทยบริการ
จุฬาลงกรณ์มหาวิทยาลัย



รูปที่ 6.16 สเปกตรัมของกระแสไฟฟ้าทางด้านโหลด ทางด้านแหล่งจ่ายและกระแสจากแหล่งจ่าย
กรณีกำจัดฮาร์มอนิกอันดับ 5 ซีเควนซ์บวกและลบเมื่ออัตราขยายค่าความผิดพลาด $K = 60$

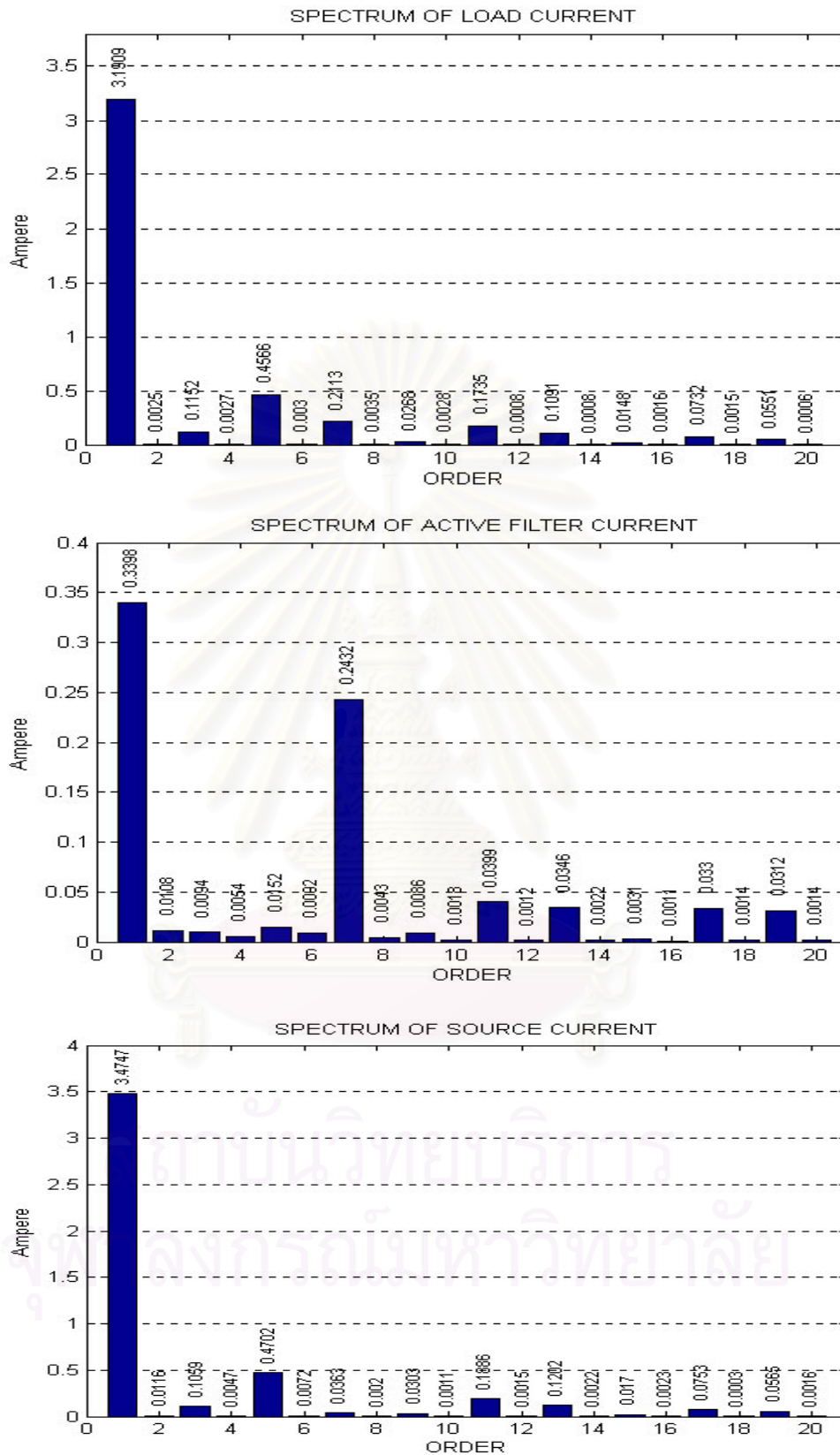
6.2.1.2 กำจัดเฉพาะฮาร์โมนิกอันดับ 7 ซีควেনซ์บวกและลบในสายเฟส

ผลการทดสอบแสดงรูปคลื่นสัญญาณของกระแสจากโหลด กระแสของวงจรกรองแอกทีฟและกระแสจากแหล่งจ่ายดังแสดงในรูปที่ 6.17 และแสดงสเปกตรัมของกระแสฮาร์โมนิกอันดับต่างๆในรูปที่ 6.18 ซึ่งจะเห็นได้ว่ากระแสฮาร์โมนิกอันดับ 7 ในทางด้านแหล่งจ่ายมีขนาดลดลงโดยอัตราการลดทอน $|i_{sh}|/|i_{Lh}|_{h=7} = 0.172$ คือลดลงจาก 0.2113 A ทางด้านโหลด เหลือ 0.0363 A ทางด้านแหล่งจ่าย



รูปที่ 6.17 กระแสโหลด (บน) กระแสของวงจรกรอง (กลาง) และกระแสของแหล่งจ่าย (ล่าง) ในกรณีกำจัดฮาร์โมนิกอันดับ 7 อันดับบวกและลบในสายเฟส เมื่ออัตราขยายค่าความผิดพลาด $K = 60$

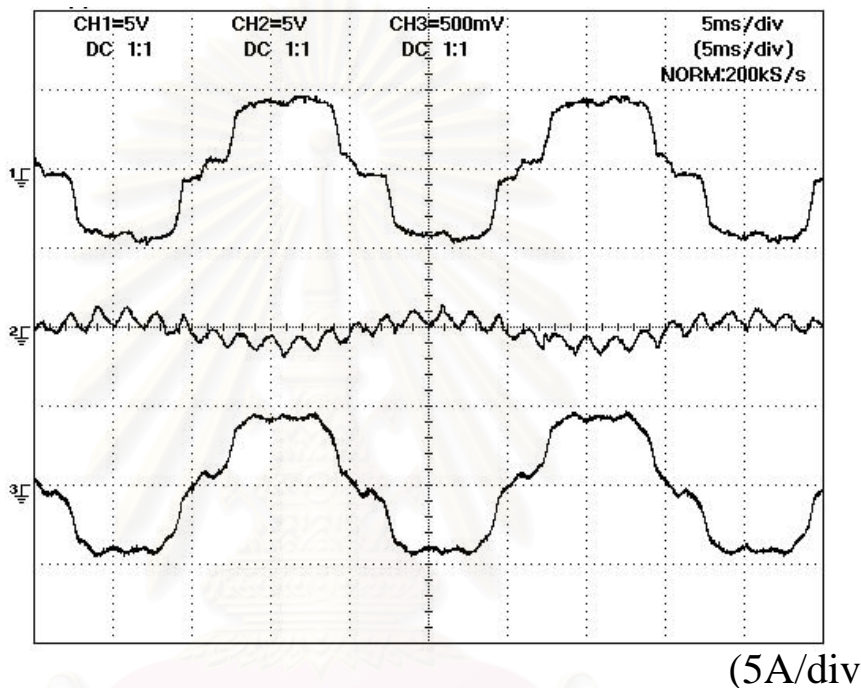
สถาบันวิทยบริการ
จุฬาลงกรณ์มหาวิทยาลัย



รูปที่ 6.18 สเปกตรัมของกระแสโหลดทางด้านโหลด ทางด้านแหล่งจ่ายและกระแสจากแหล่งจ่าย
กรณีกำจัดฮาร์มอนิกอันดับ 7 ที่ความถี่ขั้วกและลบเมื่ออัตราขยายค่าความผิดพลาด $K = 60$

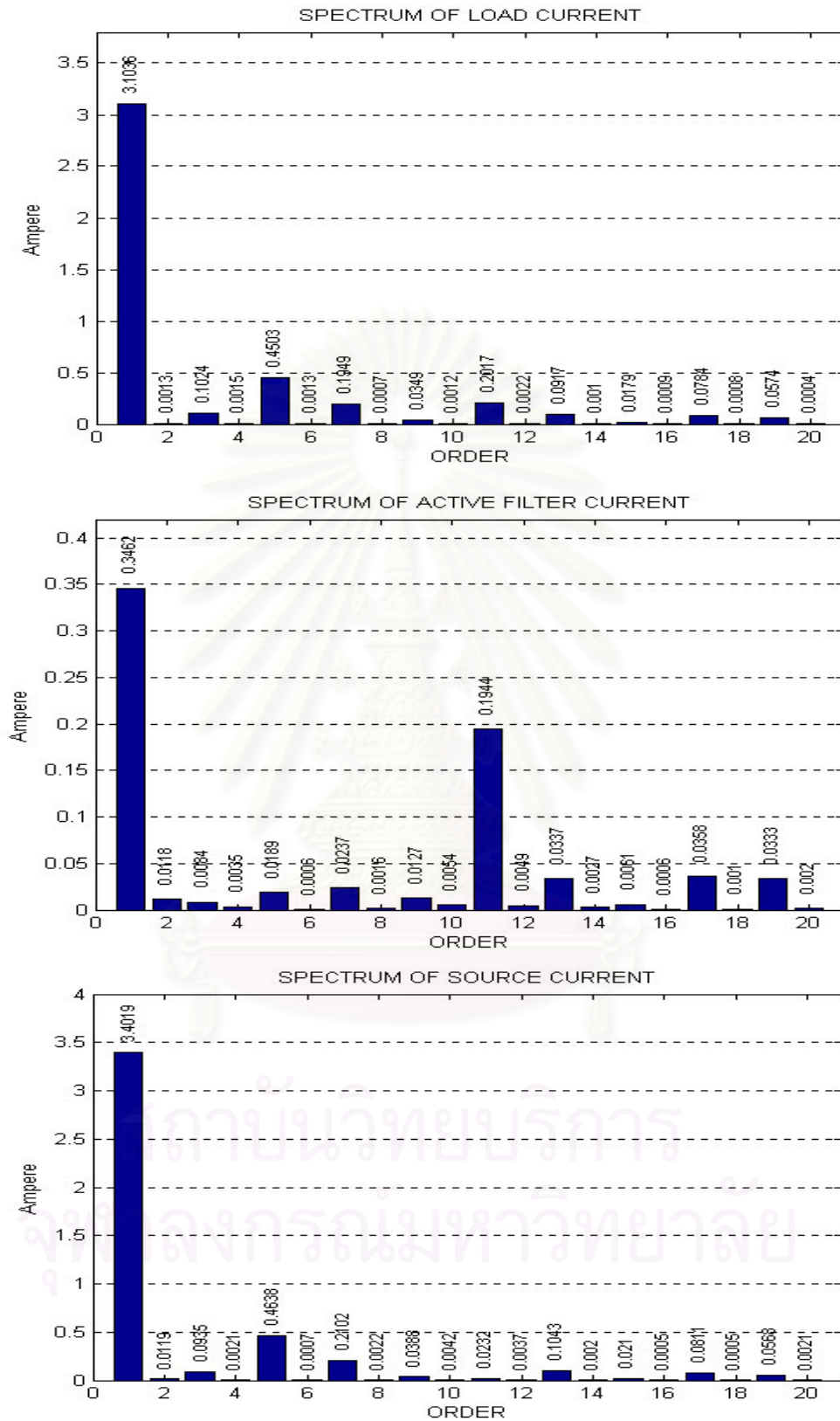
6.2.1.3 กำจัดเฉพาะฮาร์โมนิกอันดับ 11 ที่ความถี่บวกและลบในสายเฟส

ผลการทดสอบแสดงรูปคลื่นสัญญาณของกระแสจากโหลด กระแสของวงจรกรอง แยกทีฟและกระแสจากแหล่งจ่ายดังแสดงในรูปที่ 6.19 และแสดงสเปกตรัมของกระแสฮาร์โมนิกอันดับต่างๆในรูปที่ 6.20 ซึ่งจะเห็นได้ว่ากระแสฮาร์โมนิกอันดับ 11 ในทางด้านแหล่งจ่ายมีขนาดลดลงโดยอัตราการลดทอน $|i_{sh}|/|i_{Lh}|_{h=11} = 0.115$ คือลดลงจาก 0.202 A ทางด้านโหลดเหลือ 0.023 A ทางด้านแหล่งจ่าย



รูปที่ 6.19 กระแสโหลด (บน) กระแสของวงจรกรอง (กลาง) และกระแสของแหล่งจ่าย (ล่าง) ในกรณีกำจัดฮาร์โมนิกอันดับ 11 อันดับบวกและลบในสายเฟส เมื่ออัตราขยายค่าความผิดพลาด $K = 60$

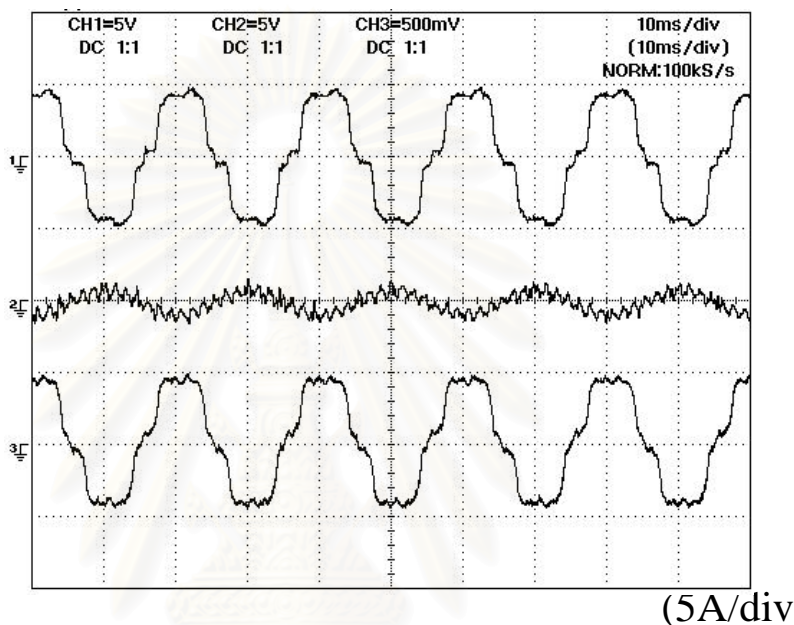
สถาบันวิทยบริการ
จุฬาลงกรณ์มหาวิทยาลัย



รูปที่ 6.20 สเปกตรัมของกระแสในทรานส์ทางด้านโหลด ทางด้านแหล่งจ่ายและกระแสจากแหล่งจ่าย กรณีกำจัดฮาร์มอนิกอันดับ 11 ซีเควนซ์บวกและลบเมื่ออัตราขยายค่าความผิดพลาด $K = 60$

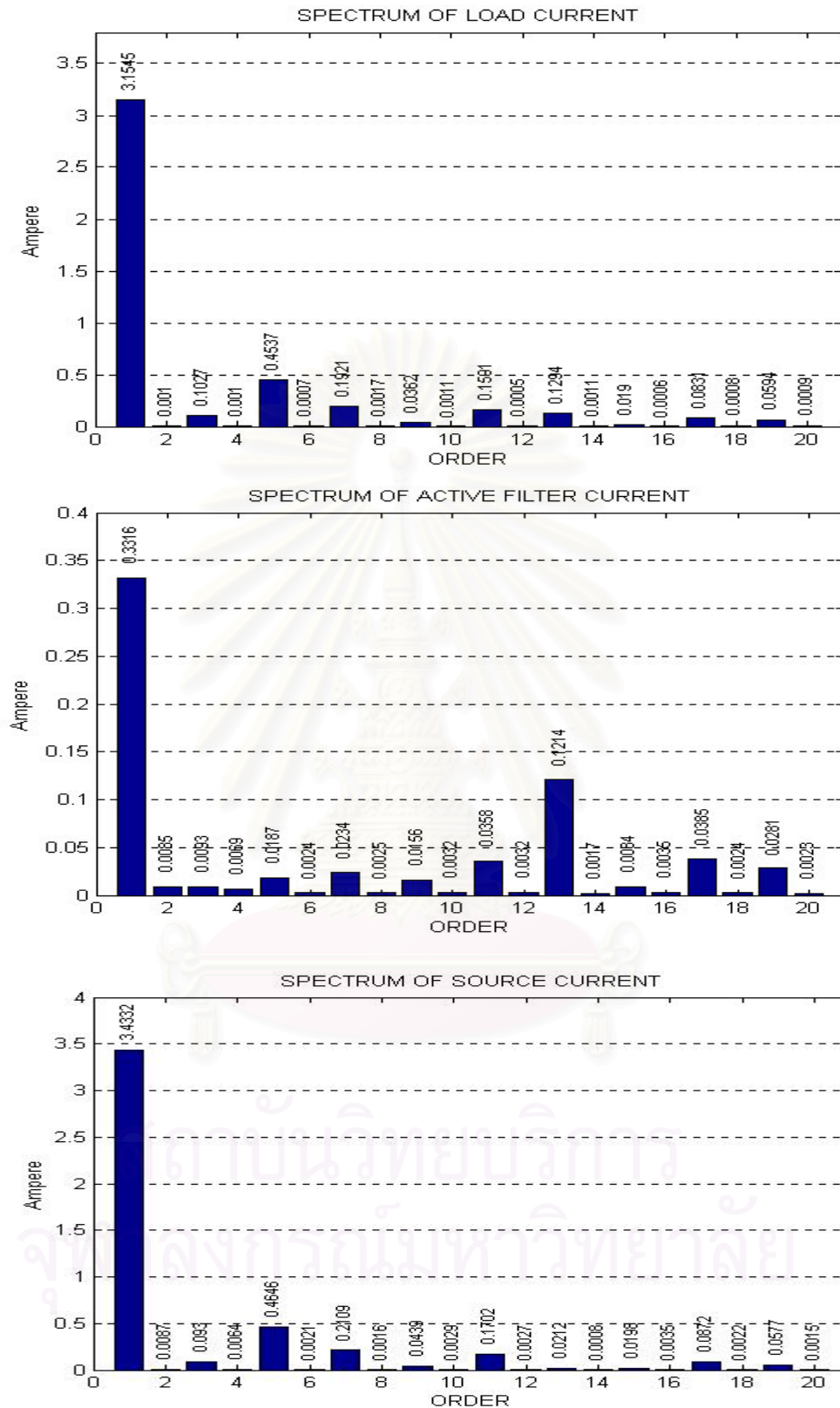
6.2.1.4 กำจัดเฉพาะฮาร์โมนิกอันดับ 13 ที่ความเร็วขั้วบวกและลบในสายเฟส

ผลการทดสอบแสดงรูปคลื่นสัญญาณของกระแสจากโหลด กระแสของวงจรกรอง แยกทีฟและกระแสจากแหล่งจ่ายดังแสดงในรูปที่ 5.21 และแสดงสเปกตรัมของกระแสฮาร์โมนิก อันดับต่างๆในรูปที่ 5.22 ซึ่งจะเห็นได้ว่ากระแสฮาร์โมนิกอันดับ 13 ในทางด้านแหล่งจ่ายมีขนาดลดลงไม่มากนักโดยอัตราการลดทอน $|i_{sh}|/|i_{Lh}|_{h=13} = 0.163$ คือลดลงจาก 0.129 A ทางด้านโหลด เหลือ 0.021 A ทางด้านแหล่งจ่าย



รูปที่ 6.21 กระแสโหลด (บน) กระแสของวงจรกรอง (กลาง) และกระแสของแหล่งจ่าย (ล่าง) ในกรณีกำจัดฮาร์โมนิกอันดับ 13 อันดับบวกและลบในสายเฟส เมื่ออัตราขยายค่าความผิดพลาด $K = 60$

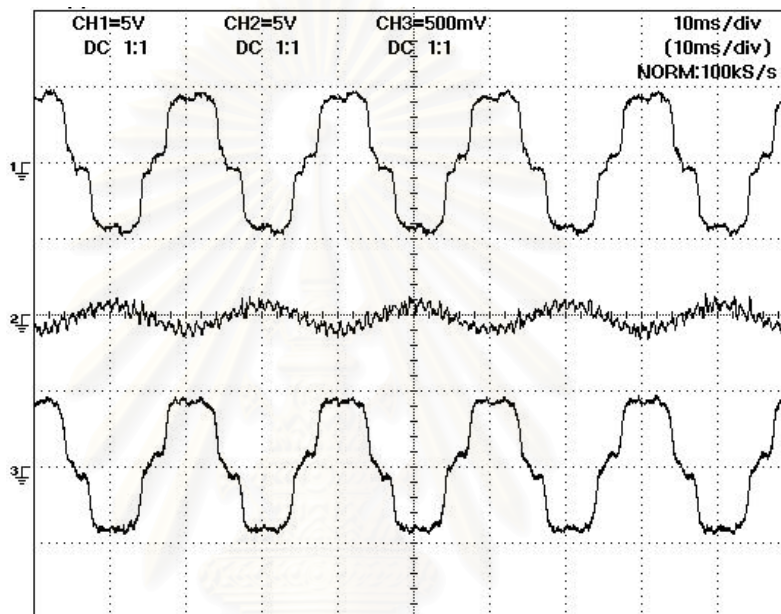
สถาบันวิทยบริการ
จุฬาลงกรณ์มหาวิทยาลัย



รูปที่ 6.22 สเปกตรัมของกระแสในวงจรทางด้านโหลด ทางด้านแหล่งจ่ายและกระแสจากแหล่งจ่าย
กรณีกำจัดฮาร์โมนิกอันดับ 13 ที่ความถี่ขั้วและลบเมื่ออัตราขยายค่าความผิดพลาด $K = 60$

6.2.1.5 กำจัดเฉพาะฮาร์โมนิกอันดับ 17 ซึ่งแควนซ์บวกและลบในสายเฟส

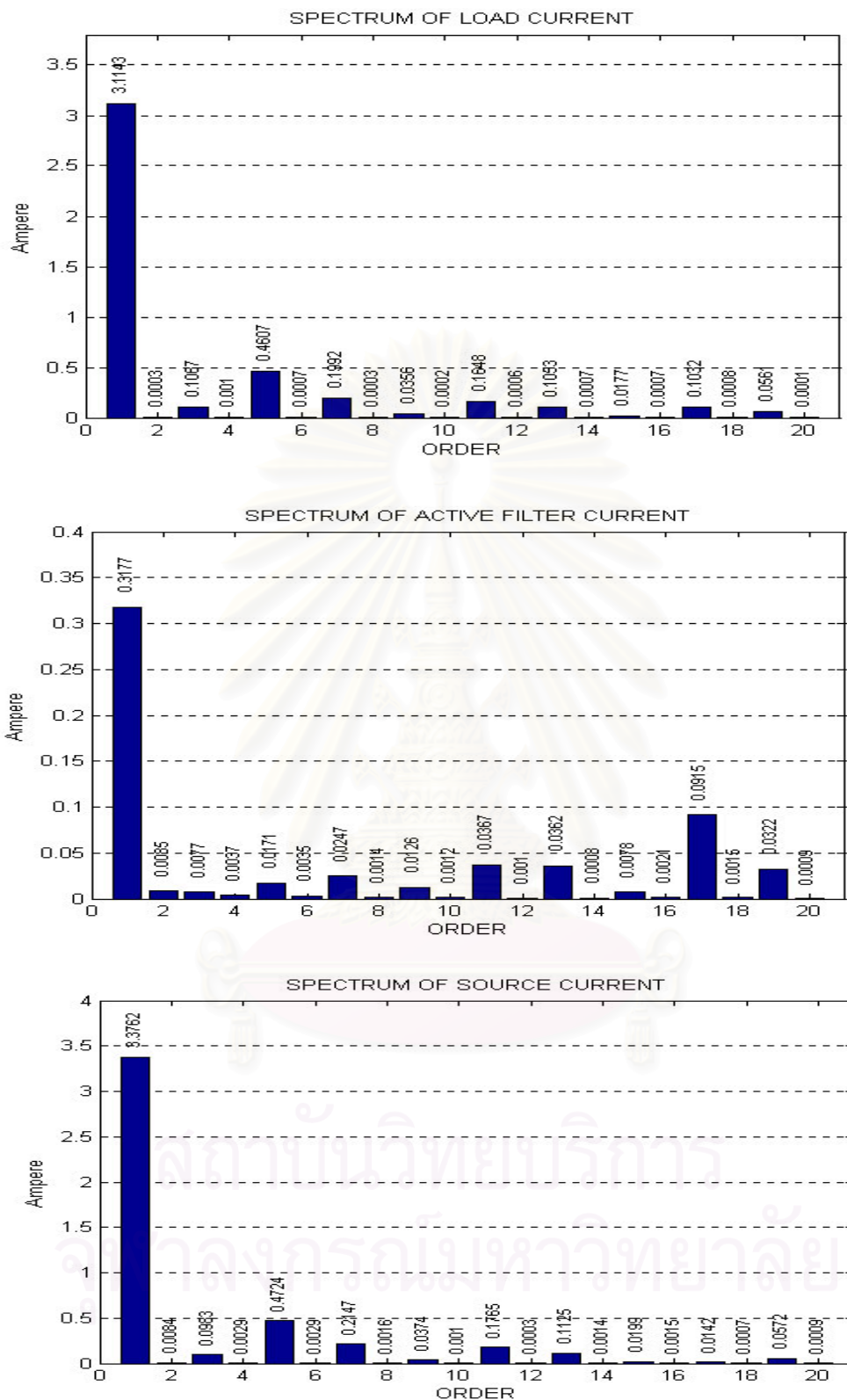
ผลการทดสอบแสดงรูปคลื่นสัญญาณของกระแสจากโหลด กระแสของวงจรกรองแอกทีฟและกระแสจากแหล่งจ่ายดังแสดงในรูปที่ 6.23 และแสดงสเปกตรัมของกระแสฮาร์โมนิกอันดับต่างๆในรูปที่ 6.24 ซึ่งจะเห็นได้ว่ากระแสฮาร์โมนิกอันดับ 17 ในทางด้านแหล่งจ่ายมีขนาดลดลงโดยอัตราการลดทอน $|i_{sh}|/|i_{Lh}|_{h=7} = 0.137$ คือลดลงจาก 0.103 A ทางด้านโหลดเหลือ 0.014 A ทางด้านแหล่งจ่าย



(5A/div)

รูปที่ 6.23 กระแสโหลด (บน) กระแสของวงจรกรอง (กลาง) และกระแสของแหล่งจ่าย (ล่าง)
 ในกรณีกำจัดฮาร์โมนิกอันดับ 17 อันดับบวกและลบในสายเฟส เมื่ออัตราขยายค่าความ
 ผิดพลาด $K = 60$

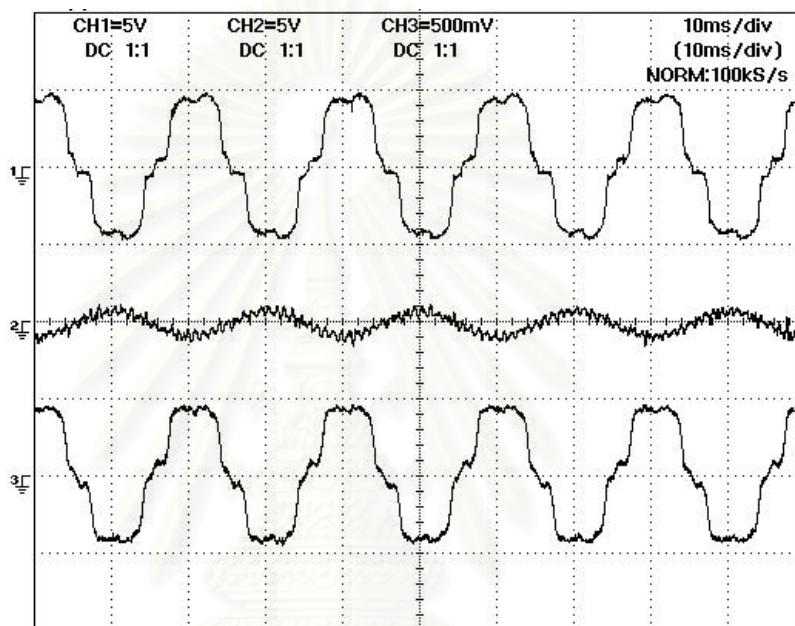
สถาบันวิทยบริการ
 จุฬาลงกรณ์มหาวิทยาลัย



รูปที่ 6.24 สเปกตรัมของกระแสไฟฟ้าทางด้านโหลด ทางด้านแหล่งจ่ายและกระแสจากแหล่งจ่าย กรณีกำจัดฮาร์มอนิกอันดับ 17 ซึ่ความถี่ขั้วบวกและลบเมื่ออัตราขยายค่าความผิดพลาด $K = 60$

6.2.1.6 กำจัดเฉพาะฮาร์โมนิกอันดับ 19 ซึ่งเกินช่วงและลบในสายเฟส

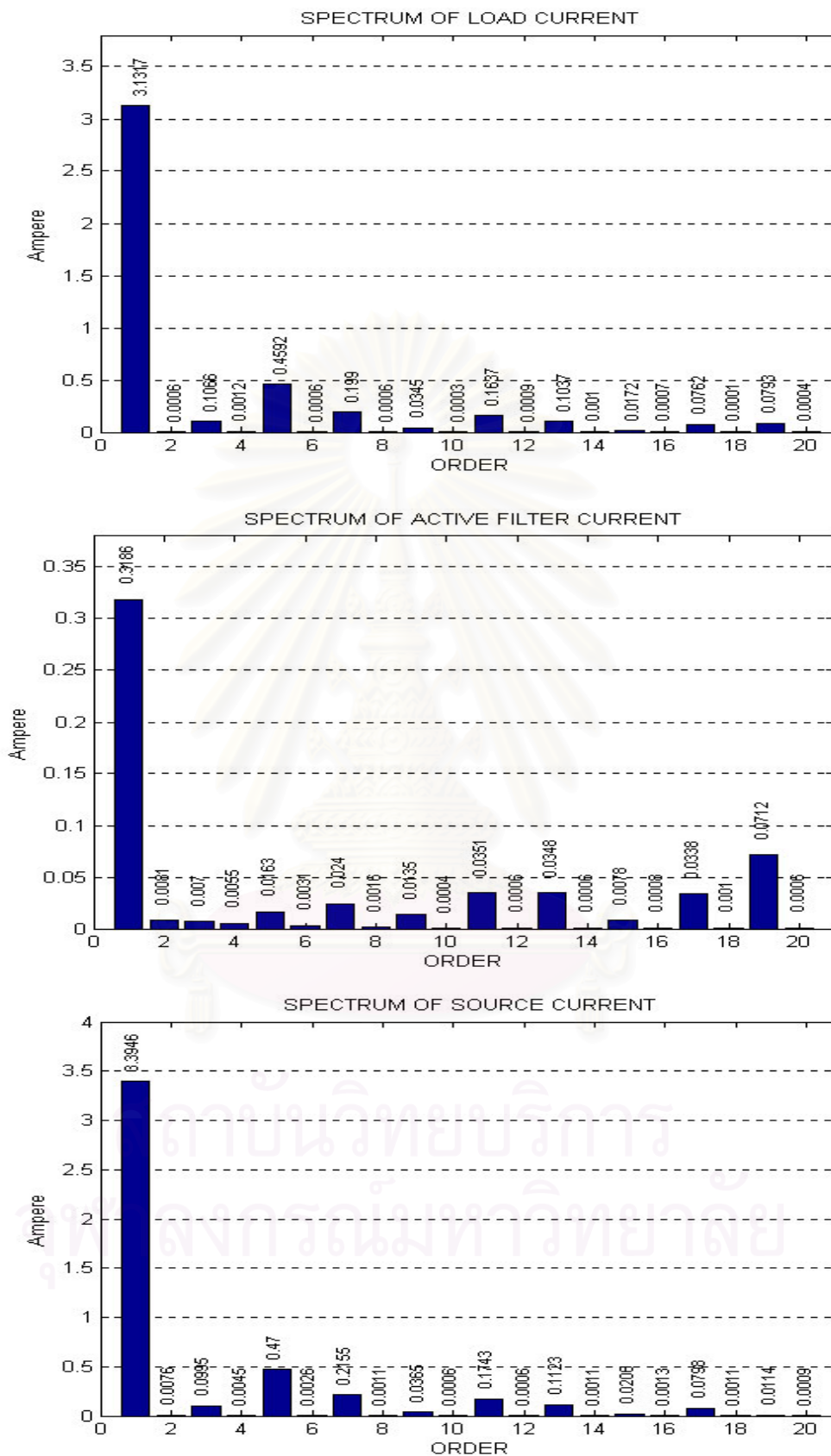
ผลการทดสอบแสดงรูปคลื่นสัญญาณของกระแสจากโหลด กระแสของวงจรกรองแอกทีฟและกระแสจากแหล่งจ่ายดังแสดงในรูปที่ 6.25 และแสดงสเปกตรัมของกระแสฮาร์โมนิกอันดับต่างๆในรูปที่ 6.26 ซึ่งจะเห็นได้ว่ากระแสฮาร์โมนิกอันดับ 19 ในทางด้านแหล่งจ่ายมีขนาดลดลงโดยอัตราการลดทอน $|i_{sh}|/|i_{Lh}|_{h=7} = 0.143$ คือลดลงจาก 0.079 A ทางด้านโหลดเหลือ 0.011 A ทางด้านแหล่งจ่าย



(5A/div)

รูปที่ 6.25 กระแสโหลด (บน) กระแสของวงจรกรอง (กลาง) และกระแสของแหล่งจ่าย (ล่าง)
 ในกรณีกำจัดฮาร์โมนิกอันดับ 19 อันดับบวกและลบในสายเฟส เมื่ออัตราขยายค่าความ
 ผิดพลาด $K = 60$

สถาบันวิทยบริการ
 จุฬาลงกรณ์มหาวิทยาลัย



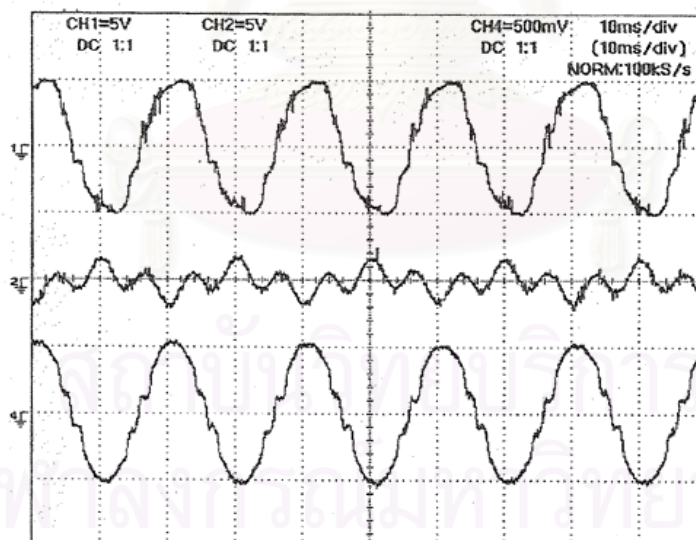
รูปที่ 6.26 สเปกตรัมของกระแสตัวทริลทางด้านโหลด ทางด้านแหล่งจ่ายและกระแสจากแหล่งจ่าย
กรณีกำจัดฮาร์มอนิกอันดับ 19 ซีควนซ์บวกและลบเมื่ออัตราขยายค่าความผิดพลาด $K = 60$

6.2.2 กรณีกำจัดฮาร์มอนิกซีเควนซ์ศูนย์

การกำจัดฮาร์มอนิกซีเควนซ์ศูนย์ได้แก่ ฮาร์มอนิกอันดับ 3, 9, 15 ซึ่งในกรณีโหลดไม่สมดุล ฮาร์มอนิกเหล่านี้มีปรากฏมากในสายนิวทรัลดังนั้นจึงตรวจจับฮาร์มอนิกอันดับเหล่านี้ทั้งในสายเฟสและในสายนิวทรัล แต่เพื่อให้การตรวจจับและการกำจัดฮาร์มอนิกในกรณีโหลดไม่สมดุลและกำจัดฮาร์มอนิกซีเควนซ์ศูนย์มีความชัดเจนมากขึ้นจึงเพิ่มกำลังของโหลดวงจรเรียงกระแส 1 เฟสให้มากขึ้นเป็น 500VA มีโหลดเป็นความต้านทาน 80 Ω ต่ออนุกรมกับตัวเหนี่ยวนำขนาด 175 mH และลดขนาดของโหลด 3 เฟสของวงจรเรียงกระแสลงเป็น 850 VA มีโหลดเป็นความต้านทาน 240 Ω ต่ออนุกรมกับตัวเหนี่ยวนำ 10 mH เนื่องจากโหลด 1 เฟสต่อที่เฟส w ดังนั้นค่าที่แสดงและวิเคราะห์จึงเป็นค่าที่วัดจากกระแสในเฟส w

6.2.2.1 กำจัดเฉพาะฮาร์มอนิกอันดับ 3 ในสายเฟสและสายนิวทรัล

ผลการทดสอบแสดงรูปคลื่นสัญญาณของกระแสจากโหลด กระแสของวงจรกรองแอกทีฟและกระแสจากแหล่งจ่ายดังแสดงในรูปที่ 6.27 และแสดงสเปกตรัมของกระแสฮาร์มอนิกอันดับต่างๆในรูปที่ 6.28 ซึ่งจะเห็นได้ว่ากระแสฮาร์มอนิกอันดับ 3 ในทางในสายนิวทรัลด้านแหล่งจ่ายมีขนาดลดลงโดยอัตราการลดทอน $|i_{Ns}|/|i_{NL}|_{h=3} = 0.172$ คือลดลงจาก 0.302 A ทางด้านโหลดเหลือ 0.053 A ทางด้านแหล่งจ่าย

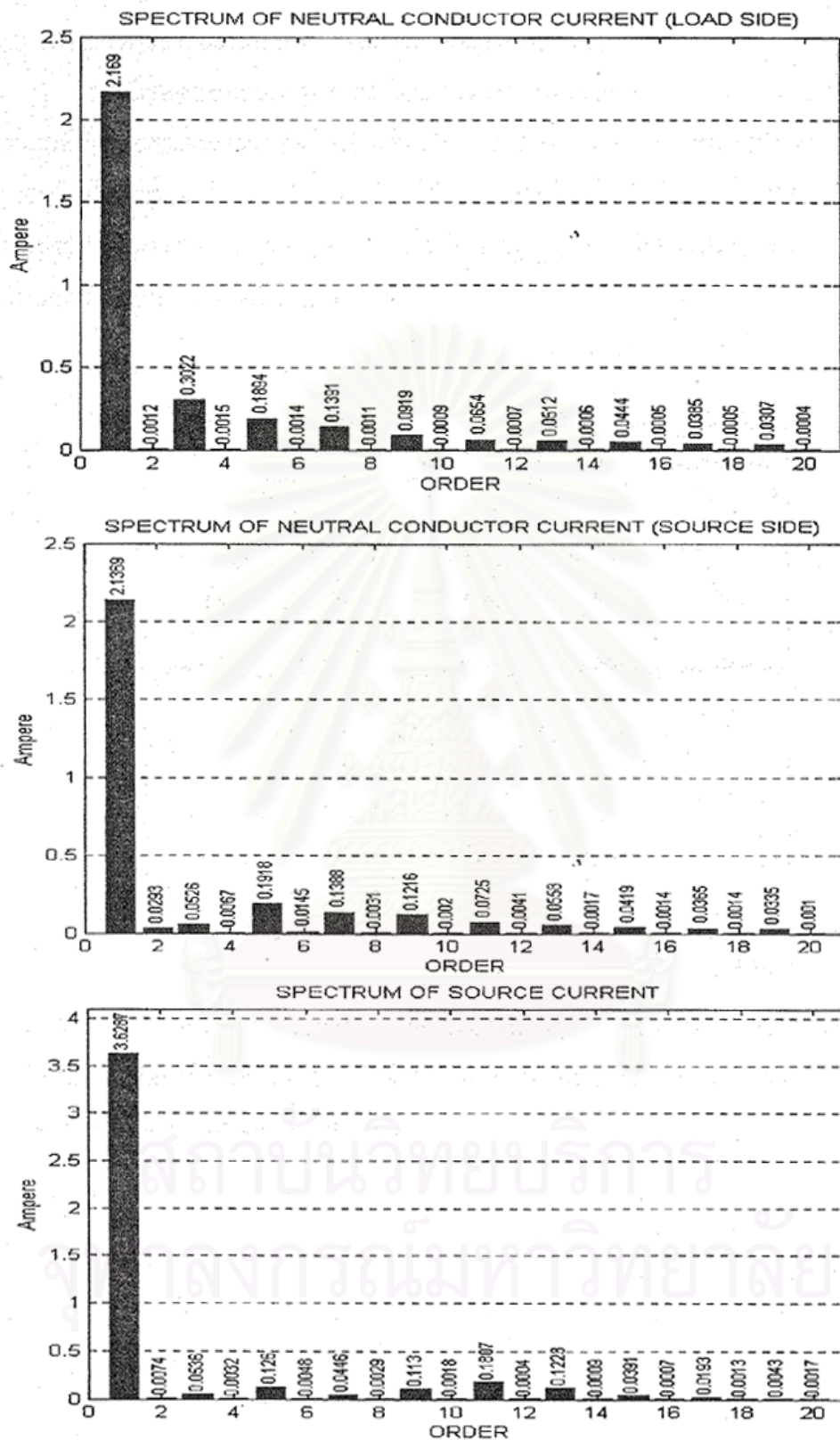


(5A/div)

รูปที่ 6.27 กระแสโหลด (บน) กระแสของวงจรกรอง (กลาง) และกระแสของแหล่งจ่าย (ล่าง)

ในกรณีกำจัดฮาร์มอนิกอันดับ 3 อันดับบวกและลบในสายเฟสและในสายนิวทรัลเมื่อ

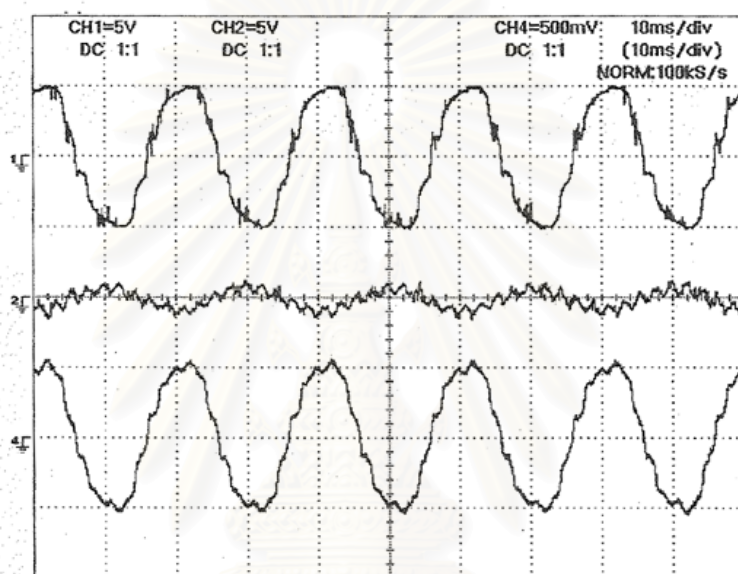
อัตราขยายค่าความผิดพลาด $K = 60$



รูปที่ 6.28 สเปกตรัมของกระแสฮาร์มอนิกทางด้านโหลด ทางด้านแหล่งจ่ายและกระแสจากแหล่งจ่าย กรณีกำจัดฮาร์มอนิกอันดับ 3 ในสายเฟสและในสายนิวทรัลเมื่ออัตราขยายค่าความผิดพลาด $K = 60$

6.2.2.2 กำจัดเฉพาะฮาร์โมนิกอันดับ 9 ในสายเฟสและสายนิวทรัล

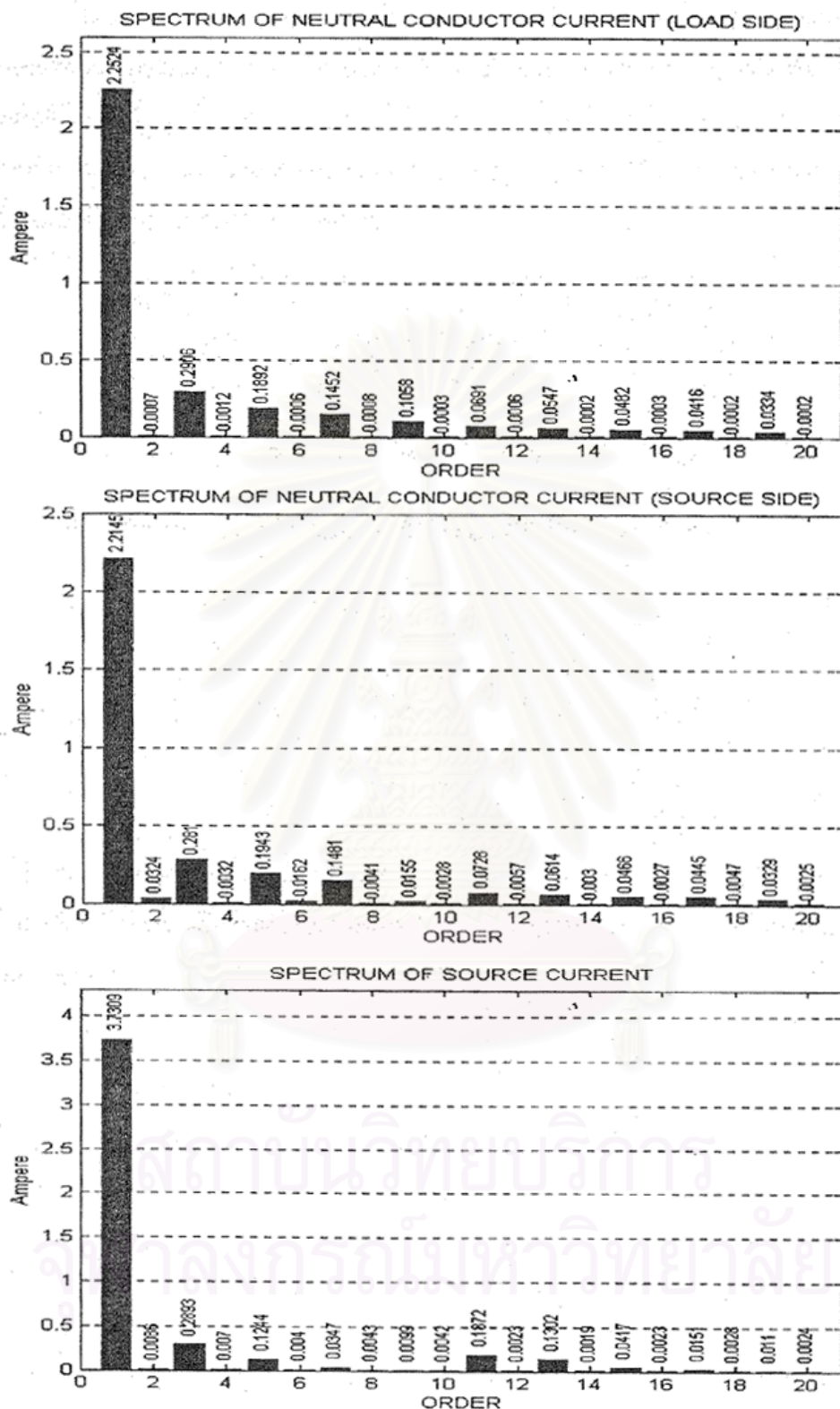
ผลการทดสอบแสดงรูปคลื่นสัญญาณของกระแสจากโหลด กระแสของวงจรกรองแอกทีฟและกระแสจากแหล่งจ่ายดังแสดงในรูปที่ 6.29 และแสดงสเปกตรัมของกระแสฮาร์โมนิกอันดับต่างๆในรูปที่ 6.30 ซึ่งจะเห็นได้ว่ากระแสฮาร์โมนิกอันดับ 9 ในทางในสายนิวทรัลด้านแหล่งจ่ายมีขนาดลดลงโดยอัตราการลดทอน $|i_{Ns}|/|i_{NL}|_{h=9} = 0.163$ คือลดลงจาก 0.106 A ทางด้านโหลดเหลือ 0.015 A ทางด้านแหล่งจ่าย



(5A/div)

รูปที่ 6.29 กระแสโหลด (บน) กระแสของวงจรกรอง (กลาง) และกระแสของแหล่งจ่าย (ล่าง) ในกรณีกำจัดฮาร์โมนิกอันดับ 9 อันดับบวกและลบในสายเฟสและในสายนิวทรัลเมื่อ อัตราขยายค่าความผิดพลาด $K = 60$

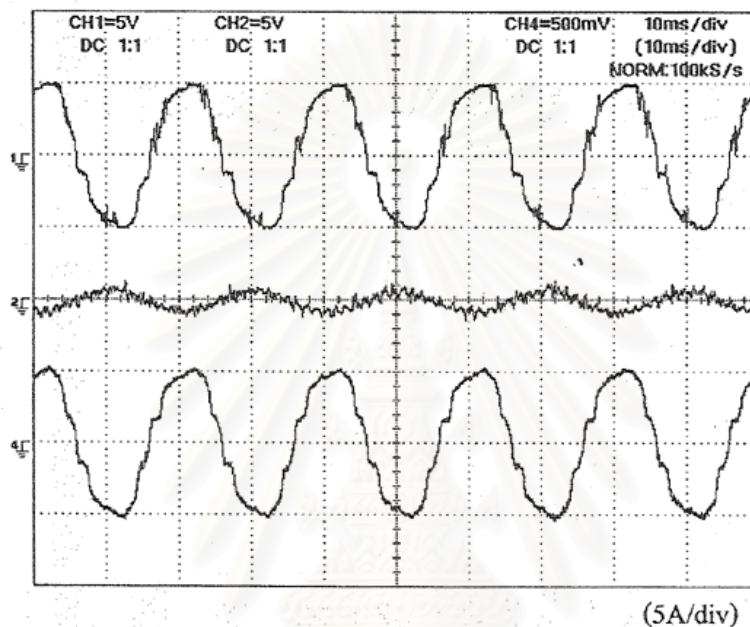
สถาบันวิทยบริการ
จุฬาลงกรณ์มหาวิทยาลัย



รูปที่ 6.30 สเปกตรัมของกระแสนิวทรัลทางด้านโหลด ทางด้านแหล่งจ่ายและกระแสจากแหล่งจ่าย กรณีกำลังจัดฮาร์มอนิกอันดับ 9 ในสายเฟสและในสายนิวทรัลเมื่ออัตราขยายค่าความผิดพลาด $K = 60$

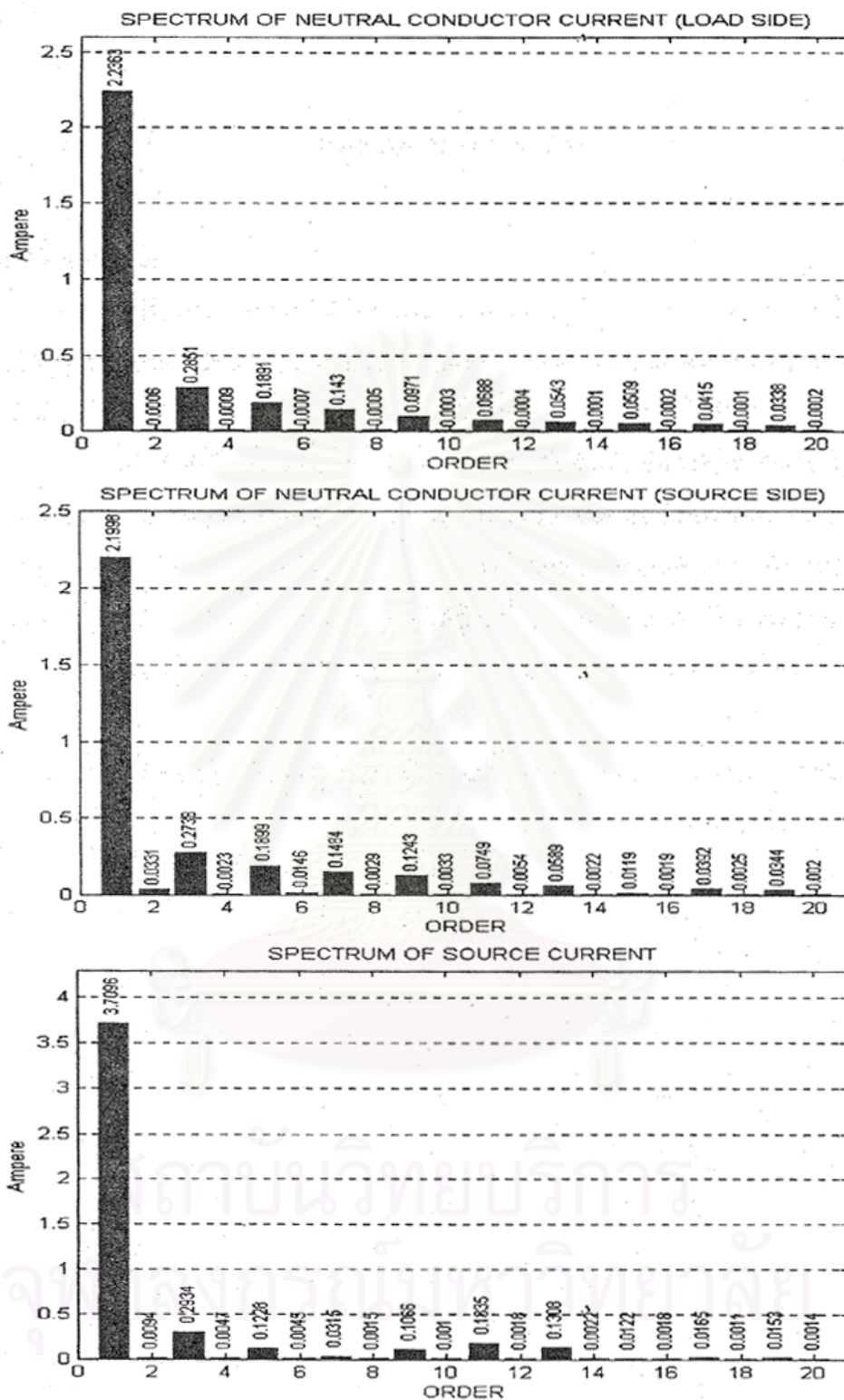
6.2.2.3 กำจัดเฉพาะฮาร์โมนิกอันดับ 15 ในสายเฟสและสายนิวทรัล

ผลการทดสอบแสดงรูปคลื่นสัญญาณของกระแสจากโหลด กระแสของวงจรกรองแอกทีฟและกระแสจากแหล่งจ่ายดังแสดงในรูปที่ 6.31 และแสดงสเปกตรัมของกระแสฮาร์โมนิกอันดับต่างๆในรูปที่ 6.32 ซึ่งจะเห็นได้ว่ากระแสฮาร์โมนิกอันดับ 15 ในทางในสายนิวทรัลด้านแหล่งจ่ายมีขนาดลดลงโดยอัตราการลดทอน $|i_{Ns}|/|i_{NL}|_{h=15} = 0.233$ คือลดลงจาก 0.051 A ทางด้านโหลดเหลือ 0.012 A ทางด้านแหล่งจ่าย



รูปที่ 6.31 กระแสโหลด (บน) กระแสของวงจรกรอง (กลาง) และกระแสของแหล่งจ่าย (ล่าง) ในกรณีกำจัดฮาร์โมนิกอันดับ 15 อันดับบวกและลบในสายเฟสและในสายนิวทรัลเมื่อ อัตราขยายค่าความผิดพลาด $K = 60$

สถาบันวิทยบริการ
จุฬาลงกรณ์มหาวิทยาลัย



รูปที่ 6.32 สเปกตรัมของกระแสตัวนำทางด้านโหลด ทางด้านแหล่งจ่ายและกระแสจากแหล่งจ่าย
กรณีกำจัดฮาร์มอนิกอันดับ 15 ในสายเฟสและในสายตัวนำเมื่ออัตราขยายค่าความผิด
พลาด $K = 60$

บทที่ 7

บทสรุปและข้อเสนอแนะ

7.1 สรุปผลการวิจัย

จากการวิจัยสามารถสรุปได้ว่าสามารถนำการตรวจจับฮาร์มอนิกแบบรีเคอร์ซีฟดีเอฟทีซึ่งเดิมใช้สำหรับการตรวจจับฮาร์มอนิกในระบบ 3 เฟส 3 สายมาประยุกต์ใช้กับการตรวจจับฮาร์มอนิกในสายนิวทรัลได้ นอกจากนี้ยังได้นำเสนอการควบคุมกระแสแบบวิธีทำซ้ำซึ่งมีความเหมาะสมสำหรับสัญญาณคำสั่งที่เป็นสัญญาณไซน์หลายความถี่ปะปนกันดังเช่นวงจรกรองแอกทีฟ ผลการทำงานของวงจรกรองแอกทีฟที่ตรวจจับกระแสในสายนิวทรัลแบบรีเคอร์ซีฟดีเอฟทีและการควบคุมกระแสแบบวิธีทำซ้ำได้แสดงให้เห็นทั้งในผลการจำลองการทำงานและผลการทำงานในระบบจริงว่าสามารถลดกระแสฮาร์มอนิกจากแหล่งจ่ายได้ซึ่งสามารถเปรียบเทียบปริมาณของกระแสฮาร์มอนิกในระบบเมื่อเทียบเป็นอัตราส่วนกระแส 16 A กับมาตรฐาน IEC 1000-3-2 ได้ดังนี้

ตารางที่ 7.1 เปรียบเทียบปริมาณฮาร์มอนิกกรณีโหลดสมดุลและกำจัดฮาร์มอนิกหมดทุกอันดับ
(กระแสที่แหล่งจ่าย 2.58 Arms)

ฮาร์มอนิกอันดับที่	ค่าตามมาตรฐาน (Arms)	กระแสฮาร์มอนิกที่แหล่งจ่าย (Arms)
3	2.30	0.14
5	1.14	0.31
7	0.77	0.15
9	0.40	0.12
11	0.33	0.18
13	0.21	0.23
15	0.15	0.09
17	0.13	0.26
19	0.12	0.23

ตารางที่ 7.2 เปรียบเทียบปริมาณสารมือนิกกรณีโหลดสมดุลและกำจัดสารมือนิกเฉพาะอันดับ

สารมือนิกอันดับที่	ค่ากระแสในแหล่งจ่าย (Arms)	ค่าตามมาตรฐาน (Arms)	กระแสสารมือนิกที่แหล่งจ่าย (Arms)
5	2.62	1.14	0.35
7	2.58	0.77	0.10
11	2.59	0.33	0.08
13	2.58	0.21	0.06
17	2.55	0.13	0.11
19	2.57	0.12	0.11

ตารางที่ 7.3 เปรียบเทียบปริมาณสารมือนิกกรณีโหลดไม่สมดุลและกำจัดสารมือนิกเฉพาะอันดับในสายเฟส

สารมือนิกอันดับที่	ค่ากระแสในแหล่งจ่าย (Arms)	ค่าตามมาตรฐาน (Arms)	กระแสสารมือนิกที่แหล่งจ่าย (Arms)
5	3.55	1.14	0.32
7	3.52	0.77	0.16
11	3.44	0.33	0.11
13	3.48	0.21	0.09
17	3.42	0.13	0.07
19	3.44	0.12	0.05

ตารางที่ 7.4 เปรียบเทียบปริมาณสารมือนิกกรณีโหลดไม่สมดุลและกำจัดสารมือนิกเฉพาะอันดับในสายเฟสและสายนิวทรัล

สารมือนิกอันดับที่	ค่ากระแสในแหล่งจ่าย (Arms)	ค่าตามมาตรฐาน (Arms)	กระแสสารมือนิกที่แหล่งจ่าย (Arms)
3	3.64	2.3	0.24
9	3.75	0.4	0.042
15	3.73	0.15	0.05

จากตารางเปรียบเทียบที่ 7.1-7.4 พบว่าค่าของฮาร์มอนิกที่คำนวณได้เมื่อเปรียบเทียบสัดส่วนกระแสที่แหล่งจ่ายเป็น 16 A สอดคล้องกับข้อกำหนดฮาร์มอนิกตามมาตรฐาน แต่ยังมีบางกรณีที่ระดับของฮาร์มอนิกอันดับสูงมีค่าสูงกว่าค่ากำหนดเช่นในกรณีของโหลดสมมูล และจำกัดหมด ทั้งนี้เนื่องจากผลของค่าอัตราขยายของวงจรกรองผ่านต่ำที่เริ่มมีค่าลดลง นอกจากนี้ยังมีผลเนื่องมาจากเวลาประวิงในการชดเชยที่มีผลมากต่อเฟสของกระแสชดเชยฮาร์มอนิกอันดับสูง

7.2 ข้อเสนอแนะ

การควบคุมกระแสแบบวิธีทำซ้ำมีข้อที่ต้องพิจารณาคือเรื่องของเสถียรภาพในการควบคุม ปัจจัยหนึ่งที่มีผลมากก็คือค่าความถี่ตัดของวงจรกรองผ่านต่ำ การเลือกค่าความถี่นี้มีผลเกี่ยวข้องกับค่าความถี่การสวิตช์ของอินเวอร์เตอร์และค่าอิมพีแดนซ์ระหว่างวงจรกรองแยกที่ฟักกับสายกำลัง ซึ่งถ้าหากความถี่ตัดที่เลือกนี้ไม่สูงเพียงพอ ก็มีผลให้คุณสมบัติที่ดีในการกำจัดฮาร์มอนิกอันดับสูงลดลงไปด้วย

สถาบันวิทยบริการ
จุฬาลงกรณ์มหาวิทยาลัย

รายการอ้างอิง

ภาษาไทย

- กิติพจน์ สิทธิเลิศพิศาล. วงจรกรองกำลังแอกทีฟแบบอนุกรมสำหรับลดฮาร์มอนิกและรักษาระดับแรงดัน. วิทยานิพนธ์ปริญญาโทมหาบัณฑิต ภาควิชาวิศวกรรมไฟฟ้า จุฬาลงกรณ์มหาวิทยาลัย, 2539.
- สรรคัทธิพงษ์ โหมยิตเกษม. วงจรกรองกำลังแอกทีฟขนานแบบไฮบริดสำหรับกำจัดฮาร์มอนิก. วิทยานิพนธ์ปริญญาโทมหาบัณฑิต ภาควิชาวิศวกรรมไฟฟ้า จุฬาลงกรณ์มหาวิทยาลัย, 2539.
- สันต์ ศรีธรรมจักรง. วงจรกรองกำลังแอกทีฟแบบขนานที่ใช้การตรวจจับกระแสฮาร์มอนิกด้วยรีเลย์รีซีฟตีเอฟที. วิทยานิพนธ์ปริญญาโทมหาบัณฑิต ภาควิชาวิศวกรรมไฟฟ้า จุฬาลงกรณ์มหาวิทยาลัย, 2541.
- สฤรรัตน์ ศิริพันธ์โนน. วงจรแปลงผันกำลังไฟฟ้าที่มีความเพี้ยนของกระแสด้านเข้าต่ำสำหรับแหล่งจ่ายไฟต่อเนื่อง. วิทยานิพนธ์ปริญญาโทมหาบัณฑิต ภาควิชาวิศวกรรมไฟฟ้า จุฬาลงกรณ์มหาวิทยาลัย, 2543.

ภาษาอังกฤษ

- A. Salem nia and S.Saadate. "Digital Control Active Filter Suppressing Particular Harmonics: Numerical Simulation and Experimentation". Proc. of ICHQP-Las Vegas , pp.632-36,1996.
- C.Quinn, N. Mohan and H. Mehta. "A Four-Wire, Current Controlled Converter Neutralization in Three Phase, Four Wire systems". 1993 IEEE/APEC Proceedings, pp. 841-846.
- F.Z.Peng , M. Kohata and H. Akagi. "Compensation Characteristic of Shunt Active and Series Active Filters". Chinese-Japanese Power Electronics Conference , pp. 381-387, 1992.
- H.Akagi, Y. Kanazawa and A. Nabae . "Generalized Theory of the Instantaneous Reactive Power in Three-Phase Circuits". Proc. of IPEC-Tokyo, pp.1375-1386, 1983.
- M. Aredes, E.H. Watanabe. "New Control Algorithms for Series and Shunt Three- Phase Four-Wire Active Power Filters". IEEE Trans. on Power Delivery Vol. 10, NO.3 July, pp.1649-1656, 1995.

- N. Nanaumi, S. Kuramoti and M. Yano. "Comparision of Versatile Harmonics Current Compensation and Specific Harmonics Number Current Compensation". Conf. Rec. of Japan IAS, pp. 407-410, 1996.
- P. Enjeti et al, "Analysis and Design of a New Power Active Filter to Cancel Neutral Current Harmonics in a Three-Phase Four Wire Electrical Systems". 1993 IEEE/IAS Confrence Records, pp. 939-946
- S. Hara, Y. Yamamoto, T. Omata and M. Nakano. "Repetitive Control System: A new type Servo System for Periodic Exogenous Signals". IEEE Trans. on Autom. Contr.,AC-33, pp. 659-667, July,1988.
- T. Thomas, K. Haddad, G.Joos and A. Jaffari. "Performance Evaluation of Three phase, Three and Four Wire Active Filter".IEEE Trans. Ind. Appl., Vol.2, pp.1016-1023, 1996.



สถาบันวิทยบริการ
จุฬาลงกรณ์มหาวิทยาลัย



ภาคผนวก

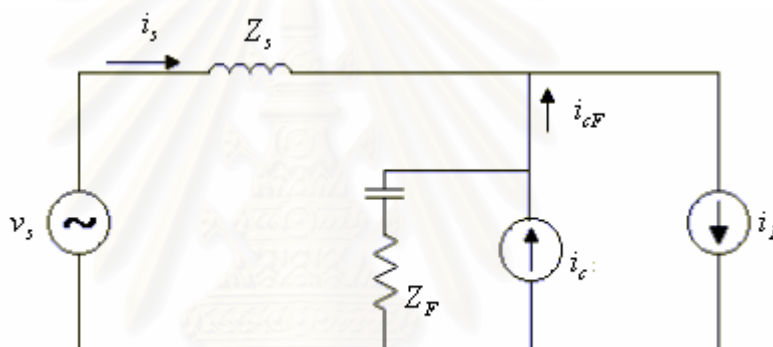
สถาบันวิทยบริการ
จุฬาลงกรณ์มหาวิทยาลัย

ภาคผนวก ก

วงจรรองความถี่การสวิตช์ด้านออก

(สันต์ ศรีธรรมราช, 2541)

เนื่องจากกระแสที่ได้จากการสร้างโดยอินเวอร์เตอร์จะมีระลอกคลื่นที่ความถี่การสวิตช์ปะปนอยู่มากดังนั้นทางด้านออกของอินเวอร์เตอร์จำเป็นต้องมีวงจรรอง เพื่อใช้กรองระลอกกระแสความถี่การสวิตช์ที่เกิดขึ้นนี้ทิ้งก่อนจ่ายกระแสเข้าสู่ระบบไฟฟ้า โดยใช้วงจรรอง R ต่ออนุกรมกับ C ต่อขนานเข้ามาในระบบ วงจรสมมูลต่อเฟสของระบบเมื่อมีการต่อวงจรรองความถี่การสวิตช์เพิ่มเข้ามาแสดงได้ดังรูปที่ ก.1 วงจรรอง R - C สามารถทำงานได้ดีเนื่องจากแหล่งจ่ายมีอิมพีแดนซ์เป็นตัวยาวนำซึ่งทำให้มีค่าอิมพีแดนซ์สูงที่ความถี่การสวิตช์



รูปที่ ก.1 วงจรสมมูล 1 เฟสของระบบเมื่อต่อวงจรรองกระแสความถี่การสวิตช์

จากรูปที่ ก.1 ฟังก์ชันโอนย้ายจากกระแสชดเชยที่ออกจากอินเวอร์เตอร์ (i_c) ไปยังกระแสชดเชยที่ถูกกรองแล้ว (i_{cF}) แสดงได้ดังสมการที่ (ก.1)

$$A(s) = \frac{i_{cF}(s)}{i_c(s)} = \frac{sRC + 1}{s^2 L_s C + sRC + 1} \quad (\text{ก.1})$$

เมื่อ $Z_s = sL_s$ โดยที่ L_s คือ ค่าความเหนี่ยวนำสมมูลของแหล่งจ่าย

R คือ ค่าความต้านทานของวงจรรอง

C คือ ค่าความจุของตัวเก็บประจุของวงจรรอง

ฟังก์ชันโอนย้าย $A(s)$ จะเป็นวงจรรองอันดับ 2 ซึ่งมีพารามิเตอร์ที่สำคัญคือ

- ขั้วของฟังก์ชันโอนย้าย

- ความถี่ $\frac{1}{\sqrt{L_s C}}$

- ความถี่ $\frac{1}{RC}$

เราจะมีหลักการออกแบบค่า R และ C ดังต่อไปนี้

1. เพื่อให้คุณสมบัติการกรองที่ความถี่สูงดี เราจะเลือกให้การกรองมีคุณสมบัติหลักเป็น L - C โดย R ที่ต่ออนุกรมกับ C จะช่วยลดการเรโซแนนซ์ ซึ่งจะได้เงื่อนไขคือ

$$\frac{1}{\sqrt{L_s C}} < \frac{1}{RC}$$

ซึ่งจะทำให้ได้ความถี่หักมุมของวงจรกรองโดยประมาณเป็น $\frac{1}{\sqrt{L_s C}}$ และมีศูนย์ที่ความถี่สูงที่

ความถี่ $\frac{1}{RC}$

2. เนื่องจากเราไม่ต้องการให้วงจรกรองพาสซีฟรับภาระการกรองฮาร์มอนิกอันดับสูงของโหลด ดังนั้นต้องเลือกค่า C เพื่อให้ความถี่หักมุมสูงพอ คือมากกว่าฮาร์มอนิกอันดับ 19 จะได้เงื่อนไข

$$\frac{1}{\sqrt{L_s C}} > 2\pi \times 1kHz$$

3. ระบบจะเกิดเรโซแนนซ์ที่ความถี่ประมาณ $\frac{1}{\sqrt{L_s C}}$ ซึ่งทำให้เกิดการขยายฮาร์มอนิกในย่านนี้ โดยมีค่าอัตราขยายสูงสุดโดยประมาณตามสมการที่ (ก.2)

$$\|A(j\omega)\|_{\omega=\frac{1}{\sqrt{L_s C}}} = \sqrt{1 + \frac{L_s}{R^2 C}} \quad (\text{ก.2})$$

4. ระบบซึ่งประกอบไปด้วย R C L_s เป็นระบบอันดับ 2 มีช่วงเวลาสถานะชั่วครู่ขึ้นอยู่กับค่าส่วนจริงของขั้วของฟังก์ชันโอนย้าย ซึ่งฟังก์ชันโอนย้าย A(s) มีขั้วอยู่ที่

$$-\frac{R}{2L_s} \pm \sqrt{\frac{R^2}{4L_s^2} - \frac{1}{L_s C}}$$

โดยเมื่อเทียบกับสมการมาตรฐาน $\frac{\omega_n^2}{s^2 + 2\xi\omega_n s + \omega_n^2}$ ซึ่งจะมีค่าเวลาเข้าสู่สถานะอยู่ตัว (settling

time) ที่ 2% criterion $t_s = \frac{4}{\xi\omega_n}$ และเมื่อนำมาเทียบกับสมการที่ (ก.1) จะสามารถเขียนได้ในรูป

ของ $t_s = \frac{4}{R/(2L_s)}$ ซึ่งจะต้องมีค่าสั้นพอที่จะตอบสนองการเปลี่ยนแปลงของระลอกกระแสความถี่

การสวิตช์ เราจึงออกแบบให้เวลาในการตอบสนองน้อยกว่า 3 ms ($\approx 1/6$ ของคาบสัญญาณ 50 Hz)
จะได้เงื่อนไข

$$R > \frac{8}{3} \times 10^3 L_s$$

5. ในย่านความถี่ตั้งแต่ความถี่การสวิตช์ขึ้นไป ลักษณะการกรองจะกลายเป็นวงจร R-L โดยประมาณ เราเลือกให้การกรองกระแสฮาร์มอนิกที่ความถี่การสวิตช์มีค่าลดทอนไม่เกิน 0.3 (30%) ดังนั้นค่า R ต้องเป็นไปตามเงื่อนไข

$$\left\| \frac{R}{R + j\omega L_s} \right\|_{\omega=2\pi \times 10 \text{kHz}} < 0.3$$

ซึ่งจะทำให้ค่า R ที่ใช้ควรมีค่าน้อยกว่า 125 โอห์ม

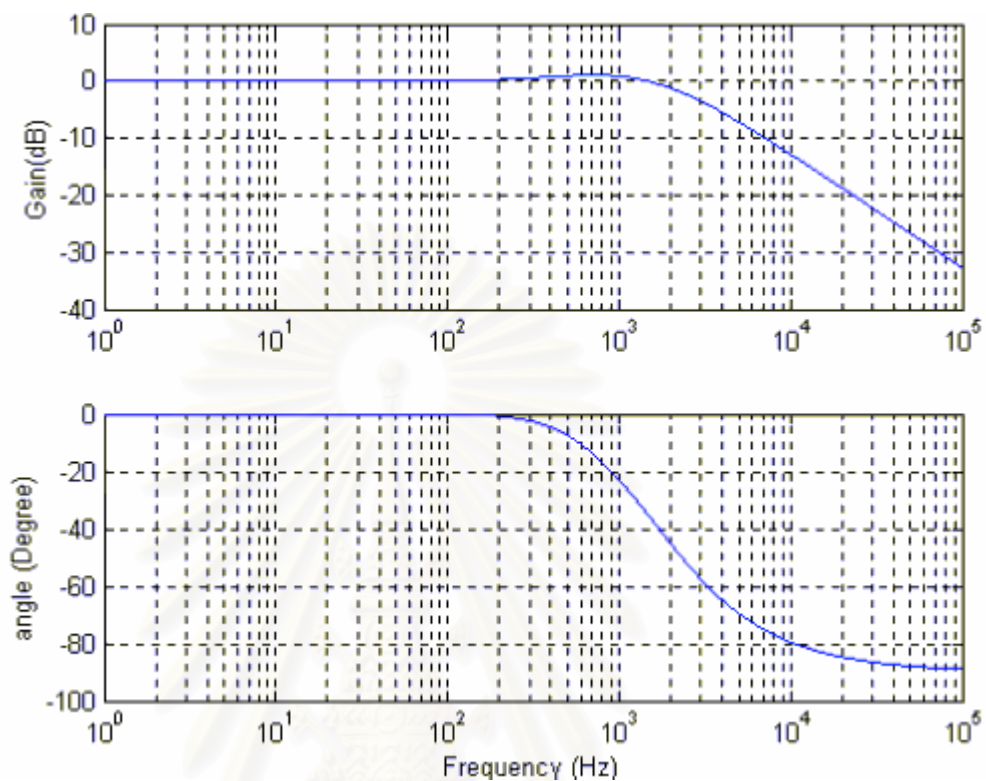
สังเกตว่าถึงแม้เราจะเลือกให้การลดทอนที่ 10 kHz เหลือ 30% แต่กระแสที่เกิดขึ้นจากอินเวอร์เตอร์ในความเป็นจริงจะมีค่าระลอกที่ความถี่โดยเฉลี่ยสูงกว่านี้ประมาณ 3 เท่าเนื่องจากเราใช้อินเวอร์เตอร์ 3 เฟส

จากหลักการออกแบบข้างต้นเราจะออกแบบโดยกำหนดให้ $L_s = 8.5 \text{ mH}$ ได้ดังนี้

1. เลือกค่า $C = 2.7 \mu\text{F}$ ซึ่งจะให้ความถี่หักมุม $\frac{1}{\sqrt{L_s C}} = 1.05 \text{ kHz}$
2. เลือกค่า $R = 125 \text{ โอห์ม}$ ซึ่งจะให้ค่าอัตราขยายที่ตำแหน่งเรโซแนนซ์ประมาณ 3 dB และให้ค่าเวลาเข้าสู่สถานะอยู่ตัวของระบบน้อยกว่า 1 ms ซึ่งได้ตามเงื่อนไขและให้คุณสมบัติการกรองที่ความถี่การสวิตช์ตามต้องการ

จากค่าที่ออกแบบข้างต้นวงจรกรองกระแสความถี่การสวิตช์ที่ได้จะมีลักษณะสมบัติของฟังก์ชันโอนย้าย A(s) ดังรูปที่ ก.2

สถาบันวิทยบริการ
จุฬาลงกรณ์มหาวิทยาลัย



รูปที่ ก.2 ลักษณะสมบัติของวงจรกรองกระแสความถี่การสวิตซ์

สถาบันวิทยบริการ
จุฬาลงกรณ์มหาวิทยาลัย

ประวัติผู้เขียนวิทยานิพนธ์

นายประจวบ บุญศรีรัมย์ เกิดเมื่อวันที่ 16 มีนาคม พ.ศ. 2515 ที่อำเภอ
ประโคนชัย จังหวัดบุรีรัมย์ สำเร็จการศึกษาวิศวกรรมศาสตรบัณฑิต สาขาวิศวกรรมไฟฟ้า
(ไฟฟ้ากำลัง) จากมหาวิทยาลัยเกษตรศาสตร์ ปีการศึกษา 2537 และได้เข้าศึกษาต่อในหลักสูตร
วิศวกรรมศาสตรมหาบัณฑิต สาขาวิศวกรรมไฟฟ้า (อิเล็กทรอนิกส์กำลัง) ณ ภาควิชา
วิศวกรรมไฟฟ้า คณะวิศวกรรมศาสตร์ จุฬาลงกรณ์มหาวิทยาลัย ในปีการศึกษา 2542



สถาบันวิทยบริการ
จุฬาลงกรณ์มหาวิทยาลัย